
**POUR $l \neq 2$, LA \mathbb{Z}_l -COHOMOLOGIE DU MODÈLE DE
DELIGNE-CARAYOL ET DE QUELQUES VARIÉTÉS SIMPLES DE
SHIMURA DE KOTTWITZ EST SANS TORSION**

par

Boyer Pascal

Résumé. — Nous montrons que pour $l \neq 2$, il n'y a pas de torsion dans la \mathbb{Z}_l -cohomologie du modèle de Deligne Carayol ainsi que dans celle de quelques variétés de Shimura simples de Kottwitz, étudiées dans [6].

Abstract (For $l \neq 2$, the \mathbb{Z}_l -cohomology of Deligne-Carayol's model and those of some simple Shimura varieties of Kottwitz is without torsion)

For $l \neq 2$, we prove that there is no torsion in the \mathbb{Z}_l -cohomology of the local model of Deligne-Carayol and in those of the simple Shimura varieties of Kottwitz studied in [6].

Table des matières

Introduction.....	1
1. Rappels sur les représentations de $GL_n(K)$	3
1.1. sur $\overline{\mathbb{Q}}_l$ avec $l \neq p$: représentations elliptiques.....	3
1.2. Classification à la Zelevinski sur $\overline{\mathbb{F}}_l$	4
1.3. Représentations de Steinberg généralisées.....	6
1.4. Représentations superunipotentes ; niveau de cuspidalité.....	6
1.5. Involution de Zelevinski.....	8
1.6. Réduction modulo l des $\overline{\mathbb{Q}}_l$ -représentations entières : généralités.....	9
1.7. Cas limite classique.....	10
1.8. Constituant ϱ -superunipotent.....	10
2. Etude de la réduction modulo l de $St_s(\pi)$	15
2.1. Constituants irréductibles.....	15
2.2. Constructions de réseaux particuliers.....	17
2.3. Réseaux pour les représentations admissibles de $D_{K,d}^\times$ et W_K	20
2.4. Quelques remarques sur les représentations entières.....	21
3. Données géométriques et résultats cohomologiques de [2].....	21
3.1. Le modèle local de Deligne-Carayol.....	21
3.2. Variétés de Shimura simples et systèmes locaux.....	22
4. Énoncés.....	25
4.1. sur la réduction modulo l de la cohomologie : rappels.....	25
4.2. des résultats locaux.....	26
4.3. des résultats globaux.....	26
5. Suites spectrales.....	27
5.1. Faisceaux pervers et suites spectrales de stratification.....	27

Classification mathématique par sujets (2000). — 14G22, 14G35, 11G09, 11G35, 11R39, 14L05, 11G45, 11Fxx.

Mots clefs. — Variétés de Shimura, modules formels, correspondances de Langlands, correspondances de Jacquet-Langlands, faisceaux pervers, cycles évanescents, filtration de monodromie, conjecture de monodromie-poids.

5.2. Suite spectrale de stratification des extensions par zéro des systèmes locaux d'Harris-Taylor.....	28
5.3. Suite spectrale de stratification du complexe des cycles évanescents.....	29
5.4. Suites spectrales d'autodualité.....	30
6. Principe de la preuve.....	31
6.1. Autodualité sous l'involution de Zelevinski d'après [4].....	31
6.2. Où on se ramène aux points supersinguliers.....	32
6.3. Réseaux et lemme de Schur.....	33
6.4. Initialisation.....	35
6.5. Hypothèses de récurrence.....	38
7. Hypothèses de récurrence entières sur les suites spectrales de.....	43
7.1. stratification de l'extension par zéro.....	43
7.2. stratification des cycles évanescents.....	44
7.3. dualité.....	47
8. Preuve de l'inductivité.....	48
8.1. Étape 1.....	49
8.2. Étape 2.....	51
8.3. Étape 3.....	52
8.4. Étape 4.....	54
8.5. Étape 5.....	56
9. Trivialité de la torsion des groupes de cohomologie.....	56
9.1. des extensions intermédiaires et par zéro des $\mathcal{F}_{\mathbb{Z}_l}(t, \pi_v)$	56
9.2. de la variété de Shimura.....	58
10. Figures.....	59
Références.....	65

Introduction

Dans [2], nous avons étudié la $\overline{\mathbb{Q}}_l$ -cohomologie du modèle de Deligne-Carayol et des variétés de Shimura simples à la Kottwitz étudiées dans [6]. L'objectif de ce texte est de faire de même sur $\overline{\mathbb{F}}_l$. Ne disposant plus des arguments de poids, l'idée est donc d'étudier la torsion dans la \mathbb{Z}_l -cohomologie. Le résultat principal est que, pour $l \neq 2$, cette torsion est nulle. Comme dans loc. cit., il y a un jeu de va et vient entre les situations locales et globales; à l'instar de [2], on étudie tout d'abord les faisceaux de cohomologie en raisonnant par récurrence sur le modèle local et ensuite, parallèlement à [1], on étudie les groupes de cohomologie.

Pour remplacer la filtration de monodromie-poids de $R\Psi_{\eta_v}(\overline{\mathbb{Q}}_l)$ utilisée dans [2], on considère la $\overline{\mathbb{F}}_l$ -filtration de stratification de $R\Psi_{\eta_v}(\overline{\mathbb{F}}_l)$ donnée par les strates de Newton dont les gradués, par comparaison avec ce qui se passe sur $\overline{\mathbb{Q}}_l$, sont les $\overline{\mathbb{F}}_l$ -faisceaux pervers d'Harris-Taylor. On dispose alors d'une suite spectrale de « stratification » dont les termes initiaux sont les faisceaux de cohomologie des $\overline{\mathbb{F}}_l$ -faisceaux pervers de Harris-Taylor et qui calcule les faisceaux de cohomologie du $\overline{\mathbb{F}}_l$ -complexe des cycles évanescents. Ainsi la torsion dans le modèle local peut provenir soit du fait que les faisceaux de cohomologie des $\overline{\mathbb{F}}_l$ -faisceaux pervers d'Harris-Taylor ne sont pas la réduction modulo l de leur $\overline{\mathbb{Z}}_l$ -version, soit du fait que les $\overline{\mathbb{Z}}_l$ -flèches non nulles de la suite spectrale deviennent nulles après réduction modulo l .

Malheureusement il n'est pas possible de détacher une première étape qui consisterait à prouver, proposition (4.3.1), que les faisceaux pervers de Harris-Taylor sont sans torsion. L'ingrédient décisif, corollaire (6.1.3), est une propriété « d'autodualité » vérifiée par les fibres des faisceaux pervers des cycles évanescents donnée par Laurent Fargues dans [4]. On est alors amené naturellement à contrôler les « deux bouts » de la suite spectrale précédente. Concrètement pour tout diviseur g de $d = sg$, on raisonne par récurrence sur t de 0 à $\lfloor \frac{s-2}{2} \rfloor$, en supposant connue la « g -partie » des termes initiaux $E_1^{p,q}$ de la suite spectrale précédente pour $p+q \leq 1-s+t$ et $-t \leq p+q \leq 0$. On introduit les suites spectrales de stratification des extensions par zéro des systèmes locaux

d'Harris-Taylor ainsi que les suites spectrales de « dualité » des faisceaux pervers d'Harris-Taylor. Le principe est alors de raisonner par récurrence sur ces familles de suites spectrales. Afin d'utiliser ce qui a été fait sur $\overline{\mathbb{Q}}_l$, on étudie les $\overline{\mathbb{Z}}_l$ -versions de ces familles de suites spectrales ce qui nous permet, en quelque sorte, d'utiliser le lemme de Schur entre deux réduction modulo l de $\overline{\mathbb{Q}}_l$ -représentations entières, alors que ces réductions ne sont pas irréductibles : pour cela il faut montrer que les réseaux de la source et du but des différentes flèches $d_r^{p,q}$ sont les mêmes. Au final, pour montrer que les scalaires non nuls associés d'après le lemme de Schur, aux flèches non nulles des $\overline{\mathbb{Z}}_l$ -suites spectrales étudiées, sont de valuation nulle, on se ramène en utilisant (6.1.3), à prouver que certaines $\overline{\mathbb{F}}_l$ -représentations ne sont pas des sous-quotients de la réduction modulo l de certaines $\overline{\mathbb{Q}}_l$ -représentations entières ; cette technique nous force alors à supposer $l \neq 2$.

Une fois prouvé le fait que les $\overline{\mathbb{Z}}_l$ -faisceaux de cohomologies des faisceaux pervers de Harris-Taylor sont sans torsion, on s'attaque à la cohomologie de ces derniers dont on prouve qu'elle est sans torsion : à nouveau l'argument essentiel revient à montrer que les réseaux de la source et du but des divers $d_r^{p,q}$ sont les mêmes, ce qui découle plus ou moins directement des calculs de [1]. Finalement on prouve que la cohomologie globale de la variété de Shimura est sans torsion.

Le plan de l'article s'articule comme suit. Pour K une extension finie de \mathbb{Q}_p , on rappelle quelques notions et résultats sur les représentations de $GL_n(K)$ sur $\overline{\mathbb{Q}}_l$ §1.1, puis modulo l . Outre la notion de niveau de Whittaker, on utilise la notion de niveau de cuspidalité §1.4.8, qui est liée à la notion de représentation unipotente et superunipotente §1.4. En vue de l'utilisation de (6.1.3), on rappelle, d'après [11], la définition de l'involution de Zelevinski dans ce contexte et ses propriétés élémentaires §1.5. Comme mentionnée ci-avant, l'argument final repose sur l'étude de la réduction modulo l des représentations elliptiques présentes dans la description de la $\overline{\mathbb{Q}}_l$ -cohomologie du modèle local ; on se ramène à savoir si la triviale peut en être un sous-quotient §1.8.

On étudie ensuite §2.1 les constituants irréductibles de la réduction modulo l d'une représentation de Steinberg généralisée entières. Le résultat remarquable, proposition 2.1.3, est qu'outre que ceux-ci soient de multiplicité 1, ils sont indexés par leur niveau de cuspidalité. On construit alors, §2.2, un réseau particulier $CL_{\overline{\mathbb{Z}}_l}(\overline{[s-1]}_{\pi_v})$ caractérisée et construit via l'induction parabolique. On finit le paragraphe par quelques rappels sur la réduction modulo l des représentations de W_K et $D_{K,d}^\times$.

On introduit ensuite la situation locale §3.1 celle du modèle de Deligne-Carayol, puis globale §3.2 celle des variétés de Shimura de [6] introduites par Kottwitz. Après quelques banalités sur la réduction modulo l de la cohomologie entière §4.1, on énonce §4.2, le fait qu'il n'y a pas de torsion dans la $\overline{\mathbb{Z}}_l$ -cohomologie du modèle de Deligne-Carayol, théorème (4.2.1), ce qui fournit la description dans le groupe de Grothendieck correspondant des faisceaux de $\overline{\mathbb{F}}_l$ -cohomologie de ces modèles. En global, proposition (4.3.1), les faisceaux pervers d'Harris-Taylor sont sans torsion, toutefois comme mentionné plus haut cet énoncé ne sera prouvé qu'à la toute fin du raisonnement, dans le même temps que l'énoncé local. En ce qui concerne la torsion des groupes de cohomologie globaux, on énonce, théorème (4.3.3), que celles-ci sont nulles pour les extensions intermédiaires ou par zéro des systèmes locaux de Harris-Taylor pour $l \neq 2$ et qu'alors il en est de même pour la cohomologie de la variété de Shimura.

Concernant la preuve des résultats, on introduit §5, les diverses suites spectrales que l'on utilisera : celles associées à la filtration de stratification des extensions par zéros des systèmes locaux d'Harris-Taylor §5.2, du complexe des cycles évanescents §5.3, puis celles d'autodualité des faisceaux pervers d'Harris-Taylor §5.4. Le principe de la preuve repose sur le corollaire (6.1.3) prouvé par Fargues dans [4]. On raisonne alors par récurrence sur les strates de $\overline{X}_{\mathcal{I}}^{(d-1)}$ à $\overline{X}_{\mathcal{I}}^{(0)}$: les raisonnements étant identiques pour toutes les strates et plus simples pour les strates non supersingulières, on se ramène §6.2, à ne traiter que la strate supersingulière. Avant d'entamer la récurrence qui porte sur les faisceaux de cohomologie $h^i \Psi_{\mathcal{I}}$ aux points supersinguliers, on précise §6.3 certains réseaux locaux relativement aux faisceaux de cohomologie des faisceaux pervers d'Harris-Taylor : il s'agit de justifier le fait que les $\overline{\mathbb{Q}}_l$ -flèches non nulles dans les suites spectrales des paragraphes suivants sont données par des scalaires non nuls de \mathbb{Z}_l . A ce stade la situation n'est pas parfaite

puisque l'on ne maîtrise pas encore les réseaux associés à l'action de l'algèbre à division ; cependant ce contrôle partiel suffira par la suite et la détermination de ce réseau sera obtenue une fois le résultat local prouvé, cf. les remarques 6.3.3 et 6.4.3.

On commence alors §6.4 par l'initialisation de la récurrence : on étudie les premiers termes des suites spectrales introduites, puis on définit §6.5, sur celles-ci un certain nombre d'hypothèses de récurrence reliées entre elles. Pour leur étude, on essaie d'utiliser les résultats de [2] ce qui nous amène à introduire les $\overline{\mathbb{Z}}_l$ -versions des suites spectrales précédentes §7 en expliquant les renseignements que l'on peut tirer des résultats sur $\overline{\mathbb{Q}}_l$. Enfin dans le dernier paragraphe §8, il s'agit de prouver l'inductivité de nos hypothèses de récurrence ; celle-ci est découpée en 5 étapes chacune d'elles reposant sur l'étude des représentations de $GL_n(K)$ modulo l .

En ce qui concerne la torsion des groupes de cohomologie globaux, de l'étude des suites spectrales de stratification de l'extension par zéro des systèmes locaux d'Harris-Taylor jointe à celle associée aux faisceaux de cohomologie de ses extensions intermédiaires, on obtient, théorème (9.1.1), la nullité de la torsion de la cohomologie de ces deux extensions. De la suite spectrale de stratification du complexe des cycles évanescents en deux places v et v' non ramifiées, on en déduit alors, théorème (9.2.1), la trivialité de la torsion des groupes de cohomologie des variétés de Shimura considérées.

1. Rappels sur les représentations de $GL_n(K)$

Dans la suite K désigne une extension finie de K de corps résiduel de cardinal q une puissance de p . Nous considérerons deux types de torsion relativement au groupe de Weil W_K ou à $GL_d(K)$ que nous noterons respectivement $(-)$ et $\{-\}$. Ainsi pour σ (resp. π) une représentation de W_K (resp. de $GL_d(K)$), l'action d'un élément g sur $\sigma(n)$ (resp. $\pi\{n\}$) est donnée par $\sigma(g)|\text{Art}_K^{-1}(g)|^n$ (resp. $\pi(g)|\det g|^n$) où $|\cdot|$ est la valeur absolue sur K et $\text{Art}_K^{-1} : W_K \rightarrow K^\times$ le morphisme de la théorie du corps de classe qui envoie les frobenius géométriques Fr de W_K de K sur les uniformisantes, i.e. $v(\text{Art}_K^{-1}(\text{Fr})) = -1$; on notera $\deg(w) = v(\text{Art}_K^{-1}(w))$, où v désigne la valuation.

1.1. sur $\overline{\mathbb{Q}}_l$ avec $l \neq p$: représentations elliptiques. — On rappelle dans ce paragraphe, quelques notations sur les $\overline{\mathbb{Q}}_l$ -représentations admissibles de $GL_d(K)$, tirées de [2].

1.1.1. Définition. — Pour une suite r_1, r_2, \dots, r_k telle que $\sum_{i=1}^k r_i = d$, on note P_{r_1, r_2, \dots, r_k} le sous-groupe parabolique de GL_d standard associé au sous-groupe de Levi $GL_{r_1}(F_v) \times GL_{r_2}(F_v) \times \dots \times GL_{r_k}(F_v)$ et on note N_{r_1, \dots, r_k} son radical unipotent. On mettra en exposant op pour désigner les paraboliques opposés.

Pour π_1 et π_2 des représentations de respectivement $GL_{n_1}(K)$ et $GL_{n_2}(K)$, on rappelle que $\pi_1 \times \pi_2$ désigne l'induite normalisée

$$\text{ind}_{P_{n_1, n_2}(K)}^{GL_{n_1+n_2}(K)} \pi_1 \otimes \pi_2 = \text{Ind}_{P_{n_1, n_1+n_2}(K)}^{GL_{n_1+n_2}(K)} \pi_1\{n_2/2\} \otimes \pi_2\{-n_1/2\}$$

relativement au parabolique standard. Dans le cas du parabolique opposé au standard, on notera la même induite $\pi_1 \times_{op} \pi_2$.

1.1.2. Définitions. — Soit g un diviseur de $d = sg$ et π une représentation cuspidale irréductible de $GL_g(K)$:

- les sous-quotients irréductibles de $V(\pi, s) := \pi\{\frac{1-s}{2}\} \times \pi\{\frac{3-s}{2}\} \times \dots \times \pi\{\frac{s-1}{2}\}$ seront dits elliptiques de type π ;

- $V(\pi, s)$ possède un unique quotient (resp. sous-espace) irréductible que l'on notera $\overleftarrow{[s-1]}_\pi$ (resp. $[s-1]_\pi$) ; c'est une représentation de Steinberg (resp. de Speh) généralisée notée habituellement $\text{St}_s(\pi)$ (resp. $\text{Speh}_s(\pi)$) ;

- pour π_1 et π_2 des représentations respectivement de $GL_{t_1g}(K)$ et $GL_{t_2g}(K)$, on notera $\pi_1 \overrightarrow{\times} \pi_2$ (resp. $\pi_1 \overleftarrow{\times} \pi_2$) l'induite $\pi_1\{-t_2/2\} \times \pi_2\{t_1/2\}$ (resp. $\pi_1\{t_2/2\} \times \pi_2\{-t_1/2\}$) relativement au parabolique standard, où on omet la référence à g car en général le contexte sera clair. On notera comme précédemment $\overrightarrow{\times}_{op}$ et $\overleftarrow{\times}_{op}$ les mêmes induites relativement au parabolique opposé.

Convention : on conviendra que $\Pi_t \times [\overleftarrow{-1}]_\pi := \Pi_t$.

Propriétés : pour $(\pi_i)_{1 \leq i \leq 3}$ des représentations de $GL_{t_i g}(K)$, on a les égalités suivantes :

$$\begin{aligned} (\pi_1 \overrightarrow{\times} \pi_2)^\vee &\simeq \pi_1^\vee \overleftarrow{\times} \pi_2^\vee \\ (\pi_1 \overrightarrow{\times} \pi_2) \overrightarrow{\times} \pi_3 &= \pi_1 \overrightarrow{\times} (\pi_2 \overrightarrow{\times} \pi_3) \\ (\pi_1 \overleftarrow{\times} \pi_2) \overleftarrow{\times} \pi_3 &= \pi_1 \overleftarrow{\times} (\pi_2 \overleftarrow{\times} \pi_3) \end{aligned}$$

On a les mêmes égalités pour les versions relativement aux paraboliques opposés au standard. En outre si π_1 et π_2 sont elliptiques de type π , il en est de même de $\pi_1 \overrightarrow{\times} \pi_2$ et donc de $\pi_1 \overleftarrow{\times} \pi_2$.

Propriétés : pour g un diviseur de $d = sg$ et π une représentation irréductible cuspidale de $GL_g(K)$, on a pour $1 \leq t \leq s$:

- l'induite

$$[\overleftarrow{t-1}]_\pi \overrightarrow{\times} [\overleftarrow{s-t-1}]_\pi \quad (\text{resp. } [\overleftarrow{t-1}]_\pi \overrightarrow{\times}_{op} [\overleftarrow{s-t-1}]_\pi)$$

est de longueur 2 ; on notera $[\overleftarrow{t-1}, \overleftarrow{s-t}]_\pi$ (resp. $[\overleftarrow{s-t}, \overleftarrow{t-1}]_\pi$) son unique sous-espace irréductible, et $[\overleftarrow{t}, \overleftarrow{s-t-1}]_\pi$ (resp. $[\overleftarrow{s-t-1}, \overleftarrow{t}]_\pi$) son unique quotient irréductible ;

- par dualité, l'induite

$$[\overleftarrow{t-1}]_\pi \overleftarrow{\times} [\overleftarrow{s-t-1}]_\pi \quad (\text{resp. } [\overleftarrow{t-1}]_\pi \overleftarrow{\times}_{op} [\overleftarrow{s-t-1}]_\pi)$$

est de longueur 2 avec $[\overleftarrow{s-t-1}, \overleftarrow{t}]_\pi$ (resp. $[\overleftarrow{t}, \overleftarrow{s-t-1}]_\pi$) pour unique sous-espace irréductible et $[\overleftarrow{s-t}, \overleftarrow{t-1}]_\pi$ (resp. $[\overleftarrow{t-1}, \overleftarrow{s-t}]_\pi$) pour unique quotient irréductible.

1.1.3 — Foncteur de Jacquet : soit $P = MN$ un parabolique de GL_d de Lévi M et de radical unipotent N . Pour π une représentation admissible de $GL_d(K)$, l'espace des vecteurs $N(K)$ -coinvariants est stable sous l'action de $M(K) \simeq P(K)/N(K)$. On notera $J_N(\pi)$ cette représentation tordue par $\delta_P^{-1/2}$.

Propriétés : soit g un diviseur de $d = sg$ et π une représentation irréductible cuspidale de $GL_g(K)$, on a

$$\begin{aligned} J_{N_{t_g, sg}}([\overleftarrow{s-1}]_\pi) &= [\overleftarrow{t-1}]_{\pi\{(s-t)/2\}} \otimes [\overleftarrow{s-t-1}]_{\pi\{-t/2\}} \\ J_{N_{t_g, sg}}([\overleftarrow{s-1}]_\pi) &= [\overleftarrow{t-1}]_{\pi\{(t-s)/2\}} \otimes [\overleftarrow{s-t-1}]_{\pi\{t/2\}} \\ J_{N_{t_g, sg}^{op}}([\overleftarrow{s-1}]_\pi) &= [\overleftarrow{t-1}]_{\pi\{(t-s)/2\}} \otimes [\overleftarrow{s-t-1}]_{\pi\{t/2\}} \\ J_{N_{t_g, sg}^{op}}([\overleftarrow{s-1}]_\pi) &= [\overleftarrow{t-1}]_{\pi\{(s-t)/2\}} \otimes [\overleftarrow{s-t-1}]_{\pi\{-t/2\}} \end{aligned}$$

1.2. Classification à la Zelevinski sur $\overline{\mathbb{F}}_l$. — Soient l et p des nombres premiers distincts ; étant donnée q une puissance de p , on note $e_l(q)$ l'ordre de l'image de q dans \mathbb{F}_l^\times . Les notations \times , $\overrightarrow{\times}$ et J_N ont les mêmes significations qu'en caractéristique nulle.

1.2.1. Définition. — Une représentation ρ de $GL_d(K)$ est dite cuspidale si pour tout parabolique propre de radical unipotent N , $J_N(\pi)$ est nul. Elle sera dite supercuspidale si elle n'est pas un sous-quotient d'une induite parabolique propre. On notera $\text{Cusp}_l = \bigcup_{n \geq 1} \text{Cusp}_l(n)$ la réunion de l'ensemble des classes d'isomorphismes des $\overline{\mathbb{F}}_l$ -représentations irréductibles cuspidales de $GL_n(K)$.

1.2.2 — Niveau de Whittaker : soit $\psi : \mathcal{O}_K \rightarrow \overline{\mathbb{F}}_l^\times$ un caractère. Pour $\lambda = (\lambda_1 \geq \lambda_2 \geq \dots)$ une partition de n , on définit un caractère $\psi_\lambda(u) := \psi(\sum_i u_{i, i+1})$ sur le radical unipotent U du Borel standard de $GL_n(K)$ où la somme porte sur les indices $1 \leq i < n$ tels que $i \neq \lambda_1, \lambda_1 + \lambda_2, \dots$. Pour $\lambda = (\lambda_i)$ et $\lambda' = (\lambda'_i)$ deux partitions de n , on dit que $\lambda \geq \lambda'$ si $\lambda_1 \geq \lambda'_1$, $\lambda_1 + \lambda_2 \geq \lambda'_1 + \lambda'_2$, ...

1.2.3. Définition. — Pour une $\overline{\mathbb{F}}_l$ -représentation ρ de $GL_n(K)$, on note λ_ρ une des partitions maximales λ de n telle que le nombre fini $m(\rho, \lambda) := \dim_{\overline{\mathbb{F}}_l} \text{Hom}_{\overline{\mathbb{F}}_l U}(\rho|_U, \psi_\lambda)$ est non nul. Pour ρ irréductible, d'après [10] III.1.8, λ_ρ est unique. L'ordre de Bruhat sur les partitions d'un entier n , définit alors une relation d'ordre partiel sur les représentations irréductibles de $GL_n(K)$: on y référera comme *le niveau de Whittaker*.

Une représentation irréductible ρ telle que $\lambda_\rho = (n)$, est dite *non dégénérée* ou encore *générique* et on a $m(\rho, (n)) = 1$; c'est l'unicité du modèle de Whittaker. Quand $m(\rho, \lambda) \neq 0$, on dit que ρ a un modèle de λ -Whittaker.

1.2.4 — *Segments de Zelevinski* : le caractère non ramifié $\nu : g \in GL_n(K) \mapsto p^{\text{val}(\det g)} \in \overline{\mathbb{F}}_l$ agit sur Cusp_l par multiplication.

1.2.5. Définitions. — Soit ϱ une $\overline{\mathbb{F}}_l$ -représentation irréductible cuspidale de $GL_g(K)$:

- la « droite » associée à ϱ est par définition l'ensemble $\{\varrho\{i\} \mid i \in \mathbb{Z}\}$; il est de cardinal fini $\epsilon(\varrho)$ un diviseur de $e_l(q)$, cf. [12] p.51. On pose comme dans loc. cit. $m(\varrho) = \epsilon(\varrho)$ si $\epsilon(\varrho) > 1$ et sinon $m(\varrho) = l$;
- un segment de Zelevinski associé à ϱ et de longueur $r \geq 1$ est une suite

$$(\varrho, r) = (\varrho, \varrho\{1\}, \dots, \varrho\{r-1\}).$$

- Un **paramètre de Zelevinski** est un multi-ensemble $a = (\varrho_i, r_i)_{1 \leq i \leq t}$ de segments de Zelevinski dans Cusp_l ; le support s de a est la réunion des multi-ensembles (ϱ_i, r_i) .
- Un paramètre de Zelevinski de la forme $(\varrho_i, r)_{1 \leq i \leq t}$ où $(\varrho_1, \dots, \varrho_t)$ est un segment $(\varrho, m(\varrho)l^u)$ pour $u \geq 0$, est appelé **un cycle**.
- Un paramètre de Zelevinski qui ne contient pas de cycle est dit **restreint**. Si son support cuspidal est supercuspidal le paramètre est dit **supercuspidal**.

Remarque : (cf. [12] p.54) étant donné un paramètre de Zelevinski a , si le segment (ϱ, r) apparaît dans a avec a cuspidal mais non supercuspidal, alors il existe une représentation ϱ' supercuspidale et un entier $s = m(\varrho')l^u$ tel que $\varrho = \text{St}_s(\varrho')$. En remplaçant systématiquement de tels (ϱ, r) par le cycle $(\varrho'\nu^i, r)_{0 \leq i < s}$, on obtient un paramètre supercuspidal a_{sc} . En procédant en sens inverse on peut remplacer tous les cycles par des segments de la forme $(\text{St}_s(\varrho)\{i\}, r)_{0 \leq i < s}$ afin d'obtenir un paramètre restreint a_{rst} .

1.2.6 — *Classification des représentations irréductibles*, cf. [12] V.9 : étant donné un paramètre de Zelevinski $a = (\varrho_i, r_i)_{1 \leq i \leq t}$, on lui associe une représentation irréductible $\langle a \rangle$ qui vérifie les propriétés suivantes :

- si $a = (\varrho, r)$ alors $\langle (\varrho, r) \rangle$ est l'unique, à isomorphisme près⁽¹⁾, sous-représentation de l'induite parabolique $\varrho \times \varrho\nu \times \dots \times \varrho\nu^{r-1}$ telle que

$${}^r P_{n, 2n, \dots, rn, GL_{nr}}(\langle (\varrho, r) \rangle) = \varrho \times \dots \otimes \varrho\{r-1\}$$

- où $P_{n, 2n, \dots, rn}$ est la parabolique standard de Levi GL_n^r ;
- de manière générale $\langle a \rangle$ est l'unique sous-quotient de

$$\pi(a) := \langle (\varrho_1, r_1) \rangle \times \dots \times \langle (\varrho_t, r_t) \rangle$$

tel que $\lambda_{\langle a \rangle} = \lambda_{\pi(a)}$;

- on a $\langle a \rangle = \langle a_{sc} \rangle = \langle a_{rst} \rangle$ et le support supercuspidal (resp. cuspidal) de $\langle a \rangle$ est le support de a_{sc} (resp. de a_{rst}) ;
- pour a et a' deux paramètres de Zelevinski supercuspidaux distincts alors $\langle a \rangle$ et $\langle a' \rangle$ ne sont pas isomorphes ;
- l'application $a \mapsto \langle a \rangle$ est surjective.

⁽¹⁾i.e. la multiplicité n'est pas forcément égale à 1 dans le cas non banal

- la dérivée d'ordre n de $\langle \varrho, r \rangle$ est $\langle \varrho, r-1 \rangle$ qui est l'unique dérivée d'ordre strictement positive non nulle.

1.3. Représentations de Steinberg généralisées. — L'induite parabolique

$$\overrightarrow{\times} \varrho \cdots \overrightarrow{\times} \varrho = \varrho \left\{ \frac{1-s}{2} \right\} \times \cdots \times \varrho \left\{ \frac{s-1}{2} \right\}$$

admet un unique sous-quotient non dégénéré que l'on note $\text{St}_s(\varrho)$.

1.3.1. Proposition. — ([12] III.5.14) La représentation $\text{St}_s(\varrho)$ est cuspidale si et seulement si

$$s = 1, m(\varrho), m(\varrho)l, \dots, m(\varrho)l^u, \dots$$

La réunion de ces dernières avec les supercuspidales forment l'ensemble des représentations cuspidales.

1.3.2 — Classification des représentations génériques : cf. [12] V.7 : toute $\overline{\mathbb{F}}_l$ -représentation générique π de $GL_n(K)$ est une induite irréductible

$$\pi = \times_{i=1}^t \text{St}_{r_i}(\varrho_i)$$

où $(\varrho_i, r_i)_{1 \leq i \leq t}$ est un paramètre de Zelevinski restreint s tel que pour tout $i \neq j$, (ϱ_i, r_i) et (ϱ_j, r_j) ne sont pas liés.

Par ailleurs pour tout paramètre de Zelevinski a tel que $a_{rst} = s$, π est l'unique sous-quotient irréductible non dégénéré des induites paraboliques $\pi(a)$, $\pi(a_{sc})$ et $\pi(a_{rst})$.

1.4. Représentations superunipotentes ; niveau de cuspidalité. — Rappelons qu'un bloc dans $\text{mod}_{\overline{\mathbb{F}}_l} GL_n$ est une sous-catégorie abélienne pleine qui est un facteur direct sans être le produit direct de deux sous-catégories abéliennes non nulles. Soit (M, ρ) une $\overline{\mathbb{F}}_l$ -représentation irréductible cuspidale d'un sous-groupe de Levi M d'un parabolique de GL_n . On considère

$$\text{Irr}_{\overline{\mathbb{F}}_l GL_n, [\rho]}, \quad \mathfrak{B}_{\overline{\mathbb{F}}_l GL_n, [\rho]}$$

avec $\text{Irr}_{\overline{\mathbb{F}}_l GL_n, [\rho]}$ l'ensemble des classes d'isomorphismes des $\overline{\mathbb{F}}_l$ -représentations irréductibles de GL_n qui sont des sous-quotients de $\text{Ind}_{M'}^{GL_n} \rho'$ pour (M', ρ') inertiuellement équivalent à (M, ρ) et $\mathfrak{B}_{\overline{\mathbb{F}}_l GL_n, [\rho]}$ la sous-catégorie abélienne de $\text{mod}_{\overline{\mathbb{F}}_l} GL_n$ constituée des $\overline{\mathbb{F}}_l$ -représentations de GL_n dont tous les sous-quotients irréductibles sont dans $\text{Irr}_{\overline{\mathbb{F}}_l GL_n, [\rho]}$.

1.4.1. Définition. — Dans le cas où ρ est la représentation triviale du groupe des matrices diagonales, le bloc correspondant est appelé le bloc unipotent. Les représentations irréductibles de ce bloc sont appelés les **unipotentes**. Les représentations **superunipotentes** sont les unipotentes caractérisées par l'une des deux propriétés équivalentes suivantes : il existe un vecteur fixe par le sous-groupe d'Iwahori standard, la restriction parabolique au groupe diagonal n'est pas nul.

1.4.2. Théorème. — (cf. [12] théorème III.6) La catégorie $\text{mod}_{\overline{\mathbb{F}}_l} GL_n$ est un produit direct de blocs, chaque bloc étant de la forme $\mathfrak{B}_{\overline{\mathbb{F}}_l GL_n, [\rho]}$ pour ρ irréductible supercuspidal.

1.4.3. Proposition. — (cf. [12] IV.2.5, IV.6.2, IV.6.3) Pour ρ irréductible cuspidal, il existe un groupe G' de la forme $\prod_i GL_{n_i}(E_i)$ avec E_i une extension finie de K , ainsi qu'une bijection entre l'ensemble des représentations irréductibles cuspidal unipotentes de G' et $\text{Irr}_{\overline{\mathbb{F}}_l GL_n, [\rho]}$ qui respecte le support cuspidal.

Remarque : dans le cas banal, on a même une équivalence de catégorie entre le bloc unipotent de G' et $\mathfrak{B}_{\overline{\mathbb{F}}_l GL_n, [\rho]}$.

1.4.4. Définition. — Soit ϱ une représentation cuspidale de $GL_g(K)$ pour g un diviseur de $d = sg$, et soit

$$\rho = \varrho\left\{\frac{(s-1)(g-1)}{2}\right\} \otimes \cdots \otimes \varrho\left\{\frac{(1-s)(g-1)}{2}\right\}$$

la représentation cuspidale de $M = GL_g(K)^s$. On dira d'une représentation dans le bloc $\mathfrak{B}_{\mathbb{F}_l, GL_n, [\rho]}$, qu'elle est ϱ -superunipotente si sa restriction parabolique au groupe diagonal par blocs M est non nulle. On notera $\text{Groth}_{\varrho-u}$ (resp. $\text{Groth}_{\varrho-su}$) le groupe de Grothendieck des représentations ϱ -unipotentes (resp. ϱ -superunipotentes).

Remarque : les représentations superunipotentes sont avec cette définition les représentations 1_K -superunipotentes, où 1_K désigne la représentation triviale de K^\times .

Remarque : les foncteurs de Jacquet et d'induction ne respectent pas le caractère superunipotent. On introduit alors les groupes de Grothendieck superunipotent (resp. ϱ -superunipotent) en quotientant le groupe de Grothendieck classique par les non superunipotentes (resp. les non ϱ -superunipotentes).

1.4.5. Définition. — ([11] 4.4) Pour ϱ une représentation cuspidale de $GL_g(K)$ pour g un diviseur de $d = sg$, $\mathcal{M}_\varrho : \text{Groth}_{\varrho-u} \rightarrow \text{Groth}_{\varrho-su}$ désigne la projection du groupe de Grothendieck des représentations ϱ -unipotentes sur celui des ϱ -superunipotentes.

1.4.6. Corollaire. — (cf. [12] IV.6.3 p47) Pour ϱ irréductible cuspidale et ρ comme dans la définition 1.4.4, on a une bijection $F_{G, G'}$ entre les représentations ϱ -superunipotentes du bloc $\mathfrak{B}_{\mathbb{F}_l, GL_n, [\rho]}$ et les représentations superunipotentes de $GL_s(E)$ pour une certaine extension finie E/K . Ces $F_{G, G'}$ commutent alors aux foncteurs de Jacquet et d'induction au sens où si P est un parabolique de G de Lévi M associé à un parabolique P' de G' de Lévi M' alors

$$F_{G, G'} \circ \text{Ind}_{P'}^{G'} = \text{Ind}_P^G \circ F_{G, G'}, \quad F_{M, M'} \circ J_{M'}^{G'} = J_P^G \circ F_{G, G'}.$$

Démonstration. — Le fait qu'il n'y ait qu'un seul $GL_s(E)$ découle de la construction de loc. cit. IV.3.3. Le groupe de Grothendieck superunipotent correspond à celui des modules sur l'algèbre de Hecke-Iwahori. La bijection découle alors de l'isomorphisme entre ces deux algèbres et la commutativité des foncteurs de Jacquet et d'induction, modulo les non superunipotentes, découle de loc. cit. p.47. \square

1.4.7. Définition. — Avec les notations du corollaire précédent, pour π_0 une représentation irréductible superunipotente de $G' = GL_s(E)$, on note $\pi_0 \boxtimes \varrho$ la représentation ϱ -superunipotente $F_{G, G'}(\pi_0)$.

Remarque : si $\pi_0 = \langle a \rangle$ pour un paramètre de Zelevinski $a = (1, r_i)_{1 \leq i \leq k}$ alors $\pi_0 \boxtimes \varrho$ a pour paramètre de Zelevinski, $(\varrho, r_i)_{1 \leq i \leq k}$.

1.4.8. Proposition. — Étant donné une représentation cuspidale ϱ de $GL_g(K)$, pour toute représentation π de $GL_{sg}(K)$, du bloc ϱ -unipotent, on considère les paraboliqes P de GL_d de radical unipotent N , tels que le foncteur de Jacquet J_N appliqué à π soit non nul. Les éléments minimaux pour l'inclusion de cet ensemble de parabolique ont alors des sous-groupes de Lévi conjugués par des matrices de permutation. L'ordre de Bruhat sur les partitions de s donne alors une relation d'ordre partiel sur le bloc ϱ -unipotent de $GL_{sg}(K)$: on y référera comme **le niveau de cuspidalité** relativement à ϱ .

Démonstration. — Soit P un élément minimal de Lévi $\prod_{i=1}^r GL_{n_i}(K)$; d'après la transitivité des foncteurs de Jacquet on en déduit que $J_N(\pi)$ est cuspidal. Par réciprocity de Frobenius, π est un sous-espace de l'induite parabolique $\pi_1 \times \cdots \times \pi_r$ où π_i est une représentation irréductible cuspidale de $GL_{n_i}(K)$. Le résultat découle alors de l'exactitude du foncteur de Jacquet et du fait que la proposition est classiquement vérifiée pour $\pi_1 \times \cdots \times \pi_r$ où les π_i sont cuspidaux. \square

Remarque : d'après l'unicité du support supercuspidal, la partition de s associée au niveau de cuspidalité d'une représentation ρ -unipotente est de la forme

$$s = m_{-1} + m_0 m(\varrho) + m_1 m(\varrho) l + \cdots + m_u m(\varrho) l^u, \quad 0 \leq m_{-1}, \dots, m_u,$$

avec u tel que $m(\varrho) l^u \geq s$. Les ϱ -superunipotentes correspondent à $m_{-1} = s$ et $m_0 = \cdots = m_u = 0$. On notera le niveau de cuspidalité sous la forme $(m_{-1}, m_0, \dots, m_u)$ et l'ordre de Bruhat est alors l'ordre lexicographique inverse.

Exemples : On fixe une représentation ϱ irréductible cuspidale de $GL_g(K)$ et pour $i = 0, \dots, u$ on pose $\rho_i = \text{St}_{m(\varrho)l^i}(\varrho\{\frac{m(\varrho)l^i - s}{2}\})$ et $\rho_{-1} = \varrho\{\frac{s-s'}{2}\}$: ce sont des représentations cuspidales.

- Soit $s = m_{-1} + m_0 m(\varrho) + m_1 m(\varrho) l + \cdots + m_u m(\varrho) l^u$ avec $0 \leq m_{-1} < m(\varrho)$ et $0 \leq m_0, \dots, m_u < l$; le niveau de cuspidalité de $\text{St}_s(\varrho)$ est alors $(m_{-1}, m_0, \dots, m_u)$ avec

$$\text{St}_s(\varrho) \simeq \text{St}_{m_{-1}}(\varrho) \times \text{St}_{m_0}(\rho_0) \times \cdots \times \text{St}_{m_u}(\rho_u).$$

- Pour π_1, \dots, π_r des représentation irréductibles ϱ -unipotentes de respectivement $GL_{n_i g}$ et de niveau de cuspidalité $(m_{-1}(i), \dots, m_u(i))$; le niveau de cuspidalité de $\pi_1 \otimes \cdots \otimes \pi_r$ est alors égal à $\sum_{i=1}^r (m_{-1}(i), \dots, m_u(i))$.
- Soient pour $i = -1, 0, \dots, u$ des entiers $m_i \geq 0$ et des représentations π_i irréductibles superunipotentes alors

$$\left(\pi_{-1} \boxtimes \rho_{-1} \right) \times \cdots \times \left(\pi_u \boxtimes \rho_u \right)$$

est irréductible, cf. [12] §V.3, de niveau de cuspidalité (m_{-1}, \dots, m_u) .

1.5. Involution de Zelevinski. — Dans ce paragraphe ϱ désigne une représentation irréductible cuspidale de $GL_g(K)$; nous allons alors reprendre les résultats principaux de [11] pour le bloc ϱ -unipotent. Pour tout parabolique standard Q de GL_d , on note, pour $i \in \mathbb{N}$, $\mathcal{P}_i(Q)$ l'ensemble des paraboliques standard de Q dont les Levi ont $i+1$ facteurs GL_{r_k} de plus que Q ; pour $Q = GL_d$, on notera simplement \mathcal{P}_i . Pour toute représentation ρ du bloc ϱ -unipotent, on a alors un complexe augmenté, [11] §3.8 :

$$0 \rightarrow \rho \rightarrow \bigoplus_{P \in \mathcal{P}_0} T_P(\rho) \rightarrow \bigoplus_{P \in \mathcal{P}_1} T_P(\rho) \rightarrow \cdots \rightarrow \bigoplus_{P \in \mathcal{P}_{s-1}} T_P(\rho)$$

où $T_P = \text{ind}_P^G \circ J_P$, dont l'homologie $H^i(K^\bullet(\rho))$ vérifie les points suivants, cf. [11] théorème 4.6 :

- (i) $H^{s-1}(K^\bullet(\rho))$ est non nul si et seulement si ρ est ϱ -superunipotent auquel cas, pour ρ irréductible, il admet un unique quotient irréductible qui est ϱ -superunipotent et que l'on note $Z_\varrho(\rho)$;
- (ii) pour ρ une représentation irréductible ϱ -superunipotent, $Z_\varrho(\rho)$ est le seul constituant ϱ -superunipotent de $\bigoplus_i H^i(K^\bullet(\rho))$. L'application $\rho \mapsto Z_\varrho(\rho)$ est un involution qui préserve l'irréductibilité.

1.5.1. Lemme. — L'involution Z_ϱ défini dans le groupe de Grothendieck des représentations ϱ -superunipotente commute aux foncteurs de Jacquet et à l'induction.

Démonstration. — Rappelons que, cf. [15] corollaire du §1.3, pour deux partitions $\underline{\beta} = (\beta_1 \leq \cdots \leq \beta_r = d)$ et $\underline{\gamma} = (\gamma_1 \leq \cdots \leq \gamma_s = d)$ et pour toute représentation π de $GL_{\beta_1}(K) \times GL_{\beta_2 - \beta_1}(K) \times \cdots \times GL_{\beta_r - \beta_{r-1}}(K)$, la représentation $J_{P_{\underline{\gamma}}}^{GL_d} \circ \text{ind}_{P_{\underline{\beta}}}^{GL_d}(\pi)$ admet $\text{ind}_{P_{\underline{\beta} \cap \underline{\gamma}}}^{P_{\underline{\gamma}}} \circ J_{P_{\underline{\beta} \cap \underline{\gamma}}}^{P_{\underline{\beta}}}(\pi)$ comme quotient. Ainsi pour tout parabolique Q , on en déduit avec les notations ci-dessus, des surjections pour tout $i = 0, \dots, s-1$

$$J_Q \left(\bigoplus_{P \in \mathcal{P}_i} T_P(\pi) \right) \twoheadrightarrow \bigoplus_{P \in \mathcal{P}_i(Q)} T_P \left(J_Q^{GL_d}(\pi) \right), \quad \bigoplus_{P \in \mathcal{P}_i} T_P \left(\text{ind}_Q^{GL_d} \pi \right) \twoheadrightarrow \text{ind}_Q^{GL_d} \left(\bigoplus_{P \in \mathcal{P}_i(Q)} T_P(\pi) \right)$$

Par ailleurs pour ρ une représentation ϱ -superunipotente, on a $T_P(\rho) = 0$ pour tout $P \in \mathcal{P}_i$ si $i > s - 1$, de sorte que l'on obtient des surjections

$$J_Q^{GL_d} H^{s-1}(K^\bullet(\pi)) \twoheadrightarrow H^{s-1}(K^\bullet(J_Q^{GL_d}(\pi))), \quad H^{s-1}(K^\bullet(\text{ind}_Q^{GL_d} \pi)) \twoheadrightarrow \text{ind}_Q^{GL_d} H^{s-1}(K^\bullet(\pi)).$$

Le résultat découle alors des faits suivants :

- d'après (ii) ci-dessus, les parties ϱ -superunipotentes de $H^i(K^\bullet(J_Q^{GL_d}(\pi)))$, $J_Q^{GL_d} H^{s-1}(K^\bullet(\pi))$ et $H^i(K^\bullet(\text{ind}_Q^{GL_d}(\pi)))$ sont nuls pour $i \neq s - 1$;
- on a égalité des sommes alternées

$$J_Q^{GL_d} H^*(K^\bullet(\pi)) = H^*(K^\bullet(J_Q^{GL_d}(\pi))), \quad H^*(K^\bullet(\text{ind}_Q^{GL_d} \pi)) = \text{ind}_Q^{GL_d} H^*(K^\bullet(\pi)).$$

□

Dans [8] les auteurs décrivent l'involution de Zelevinski $Z_{\overline{\mathbb{F}}_l}$ sur les représentations **superunipotentes** ce qui d'après 1.4.6 fourni le calcul de Z_ϱ sur les représentation ϱ -superunipotentes pour toute représentation ϱ irréductible cuspidale. En particulier le résultat suivant découle de leur description.

1.5.2. Lemme. — Pour $\epsilon(\rho) > 2$ (resp. $\epsilon(\rho) = 2$), $Z_\rho(< (\rho, s) >)$ est égale à $< a >$ pour le paramètre de Zelevinski a :

$$(\rho\nu^{-q}, q+1), (\rho\nu^{1-q}, q+1), \dots, (\rho\nu^{r-1-q}, q+1), (\rho\nu^{r+1-q}, q), (\rho\nu^{r+2-q}, q), \dots, (\rho\nu^{-1-q}, q)$$

où r est le reste de la division euclidienne de s par $\epsilon(\rho) - 1 > 1$: $s = q(\epsilon(\rho) - 1) + r$, (resp. $< (\rho, s) >$ pour s pair et $< \rho(1), s >$ pour s impair).

1.6. Réduction modulo l des $\overline{\mathbb{Q}}_l$ -représentations entières : généralités. — Une $\overline{\mathbb{Q}}_l$ -représentation lisse de longueur finie π de $GL_n(K)$ est dite entière s'il existe une extension finie E/\mathbb{Q}_l d'anneau des entiers \mathcal{O}_E et une \mathcal{O}_E -représentation L de $GL_n(K)$ qui est un \mathcal{O}_E -module libre tel que $\overline{\mathbb{Q}}_l \otimes_{\mathcal{O}_E} L \simeq \pi$ et tel que L est un $\mathcal{O}_E GL_n(K)$ -module de type fini. Soit κ_E le corps résiduel de \mathcal{O}_E , on dit que $\kappa_E \otimes_{\mathcal{O}_E} L$ est la réduction de L et que $\overline{\mathbb{F}}_l \otimes_{\mathcal{O}_E} L$ est la réduction modulo l de L .

Principe de Brauer-Nesbitt : la semi-simplifiée de $\overline{\mathbb{F}}_l \otimes_{\mathcal{O}_E} L$ est une $\overline{\mathbb{F}}_l$ -représentation de $GL_n(K)$ de longueur finie qui ne dépend pas du choix de L . Son image dans le groupe de Grothendieck sera notée $r_l(\pi)$ et dite la réduction modulo l de π .

Remarque : la réduction modulo l ne respecte pas le caractère supercuspidal cependant la réduction modulo l d'une représentation irréductible entière supercuspidale est irréductible cuspidale. Ainsi, pour π une $\overline{\mathbb{Q}}_l$ -représentation irréductible cuspidale entière, on dira qu'une $\overline{\mathbb{F}}_l$ -représentation est π -unipotente si elle est $r_l(\pi)$ -superunipotente.

On rappelle, cf. [10] II.4.12, qu'une $\overline{\mathbb{Q}}_l$ -représentation irréductible supercuspidale de $GL_n(K)$ est entière si et seulement si son caractère central est entier. De manière générale une représentation irréductible de $GL_n(K)$ est entière si et seulement si les constituants irréductibles de son support supercuspidal $sc(\pi)$ sont entiers.

Propriétés :

- le foncteur r_l commute avec l'induction parabolique et les foncteurs de Jacquet ;
- soit a un paramètre de Zelevinski sur $\overline{\mathbb{Q}}_l$, alors $< r_l(a) >$ est l'unique constituant de $r_l(< a >)$ tel que $\lambda_{< a >} = \lambda_{< r_l(a) >}$ et tous les autres constituants sont de niveau de Whittaker strictement inférieur. Pour π une $\overline{\mathbb{Q}}_l$ -représentation irréductible cuspidale entière de $GL_g(K)$, la réduction modulo l de $[\overline{s-1}]_\pi = < (\pi\{\frac{1-s}{2}\}, s) >$ est irréductible égale à $[\overline{s-1}]_{r_l(\pi)}$, cf. [12] V.9.1 c) ;
- toute représentation cuspidale sur $\overline{\mathbb{F}}_l$ se relève en une représentation cuspidale sur $\overline{\mathbb{Q}}_l$, cf. [10] III.5.10 ; ainsi toute représentation irréductible sur $\overline{\mathbb{F}}_l$ est de la forme $< r_l(a) >$ pour a un paramètre de Zelevinski sur $\overline{\mathbb{Q}}_l$.

1.6.1. Lemme. — (cf. le lemme 6.11 de [3]) *Étant donnée une $\overline{\mathbb{Q}_l}$ -représentation entière irréductible π de $GL_n(K)$, il existe un réseau π^l tel que $\pi^l \otimes_{\overline{\mathbb{Z}_l}} \overline{\mathbb{F}_l}$ est semi-simple.*

1.7. Cas limite classique. — Cela signifie que $q \equiv 1 \pmod{l}$ et $d < l$. On s'intéresse aux représentations superunipotentes, c'est à dire aux représentations engendrées par leurs vecteurs fixes sous le sous-groupe d'Iwahori standard I . D'après [10], le foncteur $V \mapsto V^I$ induit une équivalence de catégories entre la catégorie des représentations super-unipotentes et la catégorie des modules sur l'algèbre de Hecke-Iwahori. On en déduit alors le résultat bien connu suivant.

1.7.1. Proposition. — *L'induite normalisée de la représentation triviale du Borel, est semi-simple. Ses facteurs irréductibles sont en bijection avec les représentations irréductibles du groupe symétrique Σ_d , la multiplicité étant alors égale à la dimension de la représentation de Σ_d associée.*

Remarque : la bijection s'explique comme suit. On rappelle que les représentations irréductibles de Σ_d sont en bijection avec les diagrammes de Young $DY : n_1 \geq n_2 \geq \dots \geq n_r$ auquel on associe le paramètre de Zelevinski $a(DY) = (1, n_1), \dots, (1, n_r)$ et donc la représentation irréductible de $GL_d : < a(DY) >$.

1.7.2. Proposition. — *Étant donné un parabolique de Young $\Sigma_{n_1} \times \Sigma_{n_2}$ de Σ_n ainsi que deux diagrammes de Young DY_1, DY_2 de respectivement Σ_{n_1} et Σ_{n_2} , l'induite parabolique $< a(DY_1) > \times < a(DY_2) >$ est une somme directe $\bigoplus_{DY} < a(DY) >$ qui porte sur les diagrammes de Young DY qui s'obtiennent à partir de DY_1 en lui adjoignant λ_1 carrés numérotés 1 sans en mettre plus d'un dans une même colonne, puis λ_2 numérotés 2 et ainsi de suite où $\lambda_1 \geq \lambda_2 \geq \dots$ est la partition de n_2 associée à DY_2 , de sorte qu'en comptant les nouveaux carrés du haut vers le bas et de droite à gauche, le nombre de i est supérieur ou égal au nombre de $i + 1$ pour tout i . (cf. [5] corollaire 4.39 ainsi que l'appendice).*

1.7.3. Corollaire. — *Pour tout $s < l$ et pour tout $0 \leq i \leq s$, la réduction modulo l de $[\overleftarrow{i}, \overrightarrow{s-1-i}]_1$ et $[\overrightarrow{i}, \overleftarrow{s-1-i}]_1$ est irréductible.*

Démonstration. — On raisonne par récurrence sur i , en partant du fait que pour $i = 0$, la réduction modulo l de $[\overleftarrow{s-1}]_1$ et $[\overrightarrow{s-1}]_1$ est irréductible. Supposons donc le résultat acquis jusqu'au rang i et traitons le cas de i . L'induite parabolique $[\overrightarrow{i}]_1 \times [\overleftarrow{s-2-i}]_1$ a pour sous-quotient $[\overrightarrow{i}, \overleftarrow{s-1-i}]_1$ et $[\overrightarrow{i+1}, \overleftarrow{s-2-i}]_1$. La réduction modulo l de cette induite est d'après la proposition précédente la somme directe $< a(DY_1) > \oplus < a(DY_2) >$ où DY_1 (resp. DY_2) est le diagramme de Young associé à la partition $(i+1, 1, \dots, 1)$ (resp. $(i+2, 1, \dots, 1)$). D'après l'hypothèse de récurrence la réduction modulo l de $[\overrightarrow{i}, \overleftarrow{s-1-i}]_1$ est $< a(DY_1) >$ de sorte que celle de $[\overrightarrow{i+1}, \overleftarrow{s-2-i}]_1$ est $< a(DY_2) >$ et est donc irréductible. Le raisonnement est identique pour $[\overleftarrow{i}, \overrightarrow{s-1-i}]_1$. \square

Remarque : on notera que la réduction modulo l de $[\overleftarrow{1}, \overrightarrow{1}, \overleftarrow{1}]_1$ n'est pas irréductible mais admet pour sous-quotient irréductible $< a(DY_1) >$ et $< a(DY_2) >$ où DY_1 (resp. DY_2) est le diagramme de Young associé à $(2, 1, 1)$ (resp. $(2, 2)$).

1.8. Constituant ϱ -superunipotent. — Dans ce paragraphe π désignera une $\overline{\mathbb{Q}_l}$ -représentation irréductible cuspidale entière de $GL_g(K)$. On note $\varrho = r_l(\pi)$ sa réduction modulo l qui est donc une représentation irréductible cuspidale. Le but de ce paragraphe est de donner quelques résultats sur les constituants ϱ -superunipotents des représentations $r_l([\overleftarrow{t}, \overrightarrow{s-1-t}]_\pi)$.

1.8.1. Lemme. — *Dans le groupe de Grothendieck des $\overline{\mathbb{F}_l}$ -représentations admissibles de $GL_d(K)$, pour tout $0 \leq t \leq a$, la réduction modulo l de $[\overleftarrow{t}, \overrightarrow{a-t}]_\pi$ contient une unique représentation ϱ -superunipotente que l'on notera $I_0([\overleftarrow{t}, \overrightarrow{a-t}]_\pi)$.*

Démonstration. — La preuve procède par récurrence par application du foncteur de Jacquet en utilisant le fait que l'image d'une représentation ϱ -superunipotente par tout foncteur de Jacquet dont les blocs sont de taille des multiples de g , est non nulle et contient une représentation π -superunipotente :

- *cas* $t = 0$: d'après [10] V.9.1 (c) $r_l([\overrightarrow{a}]_\pi)$ est irréductible et ϱ -superunipotent. Il est aussi possible de raisonner par récurrence : pour $a = 0$, le résultat se déduit du fait que ϱ est irréductible et pour $a > 0$, la réduction modulo l de $J_{N_{a,g}}([\overrightarrow{a}]_\pi) = [\overrightarrow{a-1}]_{\pi\{-1/2\}} \otimes [\overrightarrow{0}]_{\pi\{a/2\}}$ contient, d'après l'hypothèse de récurrence un unique constituant ϱ -superunipotent, ce qui implique le résultat ;

- *cas* $a = t$: on a $J_{N_{t,g}}([\overleftarrow{t}]_\pi) = [\overleftarrow{t-1}]_{\pi\{1/2\}} \otimes [\overleftarrow{0}]_{\pi\{-t/2\}}$ dont la réduction modulo l , d'après l'hypothèse de récurrence, ne contient qu'une seule représentation ϱ -superunipotente ;

- *cas général* : par application du foncteur de Jacquet $J_{a,g}$, on obtient dans le groupe de Grothendieck

$$J_{a,g}([\overleftarrow{t}, \overrightarrow{a-t}]_\pi) = [\overleftarrow{t}, \overrightarrow{a-t-1}]_{\pi\{-1/2\}} \otimes \pi\{1/2\} + [\overleftarrow{t-1}, \overrightarrow{a-t}]_{\pi\{(a+t)/2\}} \otimes \pi\{-(a+t)/2\}$$

de sorte que, d'après l'hypothèse de récurrence et la remarque ci-dessus, la réduction modulo l de $[\overleftarrow{t}, \overrightarrow{a-t}]_\pi$ contient un ou deux constituants ϱ -superunipotent. De la surjection

$$[\overrightarrow{a-t}]_\pi \times [\overleftarrow{t-1}]_\pi \rightarrow [\overleftarrow{t}, \overrightarrow{a-t}]_\pi$$

On fixe alors un réseau quelconque de $[\overleftarrow{t-1}]_\pi$, ce qui fournit un réseau pour $[\overleftarrow{t}, \overrightarrow{a-t}]_\pi$; on en déduit alors que tout quotient irréductible de $r_l([\overleftarrow{t}, \overrightarrow{a-t}]_\pi)$ est ϱ -superunipotent. Soit alors ρ un tel quotient irréductible, par réciprocity de Frobenius, on en déduit que $J_{a,g}(\rho)$ contient $I_0([\overleftarrow{t-1}, \overrightarrow{a-t}]_{\pi\{(a+t)/2\}}) \otimes \varrho\{-(a+t)/2\}$. Par ailleurs d'après la preuve du lemme 1.5.1, on a une surjection

$$H^{s-1}\left(K^\bullet([\overrightarrow{a-t}]_\rho \times I_0([\overleftarrow{t-1}]_\pi))\right) \rightarrow Z_\varrho([\overrightarrow{a-t}]_\rho) \times Z_\varrho(I_0([\overleftarrow{t-1}]_\pi)) = I_0([\overleftarrow{a-t}]_\pi) \times [\overleftarrow{t-1}]_\varrho$$

dont le noyau ne contient aucun constituant ϱ -superunipotent. On en déduit donc que la surjection

$$H^{s-1}\left(K^\bullet([\overrightarrow{a-t}]_\rho \times I_0([\overleftarrow{t-1}]_\pi))\right) \rightarrow Z_\varrho(\rho)$$

se factorise en une surjection

$$I_0([\overleftarrow{a-t}]_\pi) \times [\overleftarrow{t-1}]_\varrho \rightarrow Z_\varrho(\rho).$$

Par réciprocity de Frobenius, on en déduit donc que $J_{a,g}(Z_\varrho(\rho))$ contient $I_0([\overleftarrow{a-t}, \overrightarrow{t-1}]_{\pi\{-1/2\}}) \otimes \varrho\{(a+t)/2\}$ et donc par application de Z_ϱ que $J_{a,g}(\rho)$ contient

$$I_0([\overleftarrow{t}, \overrightarrow{a-t-1}]_{\pi\{-1/2\}}) \otimes \varrho\{1/2\} + I_0([\overleftarrow{t-1}, \overrightarrow{a-t}]_{\pi\{(a+t)/2\}}) \otimes \varrho\{-(a+t)/2\}$$

ce qui prouve que ρ constitue l'unique ϱ -superunipotente de la réduction modulo l de $[\overleftarrow{t}, \overrightarrow{a-t}]_\pi$. \square

Remarque : avec les notations du paragraphe 1.4, on a donc $I_0([\overleftarrow{t}, \overrightarrow{a-t}]_\pi) = \mathcal{M}_\varrho(r_l([\overleftarrow{t}, \overrightarrow{a-t}]_\pi))$.

1.8.2. Lemme. — Dans le groupe de Grothendieck des $\overline{\mathbb{F}}_l$ -représentations admissibles de $Gl_d(K)$, pour tout $0 < t < a$, l'image de $I_0([\overleftarrow{t}, \overrightarrow{a-t}]_\pi)$ par le foncteur de Jacquet $J_{N_{(t+1)g, (a-t)g}}$ (resp. $J_{N_{(a-t+1)g, tg}}$, resp. $J_{N_{at,g}}$) contient

$$\begin{aligned} & I_0([\overleftarrow{t}]_{\pi\{\frac{t-a}{2}\}}) \otimes [\overrightarrow{a-t-1}]_{\varrho\{\frac{t+1}{2}\}}, \\ & \quad (\text{resp. } [\overrightarrow{a-t}]_{\varrho\{-t/2\}} \otimes I_0([\overleftarrow{t-1}]_{\pi\{\frac{a-t+1}{2}\}})) \\ & \text{resp. } I_0([\overleftarrow{t}, \overrightarrow{a-t-1}]_{\pi\{-1/2\}}) \otimes [\overrightarrow{0}]_{r_l(\pi\{a/2\})} + \\ & \quad I_0([\overleftarrow{t-1}, \overrightarrow{a-t}]_{\pi\{1/2\}}) \otimes [\overleftarrow{0}]_{\varrho\{-a/2\}} \end{aligned}$$

Démonstration. — Les différents cas se traitent de manière identique. En ce qui concerne le premier, d'après le lemme précédent, la réduction modulo l de $[\overleftarrow{t}]_\pi \overrightarrow{\times} [\overleftarrow{a-t-1}]_\pi$ admet exactement deux constituants π -superunipotents. Par ailleurs tout sous-espace ou quotient de $I_0([\overleftarrow{t}]_\pi) \overrightarrow{\times} [\overleftarrow{a-t-1}]_\pi$ est par définition π -superunipotent. Le résultat découle alors de la réciprocity de Frobenius et du fait que $[\overleftarrow{t}, \overleftarrow{a-t}]_\pi$ est un sous-espace de $[\overleftarrow{t}]_\pi \overrightarrow{\times} [\overleftarrow{a-t-1}]_\pi$. \square

1.8.3. Lemme. — Si $m_l(\pi) \neq 2$, alors pour tout $s \geq 2$ et pour tout δ , $[\overleftarrow{s-1}]_{\rho\{\delta\}}$ n'est pas un sous-quotient de la réduction modulo l de $[\overleftarrow{s-1}]_\pi$.

Démonstration. — Rappelons que la réduction modulo l de $[\overleftarrow{s-1}]_\pi$ contient une unique π -superunipotente, notée $I_0([\overleftarrow{s-1}]_\pi)$. D'après (1.5.2), si $\epsilon_l(\pi) > 2$ celle-ci n'est pas de la forme $[\overleftarrow{s-1}]_{\rho\{\delta\}}$. Considérons alors le cas $\epsilon_l(\pi) = 1$ de sorte que $m_l(\pi) = l \neq 2$ et raisonnons par l'absurde. Par application du foncteur de Jacquet $J_{N_{2g, (s-2)g}}$, on est ramené au cas $s = 2$; la contradiction découle alors du fait que pour $l \neq 2$, la réduction modulo l de $[\overleftarrow{1}]_\pi$ est irréductible isomorphe à $[\overleftarrow{1}]_\rho$. \square

1.8.4. Proposition. — Soient $l \neq 2$ et $0 < t < a$. Alors pour tout δ , $[\overleftarrow{a}]_{\rho\{\delta\}}$ n'est jamais isomorphe à $I_0([\overleftarrow{t}, \overleftarrow{a-t}]_\pi)$

Démonstration. — On raisonne par l'absurde. D'après (1.8.2), par application de $J_{N_{(t+1)g, (a-t)g}}$, on devrait alors avoir

$$[\overleftarrow{t}]_{\rho\{\delta + \frac{t-a}{2}\}} \simeq I_0([\overleftarrow{t}]_{\pi\{\frac{t-a}{2}\}}) \quad [\overleftarrow{a-t-1}]_{\rho\{\delta + \frac{t+1}{2}\}} \simeq [\overleftarrow{a-t-1}]_{\rho\{\frac{t+1}{2}\}}$$

Du deuxième isomorphisme, on obtient $\delta \equiv 0 \pmod{\epsilon_l(\pi)}$. On en déduit alors que $[\overleftarrow{t}]_\rho \simeq I_0([\overleftarrow{t}]_\pi)$ de sorte que d'après le lemme précédent on a $\epsilon_l(\pi) = 2$ (si $\epsilon_l(\pi) = 1$ alors $m_l(\pi) = l$ est distinct de 2 par hypothèse). Par ailleurs en appliquant $J_{N_{g, tg}}$ au premier isomorphisme, l'égalité des supports cuspidaux impose alors $t \equiv 0 \pmod{\epsilon_l(\pi)}$. En considérant $J_{N_{tg, (a-t+1)g}^{op}}$, d'après (1.8.2), on obtient selon le même procédé $a \equiv 0 \pmod{\epsilon_l(\pi)}$. Ainsi avec $\epsilon_l(\pi) = 2$, on a $t \geq 2$ et $a - t \geq 2$. En appliquant le foncteur de Jacquet $J_{N_{ag, g}}$, on obtient alors que $[\overleftarrow{a-1}]_{\rho\{-1/2\}}$ est égal soit à $I_0([\overleftarrow{t}, \overleftarrow{a-t-1}]_{\pi\{-1/2\}})$, soit à $I_0([\overleftarrow{t-1}, \overleftarrow{a-t}]_{\pi\{1/2\}})$. La contradiction découle alors d'un raisonnement par récurrence. \square

1.8.5. Corollaire. — Soient $l \neq 2$ et $0 < t < a$. Alors pour tout δ , $[\overleftarrow{a}]_{\pi\{\delta\}}$ n'est jamais isomorphe à $I_0([\overleftarrow{a-t}, \overleftarrow{t}]_\pi)$

Démonstration. — Cela découle directement de la proposition précédente par dualité. \square

1.8.6. Corollaire. — Soient $l \neq 2$ et $0 < t < a$. Alors pour tout δ , $I_0([\overleftarrow{a}]_{\pi\{\delta\}})$ n'est jamais isomorphe à $I_0([\overleftarrow{a-t}, \overleftarrow{t}]_\pi)$ ou $I_0([\overleftarrow{t}, \overleftarrow{a-t}]_\pi)$.

Démonstration. — Le résultat découle de (1.8.4) et (1.8.5) par application de l'involution de Zelevinski en remarquant que celle-ci conserve le caractère π -superunipotent. \square

Les trois lemmes suivants sont sûrement bien connus des experts de la théorie des représentations modulaires des algèbres de Hecke : le principe sous-jacent est le suivant. Étant donné des paramètres de deux représentations superunipotentes que l'on écrit sous forme d'une liste de tableaux de Young, si un des tableaux contient plus de deux lignes alors tous les sous-quotients de l'induite de ces deux représentations vérifient la même propriété : en particulier on ne retrouve pas la triviale. N'ayant pu trouver de référence j'ai traité à la main, les cas particuliers qui me seront nécessaires.

1.8.7. Lemme. — Si $m_l(\pi) > 2$, alors pour tout $i \geq 1$ et pour tout $j \geq -1$, $[\overleftarrow{i+j+1}]_\rho$ n'est pas un sous-quotient de la réduction modulo l de $[\overleftarrow{i}]_{\pi\{\delta\}} \times [\overleftarrow{j}]_{\pi\{\delta'\}}$ ni de celle de $[\overleftarrow{i}]_{\pi\{\delta\}} \times [\overleftarrow{j}]_{\pi\{\delta'\}}$.

Démonstration. — Le cas $j = -1$ est donné par le lemme précédent tandis que le cas $j = 0$ découle de (1.8.3), (1.8.4) et (1.8.5). Supposons donc $j \geq 1$, en raisonnant par récurrence sur $i + j$ et par application du foncteur de Jacquet $J_{N_{(i+j+2)g,g}}$, on est ramené au cas $i = 1$. Dans le cas de $[\overleftarrow{1}]_{\pi\{\delta\}} \times [\overleftarrow{j}]_{\pi\{\delta'\}}$, par application de $J_{N_{(j+3)g,g}}$ on est ramené à $[\overleftarrow{j}]_{\pi\{\delta\}} \times [\overleftarrow{0}]_{\pi\{\delta'\}}$ soit à $[\overleftarrow{j+1}]_{\pi\{\delta''\}}$, $[\overleftarrow{j}, \overleftarrow{1}]_{\pi\{\delta''\}}$ ou $[\overleftarrow{1}, \overleftarrow{j}]_{\pi\{\delta''\}}$, cas traités ci-dessus.

En ce qui concerne, $[\overleftarrow{1}]_{\pi\{\delta\}} \times [\overrightarrow{j}]_{\pi\{\delta'\}}$, le cas où $\delta' - \delta \equiv \frac{3+j}{2} \pmod{\epsilon_l(\pi)}$ découle de (1.8.4) ce qui traite en particulier le cas $\epsilon_l(\pi) = 1$. On raisonne alors par l'absurde en supposant donc que $\delta' - \delta \not\equiv \frac{3+j}{2} \pmod{\epsilon_l(\pi)}$.

- L'image de $[\overleftarrow{1}]_{\pi\{\delta\}} \times [\overrightarrow{j}]_{\pi\{\delta'\}}$ par $J_{N_{(j+3)g,g}}$ est égale à

$$[\overleftarrow{1}]_{\pi\{\delta\}} \times [\overrightarrow{j-1}]_{\pi\{\delta'-1/2\}} \otimes [\overrightarrow{0}]_{\pi\{\delta'+j/2\}} + [\overleftarrow{0}]_{\pi\{\delta+1/2\}} \times [\overrightarrow{j}]_{\pi\{\delta'\}} \otimes [\overleftarrow{0}]_{\pi\{\delta-1/2\}}$$

D'après l'hypothèse de récurrence sur j , on en déduit alors que $[\overrightarrow{j-1}]_{\mathfrak{o}\{-1/2\}}$ doit être un constituant de la réduction modulo l de $[\overleftarrow{0}]_{\pi\{\delta+1/2\}} \times [\overrightarrow{j}]_{\pi\{\delta'\}} \otimes [\overleftarrow{0}]_{\pi\{\delta-1/2\}}$ ce qui impose, comme $\delta' - \delta \not\equiv \frac{3+j}{2} \pmod{\epsilon_l(\pi)}$, $\delta + \frac{1}{2} \equiv \delta' + \frac{j}{2} + 1$.

- L'image de $[\overleftarrow{1}]_{\pi\{\delta\}} \times [\overrightarrow{j}]_{\pi\{\delta'\}}$ par $J_{N_{(2+j)g,2g}}$ est égale à

$$[\overleftarrow{1}]_{\pi\{\delta\}} \times [\overrightarrow{j-2}]_{\pi\{\delta'-1\}} \otimes [\overrightarrow{1}]_{\pi\{\delta'+\frac{j-1}{2}\}} + [\overrightarrow{j}]_{\pi\{\delta'\}} \otimes [\overleftarrow{1}]_{\pi\{\delta\}} + \\ [\overleftarrow{0}]_{\pi\{\delta+1/2\}} \times [\overrightarrow{j-1}]_{\pi\{\delta'-1/2\}} \otimes [\overleftarrow{0}]_{\pi\{\delta-1/2\}} \times [\overrightarrow{0}]_{\pi\{\delta'+j/2\}}$$

L'hypothèse de récurrence sur j et le lemme (1.8.3), implique que $[\overrightarrow{j}]_{\mathfrak{o}\{-1\}} \otimes [\overrightarrow{1}]_{\mathfrak{o}\{\frac{j+1}{2}\}}$ ne peut pas être un constituant des deux premiers termes, de sorte qu'il serait un constituant de $[\overleftarrow{0}]_{\pi\{\delta+1/2\}} \times [\overrightarrow{j-1}]_{\pi\{\delta'-1/2\}} \otimes [\overleftarrow{0}]_{\pi\{\delta-1/2\}} \times [\overrightarrow{0}]_{\pi\{\delta'+j/2\}}$. Mais alors comme $\delta' - \delta \not\equiv \frac{3+j}{2} \pmod{\epsilon_l(\pi)}$, on en déduit que $\delta + \frac{1}{2} \equiv \delta' + \frac{j}{2} \pmod{\epsilon_l(\pi)}$ ce qui impose $\epsilon_l(\pi) = 1$, d'où la contradiction. \square

1.8.8. Lemme. — Pour tout $\alpha, \beta \geq 1$ (resp. $\alpha \geq 1$, $(\beta, \gamma) \neq (0, 0)$), la réduction modulo l de l'induite $[\overleftarrow{\alpha}, \overrightarrow{\beta}]_{\pi\{\delta\}} \overrightarrow{\times} [\overrightarrow{\gamma}]_{\pi\{\delta'\}}$ (resp. de $[\overrightarrow{\beta}, \overleftarrow{\alpha}, \overrightarrow{\gamma}]_{\pi\{\delta\}}$) ne contient pas $[\overleftarrow{\alpha + \beta + \gamma + 1}]_{\mathfrak{o}}$.

Démonstration. — On raisonne par récurrence sur $d = \alpha + \beta + \gamma + 1$. Le cas $d = 2$ découle de (1.8.4) et (1.8.5). Par application du foncteur de Jacquet $J_{N_{(d-1)g,g}}$ on est ramené au cas $\alpha = 1$ ou $\beta = 1$. Remarquons tout d'abord que le cas de l'induite implique le cas respé en prenant $\delta' = \delta - \alpha - \beta - \gamma - 1$: traitons donc le cas de l'induite.

Cas où $\delta \equiv \delta' \pmod{\epsilon_l(\pi)}$: par application du foncteur de Jacquet les constituants de la réduction modulo l de $J_{N_{dg,g}}([\overleftarrow{\alpha}, \overrightarrow{\beta}]_{\pi\{\delta\}} \overrightarrow{\times} [\overrightarrow{\gamma}]_{\pi\{\delta'\}})$ susceptibles de contenir $J_{N_{dg,g}}([\overleftarrow{d}]_{\mathfrak{o}})$ sont d'après l'hypothèse de récurrence pour $\beta \geq 2$ (resp. $\alpha \geq 2$, resp. $\alpha = \beta = 1$), $\pi_1 \otimes [\overleftarrow{0}]_{\pi\{\delta-d/2\}}$ (resp. $\pi'_1 \otimes [\overleftarrow{0}]_{\pi\{\delta+\frac{\alpha+\beta-\gamma-1}{2}\}}$, resp. la somme des deux précédentes) avec

$$\pi_1 := [\overrightarrow{\beta}]_{\pi\{\delta-\frac{\alpha+\gamma-1}{2}\}} \times [\overrightarrow{\gamma}]_{\pi\{\delta'+\frac{\alpha+\beta+1}{2}\}} \quad \pi'_1 := [\overleftarrow{\alpha}]_{\pi\{\delta-\frac{\gamma+\beta+1}{2}\}} \times [\overrightarrow{\gamma}]_{\pi\{\delta'+\frac{\alpha+\beta+1}{2}\}}$$

Supposons tout d'abord que $[\overleftarrow{d-1}]_{\mathfrak{o}\{-1/2\}} \otimes [\overrightarrow{0}]_{\mathfrak{o}\{d/2\}}$ soit un constituant de $\pi'_1 \otimes [\overleftarrow{0}]_{\pi\{\delta+\frac{\alpha+\beta-\gamma-1}{2}\}}$. Si on a $\epsilon_l(\pi) = 1$ ou $\epsilon_l(\pi) \geq 3$, alors d'après le lemme précédent, la réduction modulo l de π'_1 ne contient aucun $[\overleftarrow{d-1}]_{\mathfrak{o}\{\delta''\}}$ d'où la contradiction. On suppose donc $\epsilon_l(\pi) = 2$ et on obtient $\delta + \frac{\alpha+\beta-\gamma-1}{2} \equiv \frac{\alpha+\beta+\gamma+1}{2} \pmod{2}$ soit donc $\delta \equiv \gamma + 1 \pmod{\epsilon_l(\pi)}$. Par ailleurs si $d \equiv 1 \pmod{2}$ alors on a $\delta' + d/2 \equiv \delta - d/2 + 1 \pmod{2}$ de sorte que $r_l(\pi'_1)$ est aussi la réduction modulo l de

$$[\overrightarrow{\gamma}]_{\pi\{\delta'+d/2\}} \overrightarrow{\times} [\overleftarrow{\alpha}]_{\pi\{\delta'+d/2\}}$$

et la contradiction découle de (1.8.5). Ainsi on suppose $d \equiv 0 \pmod{2}$; la réduction modulo l de $J_{N_{g,(d-1)g}}(\pi'_1)$ est de la forme

$$[\overrightarrow{0}]_{\pi\{\delta-d/2+\alpha\}} \otimes \cdots + [\overrightarrow{0}]_{\pi\{\delta'+d/2-\gamma\}} \otimes \cdots$$

Or comme par hypothèse $\beta = 1$, on a $(\delta - d/2 + \alpha) - (\delta' + d/2 - \gamma) = (\delta - \delta') - d + \alpha + \gamma \equiv 0 \pmod{2}$ et $\delta' + d/2 - \gamma - d/2 \equiv 1 \pmod{2}$. On en déduit alors que la réduction modulo l de $J_{N_{g,(d-1)g}}(\pi'_1)$ ne peut pas contenir $[\overrightarrow{0}]_{r_l(\pi\{-d/2\})} \otimes \cdots$ et donc π'_1 ne contient pas $[\overrightarrow{d-1}]_{r_l(\pi\{-1/2\})}$.

Supposons alors que $[\overrightarrow{d-1}]_{r_l(\pi\{-1/2\})} \otimes [\overrightarrow{0}]_{r_l(\pi\{d/2\})}$ est un constituant de $\pi_1 \otimes [\overleftarrow{0}]_{\pi\{\delta-d/2\}}$ avec

$$\pi_1 = [\overrightarrow{d-1}]_{\pi\{\delta+1/2\}} + [\overrightarrow{\beta}, \overleftarrow{1}, \overrightarrow{\gamma}]_{\pi\{\delta+1/2\}}.$$

D'après l'hypothèse de récurrence, la réduction modulo l de π_1 admet donc un unique constituant de la forme $[\overrightarrow{\beta + \gamma + 1}]_{r_l(\pi\{\delta_1\})}$ avec $\delta_1 = \delta + 1/2$. Or l'image de $[\overleftarrow{\alpha}, \overrightarrow{\beta + \gamma + 1}]_{\pi}$ par le foncteur de Jacquet contient précisément $[\overrightarrow{\beta + \gamma + 1}]_{\pi\{\delta+1/2\}} \otimes [\overleftarrow{0}]_{\pi\{\delta+d/2\}}$. Le sous-quotient de la réduction modulo l de $[\overleftarrow{\alpha}, \overrightarrow{\beta + \gamma + 1}]_{\pi\{\delta\}}$ concerné, est forcément π -superunipotent, ce ne peut donc qu'être $I_0([\overleftarrow{\alpha}, \overrightarrow{\beta + \gamma + 1}]_{\pi\{\delta\}})$ qui d'après la proposition (1.8.4), n'est pas isomorphe à $[\overrightarrow{\alpha + \beta + \gamma + 1}]_{\mathcal{O}}$ d'où le résultat.

Cas où $\delta \not\equiv \delta' \pmod{\epsilon_l(\pi)}$: en particulier on a $\epsilon_l(\pi) \geq 2$.

(i) Traitons tout d'abord le sous cas où $\beta = 1$ et $\alpha > 1$. Par application du foncteur de Jacquet $J_{N_{(d-1)g,g}}$, on en déduit que l'induite $[\overleftarrow{\alpha}]_{\pi\{\delta - \frac{\beta+\gamma+1}{2}\}} \times [\overrightarrow{\gamma}]_{\pi\{\delta' + \frac{\alpha+\beta+1}{2}\}}$ doit contenir dans sa réduction modulo l , $[\overrightarrow{d-1}]_{r_l(\pi\{-1/2\})}$. Si

$$\delta - \frac{\beta + \gamma + 1}{2} + \frac{\alpha}{2} + 1 \equiv \delta' + \frac{\alpha + \beta + 1}{2} - \frac{\gamma}{2} \pmod{\epsilon_l(\pi)}$$

alors la réduction modulo l de $[\overleftarrow{\alpha}]_{\pi\{\delta - \frac{\beta+\gamma+1}{2}\}} \times [\overrightarrow{\gamma}]_{\pi\{\delta' + \frac{\alpha+\beta+1}{2}\}}$ est égale à celle de

$$[\overleftarrow{\alpha}, \overrightarrow{\gamma + 1}]_{\pi\{\delta\}} + [\overleftarrow{\alpha + 1}, \overrightarrow{\gamma}]_{\pi\{\delta\}}$$

de sorte que, d'après (1.8.4), elle ne peut pas contenir $[\overrightarrow{\alpha + \gamma + 1}]_{\mathcal{O}}$. On suppose donc que $\delta - \delta'$ n'est pas congru à 1 modulo $\epsilon_l(\pi)$ et comme, par hypothèse il n'est pas congru à 0, on en déduit alors que $\epsilon_l(\pi) \geq 3$ et la contradiction découle alors du lemme précédent.

(ii) On suppose ici $\beta > 1$ et $\alpha = 1$. En appliquant tout d'abord le foncteur de Jacquet $J_{N_{dg,g}}$ (resp. $J_{N_{g,dg}}$), d'après l'hypothèse de récurrence que le seul constituant qui puisse contenir l'image de $[\overrightarrow{d}]_{\mathcal{O}}$ est

$$[\overrightarrow{\beta}]_{\pi\{\delta - \frac{\alpha+\gamma-1}{2}\}} \times [\overrightarrow{\gamma}]_{\pi\{\delta' + \frac{\alpha+\beta+1}{2}\}} \otimes [\overleftarrow{0}]_{\pi\{\delta-d/2\}}$$

(resp. $[\overleftarrow{0}]_{\pi\{\delta-d/2+\alpha\}} \otimes \cdots$). En regardant les supports cuspidaux sur GL_g on obtient $\delta - d/2 \equiv d/2 \pmod{\epsilon_l(\pi)}$ et $\delta - d/2 + \alpha \equiv -d/2$ soit donc $d \equiv d \equiv -\alpha \equiv -1 \pmod{\epsilon_l(\pi)}$. En particulier on en déduit que le support cuspidal de $[\overrightarrow{\beta}]_{\pi\{\delta - \frac{\alpha+\gamma-1}{2}\}}$ est le segment $[r_l(\pi\{-d/2\}), r_l(\pi\{-d/2 + \beta\})]$ de sorte que celui de $[\overrightarrow{\gamma}]_{\pi\{\delta' + \frac{\alpha+\beta+1}{2}\}}$ est le segment $[r_l(\pi\{d/2 - 1 - \gamma\}), r_l(\pi\{d/2 - 1\})]$. Or comme par hypothèse $\delta - \delta' \not\equiv 0 \pmod{\epsilon(\pi)}$, $\delta' + \frac{\alpha+\beta+1-\gamma}{2} \not\equiv d/2 - 1 - \gamma \pmod{\epsilon_l(\pi)}$ de sorte que $\gamma + 1$ doit être divisible par $\epsilon_l(\pi)$. L'idée est alors de considérer $[\overrightarrow{\beta}]_{\pi\{\delta + k\epsilon_l(\pi) - \frac{\alpha+\gamma-1}{2}\}}$ de sorte que la cuspidale $\pi\{\delta + k\epsilon_l(\pi) - \frac{\alpha+\gamma-1}{2} + \beta\}$ de son support cuspidal appartienne au support cuspidal de $[\overrightarrow{\gamma}]_{\pi\{\delta' + \frac{\alpha+\beta+1}{2}\}}$ et que l'intersection des supports cuspidaux soit minimal : ce procédé est possible car $\gamma + 1$ est divisible par $\epsilon_l(\pi)$. Concrètement on écrit $\delta' - \delta = k\epsilon_l(\pi) - r$ avec $0 < r < \epsilon_l(\pi)$ de sorte que la réduction modulo l de $[\overrightarrow{\beta}]_{\pi\{\delta - \frac{\alpha+\gamma-1}{2}\}} \times [\overrightarrow{\gamma}]_{\pi\{\delta' + \frac{\alpha+\beta+1}{2}\}}$ est égale à celle de

$$[\overrightarrow{\beta}]_{\pi\{\delta + k\epsilon_l(\pi) - \frac{\alpha+\gamma-1}{2}\}} \times [\overrightarrow{\gamma}]_{\pi\{\delta' + \frac{\alpha+\beta+1}{2}\}} \simeq [\overrightarrow{\beta + \gamma + 1 - r}]_{\pi\{\delta + k\epsilon_l(\pi) + \frac{2-r-\alpha}{2}\}} \times [\overrightarrow{r-1}]_{\pi\{\delta' + \frac{\alpha+\beta+\gamma+r-2}{2}\}}$$

dont la réduction modulo l est isomorphe à celle de $[\overrightarrow{\beta + \gamma + 1 - r}]_{\pi\{\delta''\}} \times [\overrightarrow{r-1}]_{\pi\{\delta''\}}$ avec $\delta'' = \delta + k\epsilon_l(\pi) - \frac{\alpha-1}{2}$. Or comme

$$[\overrightarrow{\beta + \gamma + 1 - r}]_{\pi} \times [\overrightarrow{r-1}]_{\pi} = [\overrightarrow{d-1}]_{\pi} + [\overrightarrow{\beta + \gamma + 1 - r}, \overleftarrow{1}, \overrightarrow{r-1}]_{\pi}$$

on en déduit en utilisant une hypothèse de récurrence que dans la réduction modulo l de $[\overleftarrow{\alpha}, \overrightarrow{\beta}]_{\pi\{\delta\}} \overrightarrow{\times} [\overrightarrow{\gamma}]_{\pi\{\delta'\}}$, il y a au plus une représentation dont l'image par $J_{N_{dg,g}}$ contienne $J_{N_{dg,g}}(\overrightarrow{[d]}_{\varrho})$. Le but est d'en construire une qui ne sera pas $\overrightarrow{[d]}_{\varrho}$.

La réduction modulo l de $J([\overleftarrow{\alpha}, \overrightarrow{\beta}]_{\pi\{\delta\}} \overrightarrow{\times} [\overrightarrow{\gamma}]_{\pi\{\delta'\}})$ contient la réduction modulo l de l'induite

$$[\overleftarrow{\alpha}, \overrightarrow{\beta - r + 1}]_{\pi\{\delta - \frac{r+1}{2}\}} \overrightarrow{\times} [\overrightarrow{\gamma}]_{\pi\{\delta - \frac{r+1}{2}\}} \otimes \cdots$$

laquelle contient la réduction modulo l de $[\overleftarrow{\alpha}, \overrightarrow{\beta + \gamma - r}]_{\pi\{\delta - \frac{r+1}{2}\}}$ laquelle fournit la réponse d'après la proposition (1.8.4).

(iii) Le cas $\alpha = \beta = 1$ se traite en utilisant (i) et (ii). En effet en considérant l'image de $[\overleftarrow{1}, \overrightarrow{1}]_{\pi\{\delta\}} \overrightarrow{\times} [\overrightarrow{\gamma}]_{\pi\{\delta'\}}$ par le foncteur de Jacquet $J_{N_{(d-1)g,g}}$ on en déduit que soit $[\overleftarrow{1}]_{\pi\{\delta - \frac{r+2}{2}\}} \times [\overrightarrow{\gamma}]_{\pi\{\delta' + 3/2\}}$, soit $[\overleftarrow{1}]_{\pi\{\delta - \gamma/2\}} \times [\overrightarrow{\gamma}]_{\pi\{\delta' + 3/2\}}$, est telle que sa réduction modulo l doit contenir $J([\overrightarrow{\gamma + 3}]_{\pi})$. La contradiction dans le premier (resp. le second) cas est alors donnée dans (i) (resp. dans (ii)). \square

1.8.9. Lemme. — Pour tout $\alpha, \beta \geq 1$ la réduction modulo l de l'induite $[\overleftarrow{\alpha}, \overrightarrow{\beta}]_{\pi\{\delta\}} \overrightarrow{\times} [\overrightarrow{\gamma}]_{\pi\{\delta'\}}$ ne contient pas $\overrightarrow{[\alpha + \beta + \gamma + 1]}_{\varrho}$.

Démonstration. — Le début de la preuve est parallèle à celle du lemme précédent. On raisonne par récurrence sur $d = \alpha + \beta + \gamma + 1$. Le cas $d = 2$ découle de (1.8.4) et (1.8.5). Par application du foncteur de Jacquet $J_{N_{dg,g}}$ on est ramené au cas $\alpha = 1$ ou $\beta = 1$ auquel cas les constituants de la réduction modulo l de $J_{N_{dg,g}}([\overleftarrow{\alpha}, \overrightarrow{\beta}]_{\pi\{\delta\}} \overrightarrow{\times} [\overrightarrow{\gamma}]_{\pi\{\delta'\}})$ susceptibles de contenir $J_{N_{dg,g}}(\overrightarrow{[d]}_{\varrho})$ sont d'après l'hypothèse de récurrence pour $\beta \geq 2$ (resp. $\alpha \geq 2$, resp. $\alpha = \beta = 1$), $\pi_1 \otimes [\overrightarrow{0}]_{\pi\{\delta - d/2\}}$ (resp. $\pi'_1 \otimes [\overrightarrow{0}]_{\pi\{\delta + \frac{\alpha + \beta - \gamma - 1}{2}\}}$, resp. la somme des deux précédentes) avec

$$\pi_1 := [\overrightarrow{\beta}]_{\pi\{\delta - \frac{\alpha + \gamma + 1}{2}\}} \overrightarrow{\times} [\overrightarrow{\gamma}]_{\pi\{\delta' + \frac{\alpha + \beta + 1}{2}\}} \quad \pi'_1 = [\overleftarrow{\alpha}]_{\pi\{\delta - \frac{\gamma + \beta + 1}{2}\}} \times [\overrightarrow{\gamma}]_{\pi\{\delta' + \frac{\alpha + \beta + 1}{2}\}}$$

ce qui d'après (1.8.7) impose $\epsilon_l(\pi) = 2$ auquel cas $I_0([\overrightarrow{\gamma}]_{\pi})$ est à torsion près isomorphe à $[\overrightarrow{\gamma}]_{\varrho}$, de sorte que le résultat est donné par le lemme précédent. \square

2. Etude de la réduction modulo l de $\text{St}_s(\pi)$

Dans ce paragraphe π désigne une $\overline{\mathbb{Q}}_l$ -représentation irréductible cuspidale entière de $Gl_g(K)$ dont on note ϱ la réduction modulo l ; pour tout $s \geq 1$, on pose $d = sg$.

2.1. Constituants irréductibles. — On rappelle que tous les sous-quotients irréductibles de $\text{St}_s(\pi)$ sont ϱ -unipotents; on se propose alors de les décrire en fonction de leur niveau de cuspidalité au sens de la proposition 1.4.8.

2.1.1. Définition. — Soient m_0, \dots, m_u des entiers positifs; on note $\mathcal{I}(m_0, \dots, m_u)$ l'ensemble des (i_0, \dots, i_u) tels que $i_0, \dots, i_u \geq 0$ et pour tout $r = 0, \dots, u$, $\sum_{k=r}^u (m_k - i_k)l^r \geq 0$.

2.1.2. Lemme. — Soit $s = m_{-1} + m_0 m(\varrho) + \dots + m_u m(\varrho)l^u$ avec $0 \leq m_{-1} < m(\varrho)$ et $0 \leq m_0, \dots, m_u < l$ alors

$$\mathcal{I}(m_0, \dots, m_u) = \{(i_0, \dots, i_u) / s - \sum_{k=0}^u i_k m(\varrho)l^k \geq 0\} =: \mathcal{I}_s(0).$$

Démonstration. — L'inclusion $\mathcal{I}_s(0) \subset \mathcal{I}(m_0, \dots, m_u)$ est évidente car si $s' = m_{-1} + m(\varrho) \sum_{k=0}^u (m_k - i_k)l^k$ est positif avec $0 \leq m_{-1} < m(\varrho)$ alors $\sum_{k=0}^u (m_k - i_k)l^k \geq 0$.

Réciproquement il suffit de montrer que si $\sum_{k=0}^u (m_k - i_k)l^k \geq 0$ alors $\sum_{k=1}^u (m_k - i_k)l^{k-1} \geq 0$. Or on a

$$\sum_{k=1}^u (m_k - i_k)l^{k-1} \geq \frac{i_0 - m_0}{l} > \frac{i_0}{l} - 1 > -1$$

et le terme de gauche est un entier qui est donc positif ou nul. \square

2.1.3. Proposition. — La réduction modulo l de $[\overleftarrow{s-1}]_\pi$ admet $\sharp \mathcal{I}_s(0)$ constituants irréductibles indexés par les éléments $(i_0, \dots, i_u) \in \mathcal{I}_s(0)$ de telle sorte que le constituant irréductible $I_{(i_0, \dots, i_u)}([\overleftarrow{s-1}]_\pi)$ correspondant est de niveau de cuspidalité (i_0, \dots, i_u) avec les relations suivantes :

- (i) $I_{(0, \dots, 0)}([\overleftarrow{s-1}]_\pi) = I_{(0, \dots, 0)}([\overleftarrow{s-1}]) \boxtimes \varrho$, où $I_{(0, \dots, 0)}([\overleftarrow{s-1}])$ est la représentation superunipotente $\mathcal{Z}_1(1)$ image de la représentation triviale de $GL_s(K)$ par l'involution de Zelevinski;
- (ii) pour tout $(i_0, \dots, i_u) \in \mathcal{I}_s(0)$, on a

$$I_{(i_0, \dots, i_u)}([\overleftarrow{s-1}]_\pi) = \left(I_{(0, \dots, 0)}([\overleftarrow{i_0-1}]) \boxtimes \rho_0 \right) \times \dots \times \left(I_{(0, \dots, 0)}([\overleftarrow{i_u-1}]) \boxtimes \rho_u \right) \times \left(I_{(0, \dots, 0)}([\overleftarrow{s'-1}]) \boxtimes \rho_{-1} \right) \quad (2.1.3)$$

avec $s' = m_{-1} + (m_0 - i_0)m(\varrho) + \dots + (m_u - i_u)m(\varrho)l^u \geq 0$, et pour $i = 0, \dots, u$,

$$\rho_i = \text{St}_{m(\varrho)l^i}(\rho\{\frac{m(\varrho)l^i - s}{2}\}), \quad \rho_{-1} = \varrho\{\frac{s - s'}{2}\};$$

- (iii) pour tout foncteur de Jacquet J_N l'image de $I_{(i_0, \dots, i_u)}([\overleftarrow{s-1}]_\pi)$ est égale à la somme des constituants de niveau de cuspidalité (i_0, \dots, i_u) de $r_l(J_N([\overleftarrow{s-1}]_\pi))$.

Remarque : pour tout $i = 0, \dots, u$ on a $\rho_i\{1\} \simeq \rho_i$ de sorte que la torsion $\{n/2\}$ dans la définition de ρ_i ne dépend que de la parité de n . Avec les notations du §1.8, $I_{(0, \dots, 0)}$ était noté I_0 .

Démonstration. — On raisonne par récurrence sur s : les cas $s < m(\varrho)$ découlent directement de [10] car $r_l([\overleftarrow{s-1}]_\pi)$ est irréductible isomorphe à $\text{St}_s(\varrho)$ qui est π -superunipotent égal à

$$Z_\varrho([\overleftarrow{s-1}]_\varrho) = Z_1([\overleftarrow{s-1}]_1) \boxtimes \varrho.$$

Supposons donc le résultat acquis pour tout $t < s$ et traitons le cas de s . En ce qui concerne les constituants ϱ -superunipotents comme $J_{N_g, \dots, g}(\text{St}_s(\pi))$ est irréductible, la réduction modulo l de $\text{St}_s(\pi)$ contient un unique constituant irréductible ϱ -superunipotent $I_{(0, \dots, 0)}([\overleftarrow{s-1}]_\pi)$, cf. le lemme 1.8.1. Par ailleurs l'involution de Zelevinski Z_ϱ envoie la ϱ -superunipotente $[\overleftarrow{s-1}]_\varrho$ sur une représentation irréductible ϱ -superunipotente, qui comme Z_ϱ commute à la réduction modulo l , est un sous-quotient irréductible de $r_l([\overleftarrow{s-1}]_\pi)$. Ainsi on en déduit que

$$I_{(0, \dots, 0)}([\overleftarrow{s-1}]_\pi) = Z_\varrho([\overleftarrow{s-1}]_\varrho) = Z_1(1) \boxtimes \varrho.$$

Par ailleurs comme d'après 1.5.1, Z_ϱ commute à J_N , on en déduit que pour tout parabolique P de radical unipotent N , $J_N(I_{(0, \dots, 0)}([\overleftarrow{s-1}]_\pi))$ est égale à la somme des constituants de niveau $(0, \dots, 0)$ de la réduction modulo l de $J_N([\overleftarrow{s-1}]_\pi)$.

Remarquons ensuite que d'après [12] §V.3, les représentations $I_{(i_0, \dots, i_u)}([\overleftarrow{s-1}]_\pi)$, définies dans l'énoncé, sont irréductibles. Par ailleurs d'après l'hypothèse de récurrence, les images de $I_{(0, \dots, 0)}([\overleftarrow{i_k-1}]) \boxtimes \rho_k$ et $I_{(0, \dots, 0)}([\overleftarrow{s'-1}]) \boxtimes \rho_{-1}$ par tout foncteur de Jacquet sont connus, il en est donc de même pour $I_{(i_0, \dots, i_u)}([\overleftarrow{s-1}]_\pi)$. Pour vérifier (iii), il suffit, par transitivité des foncteurs

de Jacquet, de traiter le cas où le parabolique est de la forme $P_{h,d-h}(K)$:

$$J_{N_{h,d-h}(K)}\left(I_{(i_0,\dots,i_u)}(\overleftarrow{[s-1]}\pi)\right) = \sum_{h_0+h_1+\dots+h_u+h_{-1}=h} J_{h_0}\left(I_{(0,\dots,0)}(\overleftarrow{[i_0-1]}) \boxtimes \rho_0\right) \times \dots \times J_{h_{-1}}\left(I_{(0,\dots,0)}(\overleftarrow{[s'-1]}) \boxtimes \rho_{-1}\right) \\ \otimes J'_{h_0}\left(I_{(0,\dots,0)}(\overleftarrow{[i_0-1]}) \boxtimes \rho_0\right) \times \dots \times J'_{h_{-1}}\left(I_{(0,\dots,0)}(\overleftarrow{[s'-1]}) \boxtimes \rho_{-1}\right)$$

où pour tout $k = 0, \dots, u$, $0 \leq h_k \leq g i_k m(\varrho) l^k$ et $0 \leq h_{-1} \leq s'g$ avec

$$J_{P_{h_k, g i_k m(\varrho) l^k - h_k}(K)}\left(I_{(0,\dots,0)}(\overleftarrow{[i_k-1]}) \boxtimes \rho_k\right) = J_{h_k}\left(I_{(0,\dots,0)}(\overleftarrow{[i_k-1]}) \boxtimes \rho_k\right) \otimes J'_{h_k}\left(I_{(0,\dots,0)}(\overleftarrow{[i_0-1]}) \boxtimes \rho_0\right)$$

lesquels sont nuls si pour $k = 0, \dots, u$ (resp. $k = -1$) h_k n'est pas de la forme $g j_k m(\varrho) l^k$ (resp. $h_{-1} = j_{-1}g$) avec $0 \leq j_k \leq i_k$ (resp. $0 \leq j_{-1} \leq s'$, et sinon, d'après l'hypothèse de récurrence égal à

$$I_{(0,\dots,0)}(\overleftarrow{[j_k-1]}) \boxtimes \rho_k \otimes I_{(0,\dots,0)}(\overleftarrow{[i_k-j_k-1]}) \boxtimes \rho_k \\ (\text{resp. } I_{(0,\dots,0)}(\overleftarrow{[j_{-1}-1]}) \boxtimes \rho_{-1} \left\{ \frac{s'-j_{-1}}{2} \right\}) \otimes I_{(0,\dots,0)}(\overleftarrow{[s'-j_{-1}-1]}) \boxtimes \rho_{-1} \left\{ \frac{j_{-1}}{2} \right\}).$$

Or d'après l'hypothèse de récurrence, pour $h = tg$,

$$\sum_{t_{-1} + \sum_{k=0}^u t_k m(\varrho) l^k = t} I_{(0,\dots,0)}(\overleftarrow{[t_0-1]}) \boxtimes \rho_0 \boxtimes \dots \boxtimes I_{(0,\dots,0)}(\overleftarrow{[t_{-1}-1]}) \boxtimes \rho_{-1} \left\{ \frac{s'-t_{-1}}{2} \right\}$$

est égal à la réduction modulo l de $[\overleftarrow{t-1}]_{\pi} \left\{ \frac{s-t}{2} \right\}$ tandis que

$$\sum_{t_{-1} + \sum_{k=0}^u t_k m(\varrho) l^k = t} I_{(0,\dots,0)}(\overleftarrow{[t_0-t_0-1]}) \boxtimes \rho_0 \boxtimes \dots \boxtimes I_{(0,\dots,0)}(\overleftarrow{[s'-t_{-1}-1]}) \boxtimes \rho_{-1} \left\{ \frac{t_{-1}}{2} \right\}$$

est égal à la réduction modulo l de $[\overleftarrow{s-t-1}]_{\pi} \left\{ \frac{t}{2} \right\}$ ce qui prouve le point (iii). Ainsi dans le groupe de Grothendieck, $r_l([\overleftarrow{s-1}]\pi) - \sum_{(i_0,\dots,i_u)} I_{(i_0,\dots,i_u)}(\overleftarrow{[s-1]}\pi)$ est tel que son image par tout foncteur de Jacquet propre, est nulle. Le résultat découle alors du fait que $r_l([\overleftarrow{s-1}]\pi)$ ne contient aucun constituant cuspidal pour s qui n'est pas de la forme $m(\varrho)l^i$ et que sinon $\text{St}_{m(\varrho)l^i}(\varrho)$ en est l'unique constituant cuspidal. \square

2.2. Constructions de réseaux particuliers. — Étant donnée une $\overline{\mathbb{Q}}_l$ -représentation irréductible entière Π de $GL_d(K)$, et un réseau stable Λ on lui associe le graphe orienté Γ_Λ défini comme suit :

- ses sommets sont les différents facteurs irréductibles $\overline{\pi}_1, \dots, \overline{\pi}_c$ de $r_l(\Pi)$ vu dans le groupe de Grothendieck ;
- une flèche relie $\overline{\pi}_i$ à $\overline{\pi}_j$ si et seulement s'il existe un sous-quotient de $\overline{\Lambda} := \Lambda \otimes_{\overline{\mathbb{Z}}_l} \overline{\mathbb{F}}_l$ qui est une extension *non triviale* de $\overline{\pi}_j$ par $\overline{\pi}_i$.

On fixe une $\overline{\mathbb{Q}}_l$ -représentation irréductible cuspidale entière π de $GL_g(K)$ dont on note ϱ la réduction modulo l : on rappelle que ϱ est irréductible cuspidale.

2.2.1. Définition. — Pour $s = m_{-1} + \sum_{k=0}^u m_k m(\varrho) l^k$ avec $0 \leq m_{-1} < m(\varrho)$ et pour $k = 0, \dots, u$, $0 \leq m_k < l$, on classe les éléments de $I_s(0) = \mathcal{I}(m_0, \dots, m_u)$ par ordre lexicographique inverse : $(0, \dots, 0)$ est alors le plus petit élément de $I_s(0)$, on le notera $\underline{1}_s$ et le k -ème élément de $I_s(0)$ par ordre croissant sera noté \underline{k}_s .

2.2.2. Proposition. — Il existe un réseau de $[\overleftarrow{s-1}]\pi$, unique à isomorphisme près, que l'on notera $CL_{\overline{\mathbb{Z}}_l}([\overleftarrow{s-1}]\pi)$, tel que dans son graphe $\Gamma_{CL_{\overline{\mathbb{Z}}_l}([\overleftarrow{s-1}]\pi)}$, les seules flèches sont celles qui relient $I_{(i_0,\dots,i_u)}(\overleftarrow{[s-1]}\pi)$ à $I_{(i'_0,\dots,i'_u)}(\overleftarrow{[s-1]}\pi)$, où $\underline{k}_s = (i_0, \dots, i_u) < \underline{(k-1)}_s = (i'_0, \dots, i'_u)$ sont des éléments consécutifs de $\mathcal{I}_t(0)$. En outre $CL_{\overline{\mathbb{Z}}_l}([\overleftarrow{s-1}]\pi)$ vérifie les propriétés suivantes :

(i) si Λ est un réseau stable de $[\overleftarrow{s}]_\pi$ tel que la surjection

$$[\overleftarrow{s-1}]_\pi \twoheadrightarrow [\overleftarrow{0}]_\pi \rightarrow [\overleftarrow{s}]_\pi$$

induit un morphisme surjectif de $CL_{\overline{\mathbb{Z}_l}}([\overleftarrow{s-1}]_\pi) \twoheadrightarrow CL_{\overline{\mathbb{Z}_l}}([\overleftarrow{0}]_\pi)$ sur Λ alors $\Lambda \simeq CL_{\overline{\mathbb{Z}_l}}([\overleftarrow{s}]_\pi)$;

(ii) pour tout $1 \leq t \leq s$, l'image de $CL_{\overline{\mathbb{Z}_l}}([\overleftarrow{s-1}]_\pi)$ par le foncteur de Jacquet $J_{P_{t,g},s,g}(K)$ est isomorphe à $CL_{\overline{\mathbb{Z}_l}}([\overleftarrow{t-1}]_{\pi\{\frac{t-s}{2}\}}) \otimes CL_{\overline{\mathbb{Z}_l}}([\overleftarrow{s-t-1}]_{\pi\{\frac{t}{2}\}})$.

Démonstration. — On raisonne par récurrence sur s . Pour $1 \leq s < m(\varrho)$ on rappelle que $r_l([\overleftarrow{s-1}]_\pi)$ est irréductible, il n'y a donc qu'un seul réseau ; il s'agit alors simplement de vérifier (i) dans le cas $s = m(\varrho) - 1$. Dans le groupe de Grothendieck, $r_l([\overleftarrow{s}]_\pi)$ est de longueur 2 avec un constituant π -superunipotent et l'autre cuspidal qui ne peut donc pas être un quotient de $[\overleftarrow{s-1}]_\varrho \twoheadrightarrow [\overleftarrow{0}]_\varrho$: ainsi le réseau image de $CL_{\overline{\mathbb{Z}_l}}([\overleftarrow{s-1}]_\pi) \twoheadrightarrow CL_{\overline{\mathbb{Z}_l}}([\overleftarrow{0}]_\pi)$ dans $[\overleftarrow{s}]_\pi$ définit une extension non triviale de $[\overleftarrow{s}]_\varrho$ par $I_{(0,\dots,0)}([\overleftarrow{s}]_\pi)$.

Supposons avoir construit pour tout $1 \leq t < s$, un réseau $CL_{\overline{\mathbb{Z}_l}}([\overleftarrow{t-1}]_\pi)$ de $[\overleftarrow{t-1}]_\pi$ dont le graphe d'extension est comme dans l'énoncé et vérifiant (i) (resp. (ii)) pour tout $t < s - 1$ (resp. $t < s$). On définit alors $CL_{\overline{\mathbb{Z}_l}}([\overleftarrow{s-1}]_\pi)$ comme le réseau image de $CL_{\overline{\mathbb{Z}_l}}([\overleftarrow{s-2}]_\pi) \twoheadrightarrow CL_{\overline{\mathbb{Z}_l}}([\overleftarrow{0}]_\pi)$ via l'application surjective $[\overleftarrow{s-2}]_\pi \twoheadrightarrow [\overleftarrow{0}]_\pi \rightarrow [\overleftarrow{s-1}]_\pi$ et on note

$$CL_{\overline{\mathbb{F}_l}}([\overleftarrow{s-1}]_\pi) := CL_{\overline{\mathbb{Z}_l}}([\overleftarrow{s-1}]_\pi) \otimes_{\overline{\mathbb{Z}_l}} \overline{\mathbb{F}_l}.$$

Pour tout $1 \leq t < s$, le foncteur de Jacquet $J_{N_{t,g},s,g}$ étant exact, on en déduit une application surjective

$$J_{N_{t,g},(s-t)g} \left(CL_{\overline{\mathbb{Z}_l}}([\overleftarrow{s-1}]_\pi) \twoheadrightarrow CL_{\overline{\mathbb{Z}_l}}([\overleftarrow{0}]_\pi) \right) \rightarrow J_{N_{t,g},(s-t)g} \left(CL_{\overline{\mathbb{Z}_l}}([\overleftarrow{s-1}]_\pi) \right).$$

D'après [15] et (ii), le membre de gauche possède une filtration de longueur 2 dont les gradués sont

$$\begin{aligned} & - CL_{\overline{\mathbb{Z}_l}}([\overleftarrow{t-1}]_{\pi\{\frac{s-t-2}{2}\}}) \otimes CL_{\overline{\mathbb{Z}_l}}([\overleftarrow{s-t-2}]_{\pi\{\frac{t+1}{2}\}}) \times CL_{\overline{\mathbb{Z}_l}}([\overleftarrow{0}]_{\pi\{\frac{s-1}{2}\}}), \\ & - CL_{\overline{\mathbb{Z}_l}}([\overleftarrow{t-2}]_{\pi\{\frac{s-t}{2}\}}) \twoheadrightarrow CL_{\overline{\mathbb{Z}_l}}([\overleftarrow{0}]_{\pi\{\frac{s-t}{2}\}}) \otimes CL_{\overline{\mathbb{Z}_l}}([\overleftarrow{s-t-1}]_{\pi\{-t/2\}}). \end{aligned}$$

D'après l'hypothèse de récurrence et la propriété (i), la réduction modulo l de chacun de ces gradués possède un unique quotient irréductible à savoir $I_{(0,\dots,0)}([\overleftarrow{t-1}]_\pi) \otimes I_{(0,\dots,0)}([\overleftarrow{s-t-1}]_\pi)$ de sorte que selon le choix de t , on a

$$J_{N_{t,g},(s-t)g} \left(CL_{\overline{\mathbb{Z}_l}}([\overleftarrow{s-1}]_\pi) \right) = \begin{cases} CL_{\overline{\mathbb{Z}_l}}([\overleftarrow{t-1}]_{\pi\{\frac{s-t-2}{2}\}}) \otimes CL_{\overline{\mathbb{Z}_l}}([\overleftarrow{s-t-2}]_{\pi\{\frac{t+1}{2}\}}) \times CL_{\overline{\mathbb{Z}_l}}([\overleftarrow{0}]_{\pi\{\frac{s-1}{2}\}}) \\ CL_{\overline{\mathbb{Z}_l}}([\overleftarrow{t-2}]_{\pi\{\frac{s-t}{2}\}}) \twoheadrightarrow CL_{\overline{\mathbb{Z}_l}}([\overleftarrow{0}]_{\pi\{\frac{s-t}{2}\}}) \otimes CL_{\overline{\mathbb{Z}_l}}([\overleftarrow{s-t-1}]_{\pi\{-t/2\}}) \end{cases} \quad (2.2.2)$$

On en déduit alors que $I_{(0,\dots,0)}([\overleftarrow{s-1}]_\pi)$ est l'unique quotient irréductible de $CL_{\overline{\mathbb{F}_l}}([\overleftarrow{s-1}]_\pi)$. En effet $[\overleftarrow{s-1}]_\varrho$ est l'unique constituant cuspidal de $r_l([\overleftarrow{s-1}]_\pi)$ pour s de la forme $m(\varrho)l^u$ et il n'est alors pas un quotient de $CL_{\overline{\mathbb{F}_l}}([\overleftarrow{s-1}]_\pi) \twoheadrightarrow CL_{\overline{\mathbb{F}_l}}([\overleftarrow{0}]_\pi)$. Soit alors $I_{(i_0,\dots,i_u)}([\overleftarrow{s-1}]_\pi)$ un quotient de $CL_{\overline{\mathbb{F}_l}}([\overleftarrow{s-1}]_\pi)$ de sorte qu'il existe $1 \leq t < s$ tel que $J_{N_{t,g},(s-t)g} \left(I_{(i_0,\dots,i_u)}([\overleftarrow{s-1}]_\pi) \right)$ soit un quotient de $J_{N_{t,g},(s-t)g} \left(CL_{\overline{\mathbb{F}_l}}([\overleftarrow{s-1}]_\pi) \right)$; d'après ce qui précède $J_{N_{t,g},(s-t)g} \left(I_{(i_0,\dots,i_u)}([\overleftarrow{s-1}]_\pi) \right)$ est alors ϱ -superunipotent ce qui impose $(i_0, \dots, i_u) = (0, \dots, 0)$.

Notons alors

$$V_1(s) = \text{Ker} \left(CL_{\overline{\mathbb{F}_l}}([\overleftarrow{s-1}]_\pi) \rightarrow I_{(0,\dots,0)}([\overleftarrow{s-1}]_\pi) \right),$$

et supposons avoir montré par récurrence l'unicité d'une suite

$$V_{k-1}(s) \subsetneq V_{k-2}(s) \subsetneq \dots \subsetneq V_1(s) \subsetneq V_0(s) = CL_{\overline{\mathbb{F}_l}}([\overleftarrow{s-1}]_\pi)$$

telle que :

- pour tout $0 \leq i \leq k-1$, $V_i(s)$ est l'unique sous-espace stable strict de $V_{i-1}(s)$ tel que $V_{i-1}(s)/V_i(s)$ soit irréductible ;

– $V_{i-1}(s)/V_i(s) \simeq I_{(i_0, \dots, i_u)}(\overleftarrow{[s-1]_\pi})$ où $\underline{i}_s = (i_0, \dots, i_u) \in I_s(0)$.

Montrons alors qu'il existe un unique sous-espace stable strict $V_k(s)$ de $V_{k-1}(s)$ telle que $V_{k-1}(s)/V_k(s)$ soit irréductible et qu'alors ce quotient est isomorphe à $I_{(i_0, \dots, i_u)}(\overleftarrow{[s-1]_\pi})$ où $\underline{k}_s = (i_0, \dots, i_u) \in I_s(0)$. Soit alors $k' \geq 1$ tel que $\underline{k}'_{s-1} \leq \underline{k}_s < \underline{(k'+1)}_{s-1}$ de sorte que la composée

$$V_{k'}(s-1) \overrightarrow{CL}_{\overline{\mathbb{F}}_l}(\overleftarrow{[0]_\pi}) \hookrightarrow CL_{\overline{\mathbb{F}}_l}(\overleftarrow{[s-2]_\pi}) \overrightarrow{CL}_{\overline{\mathbb{F}}_l}(\overleftarrow{[0]_\pi}) \twoheadrightarrow CL_{\overline{\mathbb{F}}_l}(\overleftarrow{[s-1]_\pi}) \twoheadrightarrow CL_{\overline{\mathbb{F}}_l}(\overleftarrow{[s-1]_\pi})/V_{k-1}(s)$$

est nulle car par construction tous les constituants de $V_{k'}(s-1)$ sont de niveau de cuspidalité supérieur ou égal à \underline{k}'_{s-1} et donc aussi ceux de $V_{k'}(s-1) \overrightarrow{CL}_{\overline{\mathbb{F}}_l}(\overleftarrow{[0]_\pi})$. On en déduit donc une application

$$V_{k'}(s-1) \overrightarrow{CL}_{\overline{\mathbb{F}}_l}(\overleftarrow{[0]_\pi}) \rightarrow V_{k-1}(s).$$

Si $r_l(\overleftarrow{[s-1]_\pi})$ contient une cuspidale alors s est de la forme $m(\varrho)l^u$ et il s'agit de $\overleftarrow{[s-1]_\varrho}$. On note aussi que $\overleftarrow{[s-1]_\varrho}$ est un constituant de multiplicité 1 de la réduction modulo l de $\overleftarrow{[s-2]_\pi} \overrightarrow{[0]_\pi}$; c'est aussi un constituant de $V_{k'}(s-1) \overrightarrow{CL}_{\overline{\mathbb{F}}_l}(\overleftarrow{[0]_\pi})$. Ainsi si la représentation cuspidale $\overleftarrow{[s-1]_\varrho}$ était un quotient de $V_{k-1}(s)$, du fait de la surjectivité de $CL_{\overline{\mathbb{F}}_l}(\overleftarrow{[s-2]_\pi}) \overrightarrow{CL}_{\overline{\mathbb{F}}_l}(\overleftarrow{[0]_\pi}) \twoheadrightarrow CL_{\overline{\mathbb{F}}_l}(\overleftarrow{[s-1]_\pi})$, il serait aussi un quotient de $V_{k'}(s-1) \overrightarrow{CL}_{\overline{\mathbb{F}}_l}(\overleftarrow{[0]_\pi})$ ce qui ne se peut pas.

Soit alors $I_{(i_0, \dots, i_u)}(\overleftarrow{[s-1]_\pi})$ un quotient de $V_{k-1}(s)$ et $P_{t_g, (s-t)g}(K)$ un parabolique tel que $J_{N_{t_g, (s-t)g}}(I_{(i_0, \dots, i_u)}(\overleftarrow{[s-1]_\pi})) \neq 0$. Par construction on a $(i_0, \dots, i_u) \geq \underline{k}_s$ et dans le groupe de Grothendieck $J_{N_{t_g, (s-t)g}}(V_{k-1}(s))$ est la somme des constituants de niveau de cuspidalité supérieurs ou égaux à \underline{k}_s de $r_l(\overleftarrow{[t-1]_\pi}) \otimes r_l(\overleftarrow{[s-t-1]_\pi})$. En outre d'après l'hypothèse de récurrence, l'isomorphisme (2.2.2) montre que $J_{N_{t_g, (s-t)g}}(V_{k-1}(s))$ a un unique quotient irréductible, celui de plus bas niveau de cuspidalité. Il suffit alors de montrer que si $I_{(i_0, \dots, i_u)}(\overleftarrow{[s-1]_\pi})$ est un quotient de $V_{k-1}(s)$ alors il existe un parabolique $P_{t_g, (s-t)g}(K)$ tel que $J_{N_{t_g, (s-t)g}}(I_{(i_0, \dots, i_u)}(\overleftarrow{[s-1]_\pi})) \neq 0$ et $J_{N_{t_g, (s-t)g}}(I_{(i'_0, \dots, i'_u)}(\overleftarrow{[s-1]_\pi})) \neq 0$.

Posons $i_{-1} = s - m(\varrho) \sum_{k=0}^u i_k l^k$ et $i'_{-1} = s - m(\varrho) \sum_{k=0}^u i'_k l^k$; s'il existe $0 \leq k \leq u$ (resp. $k = -1$) tel que $i_k i'_k \neq 0$ alors $t = m(\varrho) l^k$ (resp. $t = 1$) convient. Supposons donc que pour tout $k = -1, \dots, u$, on ait $i_k i'_k = 0$ et notons $-1 \leq k_0 \leq u$ le plus petit indice k tel que $i_k \neq 0$: soit alors r tel que i'_{k_0+r} soit le premier des i'_k non nul. Quitte à échanger le rôle de (i_0, \dots, i_u) et (i'_0, \dots, i'_u) , on peut supposer $r > 0$. Si $k_0 \geq 0$ (resp. $k_0 = -1$) alors $l^r | i_{k_0}$ (resp. $m(\varrho) l^r | i_{-1}$) et $t = m(\varrho) l^{k_0+r}$ convient. \square

2.2.3. Corollaire. — Soit π une représentation irréductible cuspidale entière de $GL_g(K)$ et soient deux réseaux stable $R_{\overline{\mathbb{Z}}_l}(\overleftarrow{[t]_\pi})$ et $R_{\overline{\mathbb{Z}}_l}(\overleftarrow{[a]_\pi})$ telle que l'on ait une surjection

$$R_{\overline{\mathbb{Z}}_l}(\overleftarrow{[t]_\pi}) \overrightarrow{R}_{\overline{\mathbb{Z}}_l}(\overleftarrow{[a]_\pi}) \twoheadrightarrow CL_{\overline{\mathbb{Z}}_l}(\overleftarrow{[t+a+1]_\pi})$$

Alors les deux réseaux en question sont isomorphes respectivement à $CL_{\overline{\mathbb{Z}}_l}(\overleftarrow{[t]_\pi})$ et $CL_{\overline{\mathbb{Z}}_l}(\overleftarrow{[a]_\pi})$.

Démonstration. — Par application du foncteur de Jacquet $J_{P_{(t+1)g, (t+a+2)g}(K)}$, on en déduit une application surjective

$$R_{\overline{\mathbb{Z}}_l}(\overleftarrow{[t]_\pi}_{\{-a/2\}}) \otimes R_{\overline{\mathbb{Z}}_l}(\overleftarrow{[a]_\pi}_{\{t/2\}}) \twoheadrightarrow CL_{\overline{\mathbb{Z}}_l}(\overleftarrow{[t]_\pi}_{\{-a/2\}}) \otimes CL_{\overline{\mathbb{Z}}_l}(\overleftarrow{[a]_\pi}_{\{t/2\}})$$

d'où le résultat. \square

Dans la suite nous aurons besoin de la $\overline{\mathbb{Z}}_l$ -version suivante du lemme de Schur qui découle directement de la caractérisation des réseaux $CL_{\overline{\mathbb{Z}}_l}(\overleftarrow{[t-1]_\pi})$.

2.2.4. Corollaire. — Soit π une $\overline{\mathbb{Q}}_l$ -représentation entière cuspidale irréductible de $GL_g(K)$ et

$$f : \overleftarrow{[t-1]_\pi} \overrightarrow{[\overline{a}]_\pi} \longrightarrow \overleftarrow{[t]_\pi} \overrightarrow{[\overline{a-1}]_\pi}$$

un morphisme $GL_{(t+a+1)g}(K)$ -équivariant non nul et défini sur $\overline{\mathbb{Z}}_l$. Si les réseaux associés aux représentations de Steinberg généralisées sont $CL_{\overline{\mathbb{Z}}_l}(\overleftarrow{[t-1]}_\pi)$ et $CL_{\overline{\mathbb{Z}}_l}(\overleftarrow{[t]}_\pi)$ alors f est donné par un scalaire $\lambda_f \in \overline{\mathbb{Z}}_l$ de sorte que la réduction modulo l de f est soit nulle soit d'image la réduction modulo l de $\overleftarrow{[t, \vec{a}]}_\pi$.

Démonstration. — Autrement dit il s'agit de montrer que les réseaux $R_{\overline{\mathbb{Z}}_l, \pm}(\overleftarrow{[t, \vec{a}]}_\pi)$ induits respectivement par $CL_{\overline{\mathbb{Z}}_l}(\overleftarrow{[t-1]}_\pi) \times \overrightarrow{[\vec{a}]}_\pi$ et $CL_{\overline{\mathbb{Z}}_l}(\overleftarrow{[t]}_\pi) \times \overrightarrow{[a-1]}_\pi$ sont les mêmes. D'après 2.2.2, on a sur une $\overline{\mathbb{Z}}_l$ -surjection

$$CL_{\overline{\mathbb{Z}}_l}(\overleftarrow{[t-1]}_\pi) \times \overrightarrow{[\vec{0}]}_\pi \times \overrightarrow{[a-1]}_\pi \twoheadrightarrow CL_{\overline{\mathbb{Z}}_l}(\overleftarrow{[t]}_\pi) \times \overrightarrow{[a-1]}_\pi$$

qui induit donc une $\overline{\mathbb{Z}}_l$ -surjection

$$CL_{\overline{\mathbb{Z}}_l}(\overleftarrow{[t-1]}_\pi) \times \overrightarrow{[\vec{a}]}_\pi \twoheadrightarrow R_{\overline{\mathbb{Z}}_l, -}(\overleftarrow{[t, \vec{a}]}_\pi)$$

et donc un isomorphisme $R_{\overline{\mathbb{Z}}_l, +}(\overleftarrow{[t, \vec{a}]}_\pi) \simeq R_{\overline{\mathbb{Z}}_l, -}(\overleftarrow{[t, \vec{a}]}_\pi)$. \square

Remarque : comme la réduction modulo l de $\overrightarrow{[t-1]}_\pi$ est irréductible, il ne possède à isomorphisme près qu'un seul réseau stable que l'on notera encore $\overrightarrow{[t-1]}_\pi$.

2.3. Réseaux pour les représentations admissibles de $D_{K,d}^\times$ et W_K . —

2.3.1. Proposition. — (cf. [14] 1.20 et [13] 1.6) Soit σ une $\overline{\mathbb{Q}}_l$ -représentation irréductible de dimension d qui est l -entière alors sa réduction modulo l est, dans le groupe de Grothendieck correspondant, de la forme

$$\zeta\left(\frac{1-e}{2}\right) \oplus \zeta(1) \oplus \dots \oplus \zeta\left(\frac{e-1}{2}\right)$$

où ζ est une $\overline{\mathbb{F}}_l$ -représentation irréductible de dimension $m(\sigma)$ avec $e = 1$ ou $e = e_l(q^{m(\sigma)})l^y$ pour un entier $y \geq 0$ et $m(\sigma)e = d$. Par ailleurs cette description est compatible à la correspondance de Langlands locale ; précisément soit π la représentation irréductible cuspidale de $GL_d(K)$ telle que $\sigma = L_d(\pi)$ alors la réduction modulo l de π est une représentation cuspidale de la forme $\text{St}_{m(\sigma)}(\varpi)$ où ϖ est une $\overline{\mathbb{F}}_l$ -représentation irréductible supercuspidale de $GL_e(K)$ telle que ζ est l'image de ϖ par la correspondance de Langlands modulaire définie par M.-F. Vignéras.

Pour $\sigma = L_g(\pi)$ une $\overline{\mathbb{Q}}_l$ -représentation entière irréductible de W_K , on notera $V_W(\sigma)$ ou encore $V_W(\pi)$, le réseau stable tel que sa réduction modulo l est semi-simple. En particulier si π est unitaire et si Γ est un réseau stable de σ autodual, i.e. tel que $\Gamma = \{v \in V : \langle v, \gamma \rangle \in \overline{\mathbb{Z}}_l, \forall \gamma \in \Gamma\}$, alors la réduction modulo l de σ est encore unitaire et donc semi-simple.

En ce qui concerne les représentations entières de $D_{K,d}^\times$, la situation est similaire et décrite par la proposition suivante.

2.3.2. Proposition. — Soit ρ une $\overline{\mathbb{Q}}_l$ -représentation irréductible l -entière de $D_{K,d}^\times$ dont l'image par la correspondance de Jacquet-Langlands locale est une représentation irréductible cuspidale π de $GL_d(K)$. La réduction modulo l de ρ est alors de la forme

$$\varrho\nu^{-(m-1)/2} \oplus \varrho\nu^{-(m-3)/2} \oplus \dots \oplus \varrho\nu^{(m-1)/2}$$

où la réduction modulo l de π est de la forme $\text{St}_m(\varpi)$.

2.3.3. Définition. — Pour toute représentation irréductible cuspidale unitaire entière π de $GL_g(K)$, on notera $V_{\overline{\mathbb{Z}}_l, W}(\pi)$ (resp. $V_{\overline{\mathbb{Z}}_l, D}(\pi[s])$) le réseau autodual de $L_g(\pi)$ (resp. de $\pi[s]_D$). Dans le cas où π n'est pas unitaire, soit alors un caractère χ tel que $\pi \otimes \chi \circ \det$ le soit ; le réseau $V_{\overline{\mathbb{Z}}_l, D}(\pi[s])$ est $V_{\overline{\mathbb{Z}}_l, D}(\pi \otimes \chi \circ \det[s])$ muni de l'action définie par π ; idem pour $V_{\overline{\mathbb{Z}}_l, W}(\pi)$.

2.4. Quelques remarques sur les représentations entières. — Soit \mathcal{O} un anneau intègre de corps des fractions K ; l'objet de ce paragraphe est de rappeler quelques banalités sur les réseaux stables d'une K -représentation entière.

2.4.1 — Soit (π, V) est une K -représentation de dimension finie d'un groupe G possédant un réseau stable Γ ; si $(\pi, V) = (\pi_1, V_1) \oplus (\pi_2, V_2)$ alors $\Gamma_i = V_i \cap \Gamma$ est un réseau stable de V_i pour $i = 1, 2$ mais à priori $\Gamma_1 \oplus \Gamma_2$ est un sous-réseau strict de Γ . Dans le cas où $(\pi_1, V_1) \simeq (\pi_2, V_2)$ sont irréductibles, il est par contre possible de choisir une décomposition de $(\pi, V) = (\pi_1, V'_1) \oplus (\pi_2, V'_2)$ telle que $\Gamma = \Gamma'_1 \oplus \Gamma'_2$.

2.4.2 — Soit (π, V) une K -représentation de dimension finie de $G_1 \times G_2$ telle que $(\pi, V) = (\pi_1, V_1) \otimes (\pi_2, V_2)$ où π_i est une représentation irréductible de G_i pour $i = 1, 2$. Supposons donné un réseau stable Γ de V à priori Γ n'est pas de la forme $\Gamma_1 \otimes \Gamma_2$ où Γ_i serait un réseau stable de V_i pour $i = 1, 2$. Cependant si on suppose que pour tout sous-espace W de V qui est G_1 -irréductible, $\Gamma_W = \Gamma \cap W$ est isomorphe à un réseau fixe Γ_1 alors le résultat est vrai. En effet soit $(\pi_1, W_1) \oplus (\pi_r, W_r)$ une décomposition en irréductible de la G_1 -représentation sur V induite par π ; d'après le point précédent, il est possible de la choisir de telle sorte que $\Gamma = \Gamma_{W_1} \oplus \cdots \oplus \Gamma_{W_r}$. Comme par hypothèse tous les Γ_{W_i} sont isomorphes à Γ_{W_1} , on a donc $\Gamma \simeq \Gamma_{W_1} \otimes \Gamma_2$ où Γ_2 est un réseau G_2 -stable de (π_2, V_2) .

3. Données géométriques et résultats cohomologiques de [2]

3.1. Le modèle local de Deligne-Carayol. — Soit K une extension finie de \mathbb{Q}_p , on note \mathcal{O}_K son anneau des entiers, \mathcal{P}_K l'idéal maximal et $\kappa = \mathcal{O}_K/\mathcal{P}_K$ le corps résiduel de cardinal $q = p^f$. On notera aussi ϖ_K une uniformisante. L'extension maximal non ramifiée de K sera notée K^{nr} de complété \hat{K}^{nr} , d'anneau des entiers respectifs $\mathcal{O}_{K^{nr}}$ et $\mathcal{O}_{\hat{K}^{nr}}$.

Soit $d \geq 1$ et $\Sigma_{K,d}$ le \mathcal{O}_K -module de Barsotti-Tate formel sur $\bar{\kappa}$ de hauteur d , cf. [6] §II. On considère la catégorie \mathcal{C} des \mathcal{O}_K -algèbres locales, artiniennes, de corps résiduel $\bar{\kappa}$. Le foncteur qui à un objet R de \mathcal{C} associe l'ensemble des classes d'isomorphismes des déformations sur R de $\Sigma_{K,d}$ munies d'une structure de niveau n est pro-représentable par un anneau local complet, noethérien, régulier $R_{K,d,n}$ de corps résiduel $\bar{\kappa}$.

3.1.1. Définition. — Soit $\Psi_{K,\bar{\mathbb{Q}}_l,d,n}^i$ le $\bar{\mathbb{Q}}_l$ -espace vectoriel de dimension finie associé, via la théorie des cycles évanescents de Berkovich, au morphisme structural $\mathrm{Spf} R_{K,d,n} \rightarrow \mathrm{Spf} \hat{\mathcal{O}}_K^{nr}$.

3.1.2 — Cet espace vectoriel est muni entre autre d'une action de $GL_d(\mathcal{O}_K)$ qui se factorise par le morphisme surjectif naturel $GL_d(\mathcal{O}_K) \rightarrow GL_d(\mathcal{O}_K/\mathcal{M}_K^n)$ et on pose $\Psi_{K,\bar{\mathbb{Q}}_l,d}^i = \varinjlim \Psi_{K,\bar{\mathbb{Q}}_l,d,n}^i$ de sorte que pour $\mathfrak{K}_n := \mathrm{Ker}(GL_d(\mathcal{O}_K) \rightarrow GL_d(\mathcal{O}_K/\mathcal{P}_K^n))$, on a $\Psi_{K,\bar{\mathbb{Q}}_l,d,n}^i = (\Psi_{K,\bar{\mathbb{Q}}_l,d}^i)^{\mathfrak{K}_n}$. Le groupe multiplicatif $\mathcal{D}_{K,d}^\times$ de l'ordre maximal de l'algèbre à division centrale $D_{K,d}$ sur K d'invariant $1/d$ s'identifie avec le groupe des automorphismes de $\Sigma_{K,d}$ et agit donc naturellement sur $\Psi_{K,\bar{\mathbb{Q}}_l,d}$ tout comme le sous-groupe d'inertie I_K .

3.1.3. Notation. — On notera $GDW_K(d)$ le groupe produit $GL_d(K) \times \mathcal{D}_{K,d}^\times \times W_K$ et $GDW_K(d)^0$ le noyau de l'application $(g, \delta, c) \mapsto \mathrm{val}(\det(g^{-1})\mathrm{rn}(\delta)) \mathrm{Art}_K^{-1}(c) \in \mathbb{Z}$. On adoptera une notation similaire pour $GW_K^0(d)$.

On peut alors prolonger l'action « naturelle » de $GL_d(\mathcal{O}_K) \times \mathcal{D}_{K,d}^\times \times I_K$ sur $\Psi_{K,l,d}$ au groupe $GDW_K(d)^0$. Pour un caractère χ de K^\times d'image finie, soit $\Psi_{K,\bar{\mathbb{Q}}_l,d,\chi}$ le facteur direct de $\Psi_{K,\bar{\mathbb{Q}}_l,d}$ sur lequel le centre de $GL_d(\mathcal{O})$ agit via χ . On prolonge alors l'action de $GDW_K(d)^0$ sur $\Psi_{K,\bar{\mathbb{Q}}_l,d,\chi}$ au groupe $GDW_K(d)^1$ obtenu comme le noyau de l'application $GDW_K(d) \rightarrow \mathbb{Z} \rightarrow \mathbb{Z}/d\mathbb{Z}$.

3.1.4 — Dans la définition de $R_{K,d,n}$, il est agréable de considérer plutôt les déformations par quasi-isogénies ce qui donne un schéma formel $\mathrm{Spf} R_{K,d,n,\mathbb{Z}} \simeq \coprod_{\mathbb{Z}} \mathrm{Spf} R_{K,d,n}$ de sorte que la construction précédente fournit des $\overline{\mathbb{Q}}_l$ -espaces vectoriels $\mathcal{U}_{K,\overline{\mathbb{Q}}_l,d,n}^i \simeq (\mathcal{U}_{K,\overline{\mathbb{Q}}_l,d}^i)^{\mathbb{R}^n}$ où

$$\mathcal{U}_{K,\overline{\mathbb{Q}}_l,d,\chi}^i \simeq \mathrm{Ind}_{GDW_K(d)^1}^{GDW_K(d)} \Psi_{K,\overline{\mathbb{Q}}_l,d,\chi}^i$$

est une représentation de $GDW_K(d) = GL_d(K) \times D_{K,d}^\times \times W_K$. Rappelons un des théorèmes principaux de [2].

3.1.5. Théorème. — *Pour tout diviseur g de $d = sg$ et toute représentation irréductible cuspidale π de $GL_g(K)$, on a*

$$\mathcal{U}_{K,\overline{\mathbb{Q}}_l,d}^{d-1-i}(\pi[s]_D) \simeq \begin{cases} \mathcal{L}(\pi)(-\frac{s(g+1)-2(i+1)}{2}) \otimes [\overleftarrow{s-1-i}, \overrightarrow{i}]_\pi & 0 \leq i < s \\ 0 & i < 0 \end{cases}$$

où $[\overleftarrow{s-1-i}, \overrightarrow{i}]_\pi$ est l'unique sous-espace irréductible de l'induite $\mathrm{St}_{s-i}(\pi) \overline{\times} \mathrm{Speh}_i(\pi)$ avec $\pi[s]_D := \mathrm{JL}^{-1}(\mathrm{St}_s(\pi)^\vee)$ où JL désigne la correspondance de Jacquet-Langlands.

3.1.6. Définitions. — *Pour π une représentation irréductible cuspidale de $GL_g(K)$ avec $d = sg$, on note $\mathcal{U}_{K,\overline{\mathbb{Q}}_l,d}^{d-1-i}$ le sous-espace $\pi[s]_D$ -isotypique de $\mathcal{U}_{K,\overline{\mathbb{Q}}_l,d}^{d-1-i}$ sous l'action de $D_{K,d}^\times$, lequel est donc nul si i n'est pas compris entre 0 et s et sinon isomorphe à $\pi[s]_D \otimes \mathcal{L}(\pi)(-\frac{s(g+1)-2(i+1)}{2}) \otimes [\overleftarrow{s-1-i}, \overrightarrow{i}]_\pi$.*

- Soit τ une $\overline{\mathbb{Q}}_l$ -représentation irréductible de $D_{K,h}^\times$, sa restriction à $\mathcal{D}_{K,h}^\times$ est une somme de représentations irréductibles $\rho_1 \oplus \cdots \oplus \rho_{e_\tau}$ et on notera e_τ le nombre de celles-ci.

3.2. Variétés de Shimura simples et systèmes locaux. — On considère les variétés de Shimura simples associées à des groupes unitaires telles qu'elles sont définies dans [6]. On reprend les notations de [2]. Soit $F = F^+E$ un corps CM, E/\mathbb{Q} quadratique imaginaire pure, dont on fixe un plongement réel $\tau : F^+ \hookrightarrow \mathbb{R}$. Le groupe unitaire G_τ est alors tel que

$$- G_\tau(\mathbb{R}) \simeq U(1, d-1) \times U(0, d)^{r-1};$$

- $G_\tau(\mathbb{Q}_p) \simeq (\mathbb{Q}_p)^\times \times \prod_{i=1}^r (B_{v_i}^{op})^\times$ où $v = v_1, v_2, \dots, v_r$ sont les places de F au dessus de la place u de E telle que $p = u^c u$ et où B est une algèbre à division centrale sur F de dimension d^2 vérifiant certaines propriétés, cf. [6], dont en particulier d'être soit décomposée soit une algèbre à division en toute place et décomposée à la place v .

3.2.1 — Pour tout sous-groupe compact U^p de $G_\tau(\mathbb{A}^{\infty,p})$ et $m = (m_1, \dots, m_r) \in \mathbb{Z}_{\geq 0}^r$. On pose

$$U^p(m) = U^p \times \mathbb{Z}_p^\times \times \prod_{i=1}^r \mathrm{Ker}(\mathcal{O}_{B_{v_i}}^\times \longrightarrow (\mathcal{O}_{B_{v_i}}/v_i^{m_i})^\times)$$

Pour U^p « assez petit »⁽²⁾ on dispose d'un schéma projectif sur $\mathrm{Spec} \mathcal{O}_v$ tel que quand U varie, les $X_{U^p(m)}$ forment un système projectif dont les morphismes de transition sont finis et plats : quand $m_1 = m'_1$ ils sont en plus étales. Le système projectif $(X_{U^p(m)})_{U^p, m}$ est naturellement muni d'une action de $G_\tau(\mathbb{A}^\infty)$. Soit alors \mathcal{I} l'ensemble des sous-groupes compacts ouverts « assez petits » de \mathbb{G} , de la forme $U^p(m)$ et donc muni d'une application $m_1 : \mathcal{I} \rightarrow \mathbb{N}$. Le système projectif $X_{\mathcal{I}} = (X_I)_{I \in \mathcal{I}}$ définit un schéma de Hecke au sens de [2], où les morphismes de restriction du niveau $r_{J,I} : X_J \rightarrow X_I$ sont finis et plats : si $m_1(J) = m_1(I)$ alors $r_{J,I}$ est étale.

3.2.2 — Pour $I \in \mathcal{I}$, on note \tilde{X}_I la fibre spéciale de X_I et $\overline{X}_I = \tilde{X}_I \times \mathrm{Spec} \overline{\mathbb{F}}_p$ la fibre spéciale géométrique. Pour tout $0 \leq h \leq d-1$, on dispose d'une strate fermée (resp. ouverte) notée $\overline{X}_I^{[h]}$

⁽²⁾tel qu'il existe une place x pour laquelle la projection de U^p sur $G(\mathbb{Q}_x)$ ne contienne aucun élément d'ordre fini autre que l'identité, cf. [6] bas de la page 90

(resp. $\overline{X}_I^{(h)}$) de pure dimension h ; le système projectif associé définit alors un schéma de Hecke $\overline{X}_{\mathcal{I}}^{[h]}$ (resp. $\overline{X}_{\mathcal{I}}^{(h)}$) pour $\mathbb{G} = G(\mathbb{A}^\infty)$, [6] III.4.4.

Remarque : dans le cas de bonne réduction, i.e. $m_1 = 0$, $\overline{X}_I^{\geq d-h}$ est lisse.

3.2.3. Proposition. — (cf. [7]) *Pour tout $0 < h < d$, la strate $\overline{X}_I^{(h)}$ est affine.*

Pour tout $0 < h < d$, les strates $\overline{X}_I^{(h)}$ sont géométriquement induites sous l'action du parabolique $P_{d-h,d}(\mathcal{O}_v)$, au sens où il existe un sous-schéma fermé $\overline{X}_{I,1}^{(h)}$ tel que [6] p.116 :

$$\overline{X}_I^{(h)} \simeq \overline{X}_{I,1}^{(h)} \times_{P_{d-h,d}(\mathcal{O}_v/v^{m_1})} GL_d(\mathcal{O}_v/v^{m_1})$$

On notera $\overline{X}_{I,1}^{[h]}$ l'adhérence de $\overline{X}_{I,1}^{(h)}$ dans $\overline{X}_I^{[h]}$. Le système projectif $(\overline{X}_{I,1}^{(h)})_{I \in \mathcal{I}}$ définit un schéma de Hecke $\overline{X}_{\mathcal{I},1}^{(h)}$ pour $\mathbb{G} = G(\mathbb{A}^{\infty,v}) \times P_{d-h,d}(K)$ et $\mathcal{I}_h = \mathcal{I} \cap \mathbb{G}$, où \mathbb{G} agit à travers son quotient $G(\mathbb{A}^{\infty,v}) \times \mathbb{Z} \times GL_h(K)$ donné par l'application $\begin{pmatrix} g_v^c & * \\ 0 & g_v^{et} \end{pmatrix} \mapsto (v(\det g_v^c), g_v^{et})$. Par ailleurs l'action d'un élément $w_v \in W_v$ est donné par l'action de $-\deg(w_v)$ où \deg est la composée du caractère non ramifié de W_v , qui envoie les frobenius géométrique sur les uniformisantes, avec la valuation v de K .

3.2.4. Définition. — Soit H_0/\mathbb{Q} le groupe algébrique forme intérieure de G telle que $H_0(\mathbb{R})$ est compact et $H_0(\mathbb{A}^\infty) \simeq G(\mathbb{A}^{\infty,p}) \times D_{v,d}^\times \times \prod_{i=2}^r (B_{v_i}^{op})^\times$, où $D_{v,d}^\times$ est l'algèbre à division centrale sur F_v d'invariant $1/d$.

3.2.5 — Les points géométriques du $\overline{\mathbb{F}}_p$ -schéma $\overline{X}_I^{(0)}$ de dimension nulle sont dits supersinguliers de niveau I ; cet ensemble est constitué de $\sharp \text{Ker}^1(\mathbb{Q}, H_0)$ classes d'isogénies telles que chaque classe est isomorphe, en tant que $H_0(\mathbb{A}^\infty)$ -ensemble, à (cf. [6] lemme V.1.2 p.153) :

$$H_0(\mathbb{Q}) \backslash H_0(\mathbb{A}^\infty) / (D_{v,d}^\times \times U^p(m)) \quad (3.2.6)$$

A la limite, l'action de $c_v \in W_v$ sur $X_{\mathcal{I}}^{(0)}(\overline{\mathbb{F}}_p) = H_0(\mathbb{Q}) \backslash (H_0(\mathbb{A}^{\infty,v}) \times \mathbb{Z})$ est donnée par la translation de $-\deg(c_v)$ sur la composante $\mathbb{Z} \simeq D_{v,d}^\times / \mathcal{D}_{v,d}^\times$ qui envoie -1 sur une uniformisante $\Pi_{v,d}$ de $D_{v,d}$. L'action d'un élément $g^\infty \in H_0(\mathbb{A}^\infty)$ est donnée par la translation à gauche de $g^{\infty,v}$ sur $H_0(\mathbb{A}^{\infty,v})$ et la translation de $v(\det(g_v))$ sur la composante \mathbb{Z} .

3.2.7 — Pour tout $J \in \mathcal{I}$, les faisceaux pervers des cycles évanescents $R\Psi_{\eta_v,J}(\overline{\mathbb{Q}}_l)[d-1](\frac{d-1}{2})$ sur \overline{X}_J définissent un W_v -faisceau pervers de Hecke que l'on note $\Psi_{\overline{\mathbb{Q}}_l, \mathcal{I}}$. Via la notion de variété d'Igusa de seconde espèce, pour tout $0 \leq h < d$ et τ_v une $\overline{\mathbb{Q}}_l$ -représentation irréductible de $D_{v,h}^\times$, on définit un système local de Hecke $\mathcal{F}_{\overline{\mathbb{Q}}_l, \mathcal{I}}(\tau_v)$ au sens de [2], dit de Harris-Taylor, pour le groupe $G(\mathbb{A}^\infty) \times D_{v,d-h}^\times / \mathcal{D}_{v,d-h}^\times$, muni d'une action compatible de W_v . La version faisceautique du théorème de Serre-Tate s'exprime alors, cf. la proposition IV.2.2 de [6], sous la forme d'un isomorphisme $G(\mathbb{A}^\infty) \times W_v$ -équivariant :

$$\Psi_{\overline{\mathbb{Q}}_l, \mathcal{I}} \simeq \mathcal{F}_{\overline{\mathbb{Q}}_l, \mathcal{I}} \left(\Psi_{F_v, \overline{\mathbb{Q}}_l, d} \right). \quad (3.2.7)$$

Pour $\tau_v = \text{JL}^{-1}(\text{St}_t(\pi_v)^\vee)$, on note $\mathcal{F}_{\overline{\mathbb{Q}}_l}(t, \pi_v)$ pour $\mathcal{F}_{\overline{\mathbb{Q}}_l, \text{JL}^{-1}(\text{St}_t(\pi_v)^\vee)}$. On introduit suivant [2], les W_v -faisceaux pervers de Hecke dits de Harris-Taylor

$$\mathcal{P}_{\overline{\mathbb{Q}}_l}(t, \pi_v) = j_{!*}^{\geq tg} HT_{\overline{\mathbb{Q}}_l}(\pi_v, [\overleftarrow{t-1}]_{\pi_v}) \otimes \mathcal{L}(\pi_v) \left(\frac{tg-d}{2} \right)$$

où $HT_{\overline{\mathbb{Q}}_l}(\pi_v, \Pi)$ est le faisceau induit $\mathcal{F}_{\overline{\mathbb{Q}}_l, \pi_v[t]_D} \otimes \Pi$. On note $\Psi_{\overline{\mathbb{Q}}_l, \mathcal{I}, \pi_v}$ la composante π_v -isotypique de $\Psi_{\overline{\mathbb{Q}}_l, \mathcal{I}}$ au sens de [2]. Soit $\Delta(\pi_v[t]_D)$ un ensemble de e_{π_v} d'éléments $\delta \in D_{v,tg}^\times$ tel que les $v(\text{rnd})$

forment un système de représentants de $\mathbb{Z}/e_{\pi_v}\mathbb{Z}$; pour V un $\mathcal{D}_{v,tg}^\times$ -module, on notera

$$\mathrm{Ind}_1^{\mathbb{Z}/e_{\pi_v}\mathbb{Z}} V = \bigoplus_{\delta \in \Delta(\pi_v[t]_D)} V^\delta$$

où l'action de $\delta_0 \in \mathcal{D}_{v,tg}^\times$ sur $V^\delta := V$ est donnée par celle de $\delta \circ \delta_0 \circ \delta^{-1}$. Avec ces notations, l'isomorphisme $G(\mathbb{A}^\infty) \times \mathcal{D}_{v,tg}^\times / \mathcal{D}_{v,tg}^\times$ -équivariant du bas de la page 138 de [6] combiné à l'isomorphisme 3.2.7

$$(\Psi_{\overline{\mathbb{Q}}_l, \mathcal{I}, \pi_v}^{e_{\pi_v}})_{|\overline{X}_{\mathcal{I}}^{(d-tg)}} \simeq \mathcal{F}_{\overline{\mathbb{Q}}_l}(t, \pi_v) \otimes \mathcal{U}_{F_v, l, tg}^{d-1+\bullet}(\pi_v[t]_D) \quad (3.2.7)$$

induit sur la fibre en tout point géométrique z de $\overline{X}_{\mathcal{I}}^{(d-tg)}$, un isomorphisme $\mathcal{D}_{v,tg}^\times$ -équivariant

$$\mathrm{Ind}_1^{\mathbb{Z}/e_{\pi_v}\mathbb{Z}} z^* \Psi_{\overline{\mathbb{Q}}_l, \mathcal{I}, \pi_v} \simeq \mathrm{Ind}_1^{\mathbb{Z}/e_{\pi_v}\mathbb{Z}} z^* \mathcal{F}_{\overline{\mathbb{Q}}_l}(t, \pi_v) \otimes \mathcal{U}_{F_v, l, tg}^{d-1+\bullet}(\pi_v[t]_D). \quad (3.2.8)$$

On alors rappelle les résultats suivants de [2].

3.2.9. Théorème. — Soit $1 \leq g \leq d$ et s_g la partie entière de d/g . Pour π_v une $\overline{\mathbb{Q}}_l$ -représentation irréductible cuspidale de $GL_g(F_v)$, on a l'égalité suivante dans \mathfrak{S} :

$$e_{\pi_v}[\Psi_{\overline{\mathbb{Q}}_l, \mathcal{I}, \pi_v}] = \sum_{k=1-s_g}^{s_g-1} \sum_{\substack{|k| < t \leq s_g \\ t \equiv k-1 \pmod{2}}} \mathcal{P}_{\overline{\mathbb{Q}}_l}(t, \pi_v)(-\frac{k}{2}).$$

3.2.10. Théorème. — Pour $1 \leq g \leq d$, soit π_v une $\overline{\mathbb{Q}}_l$ -représentation irréductible cuspidale de $GL_g(F_v)$. Pour tout $1 \leq t \leq d/g$, soit Π_t une représentation quelconque de $GL_{tg}(F_v)$. On considère alors la restriction à $\overline{X}_{\mathcal{I}}^{(d-h)}$ de $h^i j_{!*}^{\geq tg} HT_{\overline{\mathbb{Q}}_l}(\pi_v, \Pi_t)$;

- elle est nulle pour h ne s'écrivant pas sous la forme $(t+a)g$ avec $0 \leq a \leq s_g - t$;
- pour $h = (t+a)g$ avec $0 \leq a \leq s_g - t$, elle est nulle pour $i \neq tg - d + a(g-1)$ et sinon elle est isomorphe à $HT_{\overline{\mathbb{Q}}_l}(\pi_v, \Pi_t \overrightarrow{[a-1]}_{\pi_v}) \otimes \Xi^{\frac{a(g-1)}{2}}$,

où $\Xi : \mathbb{Z} \rightarrow \overline{\mathbb{Q}}_l^\times$ désigne le caractère défini par $\Xi(1) = \frac{1}{q}$

Remarque : en particulier pour $g > 1$, $h^i j_{!*}^{\geq tg} HT_{\overline{\mathbb{Q}}_l}(\pi_v, \Pi_t)$ est nul pour i ne s'écrivant pas sous la forme $tg - d + a(g-1)$ avec $0 \leq a \leq s_g - t$ et pour un tel $i = tg - d + a(g-1)$ il est isomorphe à $j_{!*}^{\geq (t+a)g} HT_{\overline{\mathbb{Q}}_l}(\pi_v, \Pi_t \overrightarrow{[a-1]}_{\pi_v}) \otimes \Xi^{\frac{a(g-1)}{2}}$.

3.2.11. Proposition. — En tant que $G(\mathbb{A}^\infty)$ -module, on a

$$H^0(\overline{X}_{\mathcal{I}, i}^{(0)}, \mathcal{F}_{\overline{\mathbb{Q}}_l}(s, \pi_v)) \simeq \mathcal{C}^\infty(H_0(\mathbb{Q}) \backslash H_0(\mathbb{A}^\infty)) \otimes_{D_{v,d}^\times} \mathrm{ind}_{(D_{v,d}^\times)_0}^{D_{v,d}^\times} z^* \mathcal{F}_{\overline{\mathbb{Q}}_l}(s, \pi_v) \quad (3.2.12)$$

Par ailleurs si Π est une représentation irréductible cohomologique de $G(\mathbb{A})$ telle que $\Pi_v \simeq \mathrm{St}_s(\pi_v)$ pour une représentation irréductible cuspidale π_v de $GL_g(F_v)$ avec $d = sg$, alors

$$H^0(\Psi_{\overline{\mathbb{Q}}_l, \mathcal{I}})[\Pi^\infty] \simeq \bigoplus_{k=0}^{s-1} H^0(\mathcal{P}_{\overline{\mathbb{Q}}_l}(s, \pi_v))[\Pi^\infty](-\frac{1-s+2k}{2})$$

Remarque : pour $V_{\overline{\mathbb{Q}}_l}$ une $\overline{\mathbb{Q}}_l$ -représentation de $G(\mathbb{A}^\infty)$ et Π une représentation irréductible auto-morphe de $G(\mathbb{A})$, on notera $V_{\overline{\mathbb{Q}}_l, \Pi}$ la composante Π -isotypique de V . Dans le cas où V et Π sont des représentation entières, pour $V_{\overline{\mathbb{Z}}_l}$ un réseau stable, $V_{\overline{\mathbb{Z}}_l, \Pi}$ désignera l'intersection $V_{\overline{\mathbb{Z}}_l} \cap V_{\overline{\mathbb{Q}}_l, \Pi}$.

3.2.13 — Au niveau des $\overline{\mathbb{Z}}_l$ -réseaux, l'isomorphisme 3.2.7 est encore valable en notant pour $R(\tau_v)$ un réseau stable de τ_v , $\mathcal{F}_{\overline{\mathbb{Z}}_l, \mathcal{I}}(R(\tau_v))$ le $\overline{\mathbb{Z}}_l$ -faisceau associé. Par contre, comme à priori $\mathcal{U}_{F_v, \overline{\mathbb{Z}}_l, d}^i$ n'est pas un produit tensoriel d'un réseau stable pour l'action de $D_{F_v, d}^\times$ par un réseau stable pour $GL_d(F_v) \times W_v$, on ne peut pas écrire $\mathcal{F}_{\overline{\mathbb{Z}}_l, \mathcal{I}}(\Psi_{F_v, \overline{\mathbb{Z}}_l, d}^i)$ sous la forme 3.2.7.

L'isomorphisme 3.2.12 est valable sur $\overline{\mathbb{Z}}_l$; en particulier pour Π une représentation irréductible automorphe de $G(\mathbb{A})$, on a avec les notations de la remarque précédente

$$H^0(\Psi_{\overline{\mathbb{Z}}_l, \mathcal{O}})_\Pi \simeq \bigoplus_{k=0}^{s-1} H^0(\mathcal{P}_{\overline{\mathbb{Z}}_l}(s, \pi_v))_\Pi \left(-\frac{1-s+2k}{2}\right)$$

4. Énoncés

4.1. sur la réduction modulo l de la cohomologie : rappels. — La situation géométrique que l'on considère est un schéma X propre de dimension m muni d'une action par correspondance de $GL_n(K)$ de sorte que les groupes de cohomologie l -adique $H^i(X, \overline{\mathbb{Q}}_l)$ sont des $\overline{\mathbb{Q}}_l$ -représentations de $GL_n(K)$ qui sont entières, un réseau étant donné par la partie libre de $H^i(X, \overline{\mathbb{Z}}_l)$.

4.1.1. Proposition. — *Le foncteur $r_l : \text{Groth}_{\mathbb{Q}_l}(GL_n(K)) \rightarrow \text{Groth}_{\mathbb{F}_l}(GL_n(K))$ de réduction modulo l du groupe de Grothendieck des $\overline{\mathbb{Q}}_l$ -représentations entières de $GL_n(K)$ dans celui des $\overline{\mathbb{F}}_l$ -représentations de $GL_n(K)$ est tel que*

$$r_l \left(\sum_i (-1)^i H^i(X, \overline{\mathbb{Q}}_l) \right) \simeq \sum_i (-1)^i H^i(X, \overline{\mathbb{F}}_l)$$

Démonstration. — De l'égalité $R\Gamma(X, \mathbb{F}_l) = R\Gamma(X, \mathbb{Z}_l) \otimes^{\mathbb{L}} \mathbb{F}_l$, on en déduit une suite spectrale

$$E_2^{p,q} = \text{Tor}_{-p}(H^q(X, \mathbb{Z}_l), \mathbb{F}_l) \Rightarrow H^{p+q}(X, \mathbb{F}_l)$$

Par ailleurs de la suite exacte courte $0 \rightarrow \mathbb{Z}_l \rightarrow \mathbb{Z}_l \rightarrow \mathbb{F}_l \rightarrow 0$, on en déduit que $\text{Tor}_i(-, \mathbb{F}_l)$ est nul pour $i \neq 0, 1$ ce qui donne alors les suites exactes courtes suivantes

$$0 \rightarrow H^n(X, \mathbb{Z}_l) \otimes \mathbb{F}_l \rightarrow H^n(X, \mathbb{F}_l) \rightarrow H^{n+1}(X, \mathbb{Z}_l)[l] \rightarrow 0$$

On considère une résolution équivariante plate P^\bullet (i.e. sans l -torsion) de la \mathbb{Z}_l cohomologie de sorte que la cohomologie de $P^\bullet \otimes_{\mathbb{Z}_l} \mathbb{Q}_l$ (resp. $P^\bullet \otimes_{\mathbb{Z}_l} \mathbb{F}_l$) calcule les $H^\bullet(X, \mathbb{Q}_l)$ (resp. $H^\bullet(X, \mathbb{F}_l)$). On rappelle alors le résultat connu suivant (cf. par exemple [2] proposition 7.1.3) :

4.1.2. Proposition. — *Soit $(\mathcal{D}^{\leq 0}, \mathcal{D}^{\geq 0})$ une catégorie dérivée munie d'une t -structure non dégénérée : on note \mathcal{C} son coeur qui est alors une catégorie abélienne de groupe de Grothendieck $\text{Groth}(\mathcal{C})$. L'application qui à un objet \mathcal{F} de \mathcal{D} associe*

$$\sum_i (-1)^i [P h^i \mathcal{F}] \in \text{Groth}(\mathcal{C})$$

induit un isomorphisme du groupe de Grothendieck $K(\mathcal{D})$ de la catégorie triangulée \mathcal{D} , sur $\text{Groth}(\mathcal{C})$, où l'on rappelle qu' étant donnée une catégorie triangulée A localement petite, son groupe de Grothendieck $K(A)$ est défini comme le groupe libre engendré par les classes d'isomorphismes d'objets de A quotienté par la relation : $A = B + C$ pour tout triangle distingué $B \rightarrow A \rightarrow C \xrightarrow{+1}$.

En considérant les t -structures triviales on en déduit alors que l'image de la somme alternée de la cohomologie de $P^\bullet \otimes_{\mathbb{Z}_l} \mathbb{Q}_l$ (resp. de $P^\bullet \otimes_{\mathbb{Z}_l} \mathbb{F}_l$) est égale dans le groupe de Grothendieck correspondant à $\sum_i (-1)^i H^i(X, \mathbb{Q}_l)$ (resp. $\sum_i (-1)^i H^i(X, \mathbb{F}_l)$). Ainsi le résultat découle du fait évident que l'image par le morphisme de réduction de la classe de $P^\bullet \otimes_{\mathbb{Z}_l} \mathbb{Q}_l$ dans $K(D^b(X, \mathbb{Q}_l))$ est égale à la classe de $P^\bullet \otimes_{\mathbb{Z}_l} \mathbb{F}_l$ dans $K(D^b(X, \mathbb{F}_l))$. \square

4.2. des résultats locaux. — On considère comme dans [2] la tour \mathfrak{G} de groupes de Grothendieck. Étant donnée une $\overline{\mathbb{Q}}_l$ -représentation irréductible supercuspidale π de $GL_g(K)$ que l'on supposera toujours entière, on notera $r_l(\pi)$ sa réduction modulo l . Dans la suite $\overline{\pi}$ désignera une $\overline{\mathbb{F}}_l$ -représentation irréductible cuspidale quelconque de $GL_g(K)$ pour $1 \leq g \leq d$.

4.2.1. Théorème. — Pour $l \neq 2$, pour tout $1 \leq d$ et pour tout $0 \leq i < d$, les $\mathcal{U}_{K, \overline{\mathbb{Z}}_l, d}^i$ sont sans torsion. Plus précisément, pour tout diviseur g de $d = sg$ et pour tout représentation irréductible cuspidale entière π de $GL_g(K)$, pour tout $1 \leq i \leq s$,

$$\mathcal{U}_{K, \overline{\mathbb{Z}}_l, d, \pi}^{d-i} = \mathcal{U}_{K, \overline{\mathbb{Z}}_l, d}^{d-i} \cap \mathcal{U}_{K, \overline{\mathbb{Q}}_l, d, \pi}^{d-i}$$

est de la forme $V_{\overline{\mathbb{Z}}_l, G}(\pi) \otimes V_{\overline{\mathbb{Z}}_l, D}(\pi[s]) \otimes V_{\overline{\mathbb{Z}}_l, W}(\pi)$ où $V_{\overline{\mathbb{Z}}_l, G}(\pi)$ est le $\overline{\mathbb{Z}}_l$ -réseau de $\overleftarrow{[s-i, i-1]}_{\pi}$ induit par $CL_{\overline{\mathbb{Z}}_l}(\overleftarrow{[s-i]_{\pi}} \times \overrightarrow{[i-2]_{\pi}})$ et où les réseaux de $V_{\overline{\mathbb{Z}}_l, D}(\pi)$ et $V_{\overline{\mathbb{Z}}_l, W}(\pi)$ sont introduits à la définition 2.3.3

Remarque : d'après (4.1.2) on a

$$\sum_{i=0}^{d-1} (-1)^i \mathcal{U}_{K, \overline{\mathbb{Z}}_l, d}^i \otimes_{\overline{\mathbb{Z}}_l} \overline{\mathbb{F}}_l = \sum_{i=0}^{d-1} (-1)^i \mathcal{U}_{K, \overline{\mathbb{F}}_l, d}^i$$

avec

$$0 \rightarrow \mathcal{U}_{K, \overline{\mathbb{Z}}_l, d}^i \otimes_{\overline{\mathbb{Z}}_l} \overline{\mathbb{F}}_l \rightarrow \mathcal{U}_{K, \overline{\mathbb{F}}_l, d}^i \rightarrow (\mathcal{U}_{K, \overline{\mathbb{Z}}_l, d}^{i+1})_{l\text{-tor}} \rightarrow 0$$

En particulier pour $d = 1$, $\mathcal{U}_{K, \overline{\mathbb{Z}}_l, 1}^0$ n'a pas de torsion.

4.3. des résultats globaux. — Au paragraphe suivant on définit la filtration de stratification du faisceau pervers $\Psi_{\overline{\mathbb{Z}}_l, \mathcal{I}}$ ce qui fournit une structure entière sur les systèmes locaux de Harris-Taylor $HT_{\overline{\mathbb{Q}}_l}(\pi_v, \overleftarrow{[t-1]_{\pi_v}}) \otimes \mathcal{L}(\pi_v)^{\binom{t(g-1)+2i}{2}}$, $0 \leq i \leq t-1$. Au cours de la démonstration, on prouvera la proposition suivante.

4.3.1. Proposition. — On suppose $l \neq 2$; pour tout $1 \leq tg \leq d$, $0 \leq i \leq t-1$ et pour toute $\overline{\mathbb{Q}}_l$ -représentation irréductible entière π_v de $GL_g(F_v)$, la structure entière induite par les cycles évanescents $\Psi_{\mathcal{I}, \overline{\mathbb{Z}}_l}$ sur les système locaux $HT_{\overline{\mathbb{Q}}_l}(\pi_v, \overleftarrow{[t-1]_{\pi_v}}) \otimes \mathcal{L}(\pi_v)^{\binom{t(g-1)+2i}{2}}$, $0 \leq i \leq t-1$ est le produit tensoriel d'une structure entière $\mathcal{F}_{\overline{\mathbb{Z}}_l}(V_D(\tau_v))$ sur $\mathcal{F}_{\overline{\mathbb{Q}}_l}(t, \pi_v)$ induite par $V_{\overline{\mathbb{Z}}_l, D}(\pi_v[t])$ et du réseau $CL_{\overline{\mathbb{Z}}_l}(\overleftarrow{[t-1]_{\pi_v}}) \otimes V_{\overline{\mathbb{Z}}_l, W}(\pi_v)$. Par ailleurs les $j_{1*}^{\geq h} \mathcal{F}_{\overline{\mathbb{Z}}_l}(V_D(\tau_v))[d-h]$ sont sans torsion, i.e. pour tout i , $h^i j_{1*}^{\geq h} \mathcal{F}_{\overline{\mathbb{Z}}_l}(V_D(\tau_v))[d-h]$ est un $\overline{\mathbb{Z}}_l$ -module libre.

4.3.2. Notations. — On notera $\mathcal{P}_{\overline{\mathbb{Z}}_l}(t, \pi_v)$ (resp. $HT_{\overline{\mathbb{Z}}_l}(\pi_v, \overleftarrow{[t-1]_{\pi_v}})$) la structure entière ainsi définie sur $\mathcal{P}_{\overline{\mathbb{Q}}_l}(t, \pi_v)$ (resp. $HT_{\overline{\mathbb{Q}}_l}(\pi_v, \overleftarrow{[t-1]_{\pi_v}})$) et qui provient donc de $\Psi_{\overline{\mathbb{Z}}_l, \mathcal{I}}$. De même $\mathcal{P}_{\overline{\mathbb{F}}_l}(t, \pi_v)$ (resp. $HT_{\overline{\mathbb{F}}_l}(\pi_v, \overleftarrow{[t-1]_{\pi_v}})$) désignera la réduction modulo l du $\overline{\mathbb{Z}}_l$ -réseau précédent.

Remarque : par abus de notation, on utilisera la notation $HT_{\overline{\mathbb{F}}_l}(\pi_v, \Pi_t)$ alors qu'aucune structure entière n'est encore précisée; l'objet sera alors à considérer dans le groupe de Grothendieck correspondant. Le résultat principal global sera alors le théorème suivant.

4.3.3. Théorème. — Pour $l \neq 2$, les groupes de cohomologie

$$H_c^i(\overline{X}_{\mathcal{I}}, \mathcal{F}_{\overline{\mathbb{Z}}_l}(V_D(\tau_v))), \quad H^i(\overline{X}_{\mathcal{I}}, \mathcal{P}_{\overline{\mathbb{Z}}_l}(t, \pi_v)), \quad H^i(\overline{X}_{\mathcal{I}}, \Psi_{\overline{\mathbb{Z}}_l, \mathcal{I}})$$

sont sans torsion.

Remarque : en ce qui concerne la description des réseaux globaux associés à ces groupes de cohomologie, nous ne disposons pour l'instant que de résultats partiels. Par exemple pour toute représentation automorphe irréductible Π , on note $H_{\overline{\mathbb{Z}}_l, \eta}^i$ l'intersection de $H_{\overline{\mathbb{Z}}_l, \eta}^i$ avec la composante Π^∞ -isotypique de $H_{\overline{\mathbb{Q}}_l, \eta}^i$. Dans le cas où Π_v est de la forme $\text{St}_s(\pi_v)$, $H_{\overline{\mathbb{Z}}_l, \eta, \Pi}^0$ est un produit tensoriel d'un réseau stable $\Gamma(\Pi)$ de Π^∞ par le réseau $V_W(\pi_v) \otimes \text{Sp}_s$ de $\mathcal{L}(\text{St}_s(\pi_v))$; par ailleurs

$\Gamma(\Pi)$ est le produit tensoriel d'un réseau stable de $\Pi^{\infty, v}$ et du réseau $CL_{\overline{\mathbb{Z}_l}}(\text{St}_s(\pi_v))$ ce qui est compatible au fameux lemme, encore conjectural, d'Ihara.

5. Suites spectrales

La preuve repose sur l'étude simultanée, par récurrence, de trois suites spectrales que l'on introduit ci-après.

5.1. Faisceaux pervers et suites spectrales de stratification. — On considère un anneau Λ qui sera pour nous, $\overline{\mathbb{Z}_l}$, $\overline{\mathbb{F}_l}$ ou $\overline{\mathbb{Q}_l}$. Les faisceaux pervers considérés seront à coefficients dans Λ .

5.1.1. Lemme. — Soit X un schéma, $j : U \hookrightarrow X$ un ouvert de complémentaire $i : F \hookrightarrow X$. Pour tout faisceau pervers K à support dans X , il existe une filtration dans la catégorie des pervers

$$0 \subset K' \subset K'' \subset K$$

telle que K' et K/K'' soient à support dans F , i.e. annihilés par j^* ou encore de la forme i_*M , et $K''/K' \simeq j_{!*}j^*K$.

Démonstration. — Considérons le carré commutatif dans la catégorie abélienne des faisceaux pervers sur X :

$$\begin{array}{ccc} K & \longrightarrow & j_*j^*K \\ \uparrow & & \uparrow \\ j_!j^*K & \longrightarrow & j_{!*}j^*K \end{array}$$

Il suffit alors de prendre pour K'' l'image de $j_!j^*K$ dans K et pour K' le noyau de $K'' \rightarrow j_!j^*K$. \square

Remarque : sur \mathbb{Z}_l , on dispose de deux t -structures perverses échangées par la dualité que l'on notera avec un indice $+$ ou $-$; on prendra alors pour $j_{!*}$ la version correspondante.

5.1.2. Définition. — Étant donnée une stratification fixe

$$X^{[0]} \subset X^{[1]} \subset \dots \subset X^{[d-1]} = X$$

et un faisceau pervers K sur X , soit h maximal tel que le support de K est contenu dans $X^{[d-h]}$. On dira que K est de profondeur h si en outre K est de la forme $j_{!*}^{\geq h} j^{\geq h, *}$ K où $j^{\geq h}$ est l'inclusion de $X^{(d-h)}$ dans X .

Du lemme précédent on en déduit alors la proposition suivante.

5.1.3. Proposition. — Étant donnée une stratification fixe

$$X^{[0]} \subset X^{[1]} \subset \dots \subset X^{[d-1]} = X$$

et un faisceau pervers K sur X , il existe une filtration de K telle que :

- tous ses gradués gr_k ont une profondeur ;
- si $k_1 < k_2$ sont tels que gr_{k_1} et gr_{k_2} sont de profondeur h alors il existe $k_1 < k_0 < k_2$ tel que gr_{k_0} est de profondeur $h' < h$.

Remarque : on normalisera la filtration en imposant que gr_0 soit de profondeur minimal parmi tous les gr_k .

5.1.4. Corollaire. — Soit $K_{\overline{\mathbb{Z}}_l}$ un faisceau pervers pour l'une des deux t -structures précédentes. On note

$$0 = K_{\overline{\mathbb{Z}}_l,0} \subset K_{\overline{\mathbb{Z}}_l,1} \subset \cdots \subset K_{\overline{\mathbb{Z}}_l,r} = K_{\overline{\mathbb{Z}}_l}$$

la filtration de stratification construite plus haut. Alors $K_{\overline{\mathbb{Z}}_l,i} \otimes_{\overline{\mathbb{Z}}_l} \overline{\mathbb{Q}}_l$ (resp. $K_{\overline{\mathbb{Z}}_l,i} \otimes_{\overline{\mathbb{Z}}_l}^{\mathbb{L}} \overline{\mathbb{F}}_l$) est une filtration de stratification du faisceau pervers $K_{\overline{\mathbb{Z}}_l} \otimes_{\overline{\mathbb{Z}}_l} \overline{\mathbb{Q}}_l$ (resp. $K_{\overline{\mathbb{Z}}_l} \otimes_{\overline{\mathbb{Z}}_l}^{\mathbb{L}} \overline{\mathbb{F}}_l$).

Démonstration. — Cela découle directement de la construction de la filtration de stratification en autorisant certains gradués à être nuls. \square

5.1.5. Proposition. — Soit $K_{\overline{\mathbb{Z}}_l}$ un faisceau pervers entier. On note $gr_{\overline{\mathbb{Q}}_l,k}$ (resp. $gr_{\overline{\mathbb{F}}_l,k}$) les gradués de la filtration de stratification de $K_{\overline{\mathbb{Z}}_l} \otimes_{\overline{\mathbb{Z}}_l} \overline{\mathbb{Q}}_l$ (resp. $K_{\overline{\mathbb{Z}}_l} \otimes_{\overline{\mathbb{Z}}_l}^{\mathbb{L}} \overline{\mathbb{F}}_l$). Alors l'image de $gr_{\overline{\mathbb{F}}_l,k}$ dans le groupe de Grothendieck est la réduction modulo l de l'image de $gr_{\overline{\mathbb{Q}}_l,k}$.

Démonstration. — Cela découle directement de la proposition (4.1.2). \square

5.1.6. Remarque. — pour la suite il est pratique de prendre la convention que la filtration de stratification d'un faisceau pervers $P_{\overline{\mathbb{Q}}_l}$ sur $\overline{\mathbb{Q}}_l$ possédant une version entière sur $P_{\overline{\mathbb{Z}}}$ est obtenue par produit tensoriel à partir de la filtration de stratification de $P_{\overline{\mathbb{Z}}_l}$. Cette nuance implique que l'on doit éventuellement intercaler des gradués nuls par rapport à ceux obtenus directement à partir de la filtration de stratification de $P_{\overline{\mathbb{Q}}_l}$. En ce qui nous concerne l'utilisation que l'on fera des suites spectrales, consistera à en déterminer les termes initiaux et à comparer les semi-simplifiées du terme initial et final des diverses flèches $d_r^{p,q}$. Le lecteur notera alors que la nuance ci-dessus est complètement inoffensive.

5.1.7. Définition. — Un $\overline{\mathbb{Z}}_l$ -faisceau pervers sera dit sans torsion si tous ses faisceaux de cohomologie sont sans torsion.

5.1.8. Proposition. — Notons, pour $\Lambda = \overline{\mathbb{Z}}_l, \overline{\mathbb{F}}_l, \overline{\mathbb{Q}}_l$,

$$E_{\Lambda,S,1}^{p,q} = h^{p+q} gr_{\Lambda,-p} \Rightarrow h^{p+q} K_{\Lambda}$$

la suite spectrale de stratification de K_{Λ} déduite de celle pour $\overline{\mathbb{Z}}_l$ d'après (5.1.4). Alors s'il existe p, q et $r \geq 1$ tels que $E_{\overline{\mathbb{F}}_l,S,r}^{p,q} = E_{\overline{\mathbb{Z}}_l,S,r}^{p,q} \otimes_{\overline{\mathbb{Z}}_l} \overline{\mathbb{F}}_l$ et $E_{\overline{\mathbb{F}}_l,S,r}^{p+r,q-r+1} = E_{\overline{\mathbb{Z}}_l,S,r}^{p+r,q-r+1} \otimes_{\overline{\mathbb{Z}}_l} \overline{\mathbb{F}}_l$ alors $d_{\overline{\mathbb{F}}_l,S,r}^{p,q}$ est la réduction modulo l de $d_{\overline{\mathbb{Z}}_l,S,r}^{p,q}$.

5.2. Suite spectrale de stratification des extensions par zéro des systèmes locaux d'Harris-Taylor. — Dans ce paragraphe, on va étudier la filtration de stratification des $j_!^{\geq tg} HT_{\Lambda}(\pi_v, \Pi_t)$ pour $\Lambda = \overline{\mathbb{Q}}_l, \overline{\mathbb{F}}_l, \overline{\mathbb{Z}}_l$.

5.2.1. Proposition. — Pour tout $1 \leq t \leq s$, la filtration de stratification de $j_!^{\geq tg} HT_{\overline{\mathbb{Q}}_l}(\pi_v, \Pi_t)$ est telle que ses gradués $gr_{\overline{\mathbb{Q}}_l,t,k}$ sont nuls pour $k < 0$; pour $k \geq 0$ il sont égaux à

$$j_{!*}^{\geq (t+k)g} HT_{\overline{\mathbb{Q}}_l}(\pi_v, \Pi_t \overrightarrow{\times} \overleftarrow{[k-1]_{\pi_v}}) \otimes \Xi^{-k/2}$$

Démonstration. — Le cas $t = s$ étant trivial, on suppose $1 \leq t < s$. On rappelle que d'après [2], pour tout $1 \leq t \leq s$, on a l'égalité suivante dans le groupe de Grothendieck

$$j_!^{\geq tg} HT_{\overline{\mathbb{Q}}_l}(\pi_v, \Pi_t) = \sum_{r=0}^{s-t} j_{!*}^{\geq (t+r)g} HT_{\overline{\mathbb{Q}}_l}(\pi_v, \Pi_t \overrightarrow{\times} \overleftarrow{[r-1]_{\pi_v}}) \otimes \Xi^{-r/2}$$

Par ailleurs d'après loc. cit, la fibre en un point supersingulier de $h^i j_{!*}^{\geq tg} HT_{\overline{\mathbb{Q}}_l}(\pi_v, \Pi_t)$ est nulle sauf pour $i = 1 - t$. On considère alors la fibre en un point supersingulier de la suite spectrale de stratification

$$E_{\overline{\mathbb{Q}}_l,t,1}^{p,q} = h^{p+q} gr_{\overline{\mathbb{Q}}_l,t,-p} \Rightarrow h^{p+q} j_!^{\geq tg} HT_{\overline{\mathbb{Q}}_l}(\pi_v, \Pi_t)$$

Ainsi pour tout $p \geq 0$, il existe un unique q tel que la fibre en un point supersingulier de $E_{\overline{\mathbb{Q}}_l, !t, 1}^{p,q}$ soit non nulle. Le résultat découle alors du fait que la fibre en un point supersingulier de l'aboutissement est nulle. \square

5.2.2. Corollaire. — Pour tout $1 \leq t \leq s$, la filtration de stratification de $j_{!}^{\geq tg} HT_{\overline{\mathbb{F}}_l}(\pi_v, \Pi_t)$ est telle que ses gradués $gr_{\overline{\mathbb{F}}_l, !t, k}$ sont nuls pour $k < 0$ et égaux à

$$j_{!*}^{\geq (t+k)g} HT_{\overline{\mathbb{F}}_l}(\pi_v, \Pi_t \overrightarrow{\overleftarrow{[k-1]_{\pi_v}}}) \otimes \Xi^{-k/2}$$

Remarque : pour l'instant l'énoncé n'est valable qu'au sens des groupes de Grothendieck ; i.e. quelque soit la structure entière sur $HT_{\overline{\mathbb{Q}}_l}(\pi_v, \Pi_t)$, les gradués $gr_{\overline{\mathbb{F}}_l, !t, k}$ de sa réduction modulo l ont, dans le groupe de Grothendieck correspondant, une image égale à $j_{!*}^{\geq (t+k)g} HT_{\overline{\mathbb{F}}_l}(\pi_v, \Pi_t \overrightarrow{\overleftarrow{[k-1]_{\pi_v}}}) \otimes \Xi^{-k/2}$. Nous verrons plus loin que l'énoncé est correct en prenant comme structure entière les produits tensoriels des structures entières associées aux réseaux $V_{\overline{\mathbb{Z}}_l, D}(\pi_v[t])$, $V_{\overline{\mathbb{Z}}_l, D}(\pi_v[t+k])$, $CL_{\overline{\mathbb{Z}}_l}(\overleftarrow{[k-1]_{\pi_v}})$ et une structure entière quelconque de Π_t .

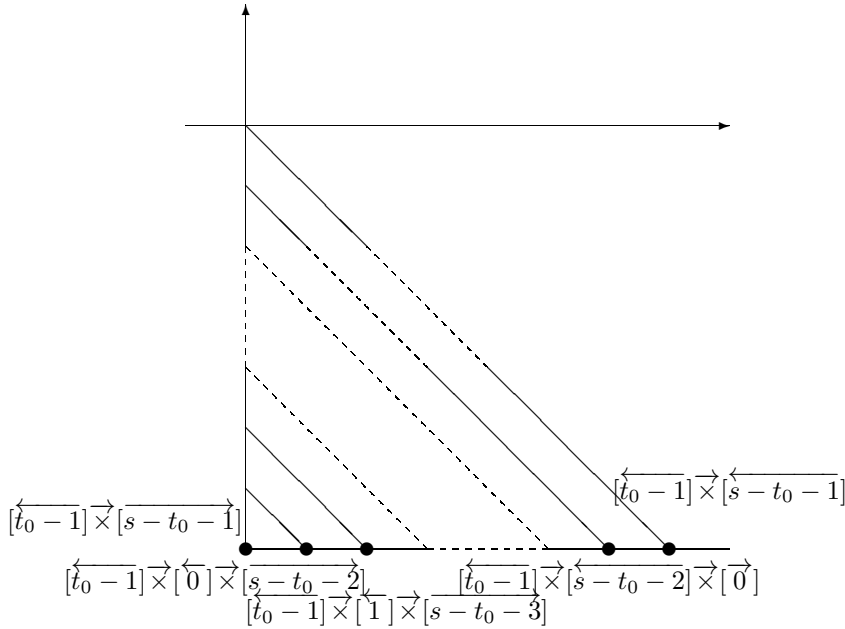


FIGURE 1. Germes en un point supersingulier des $E_1^{p,q} = h^{p+q} gr_{!, -p}$

5.3. Suite spectrale de stratification du complexe des cycles évanescents. — Dans ce paragraphe, on va étudier la filtration de stratification du complexe des cycles évanescents $\Psi_{\Lambda, \mathcal{I}}$ pour $\Lambda = \overline{\mathbb{Q}}_l, \overline{\mathbb{F}}_l, \overline{\mathbb{Z}}_l$. Sur $\overline{\mathbb{Q}}_l$, d'après (3.2.9), on a

$$e_{\pi_v}[\Psi_{\overline{\mathbb{Q}}_l, \mathcal{I}, \pi_v}] = \sum_{k=1-s_g}^{s_g-1} \sum_{\substack{|k| < t \leq s_g \\ t \equiv k-1 \pmod{2}}} \mathcal{P}_{\overline{\mathbb{Q}}_l}(t, \pi_v)(k/2)$$

Pour tout $1 \leq t \leq s$ et $0 \leq i \leq t-1$, soit $k_t(i)$ l'entier k tel que $gr_{\overline{\mathbb{Q}}_l, \Psi_{\pi_v, -k}}$ soit isomorphe à $\mathcal{P}_{\overline{\mathbb{Q}}_l}(t, \pi_v)(-\frac{1-t+2i}{2})$.

5.3.1. Proposition. — La filtration de stratification de $\Psi_{\overline{\mathbb{Q}}_l, \mathcal{I}, \pi_v}$ est telle que pour tout $1 < t \leq s$ et tout $0 \leq i, i' \leq t-1$ tels que $k_t(i) < k_t(i')$, il existe $0 \leq j \leq t-2$ tel que $k_t(i) < k_{t+1}(j) < k_t(i')$.

Démonstration. — On considère la fibre en un point supersingulier de la suite spectrale de stratification de $\Psi_{\overline{\mathbb{Q}}_l, \mathcal{I}, \pi_v}$:

$$E_{\overline{\mathbb{Q}}_l, \Psi_{\pi_v}, 1}^{p,q} = h^{p+q} gr_{\overline{\mathbb{Q}}_l, \Psi_{\pi_v}, -p} \Rightarrow h^{p+q} \Psi_{\mathcal{I}, \pi_v} \quad (5.3.2)$$

Par ailleurs d'après (3.2.10), la fibre en un point supersingulier de $h^i \mathcal{P}_{\overline{\mathbb{Q}}_l}(t, \pi_v)$ est nulle pour $i \neq 1 - t$ et non nulle sinon. Le résultat découle alors de la connaissance des fibres en un point supersingulier de $h^i \Psi_{\mathcal{I}, \pi_v}$ qui impose qu'il y ait une flèche non nulle entre toutes les fibres des termes initiaux de même poids. \square

5.3.3. Remarque. — A identification près, on peut supposer que pour tout $1 \leq t \leq s$, on a

$$k_t(t-1) < k_t(t-2) < \dots < k_t(1) < k_t(0)$$

Il est tentant de supposer que les gradués $gr_{\overline{\mathbb{Q}}_l, \Psi_{\pi_v}, k}$ sont ceux de la filtration de monodromie $gr_{\overline{\mathbb{Q}}_l, \Psi_{\pi_v}, k}^M$, i.e. pour tout $0 \leq i \leq t-1$, $k_t(i) = 1 - t + 2i$. On fera cette hypothèse fautive dans l'étude de la \mathbb{Z}_l -suite spectrale associée et le lecteur vérifiera sans difficultés que cette simplification est inoffensive : en fait dans les raisonnements seul comptera l'ensemble des flèches possibles de la suite spectrale, ce que ne modifie pas l'hypothèse simplificatrice ci-dessus.

5.3.4. Notation. — Dans le groupe de Grothendieck des $\overline{\mathbb{F}}_l$ -faisceaux pervers de Hecke munis d'une action compatible de W_v , on notera $gr_{\overline{\mathbb{F}}_l, \Psi_{\pi_v}, k}$ l'image de la réduction modulo l de $gr_{\overline{\mathbb{Q}}_l, \Psi_{\pi_v}, k}$. Par abus de notations on notera $\Psi_{\overline{\mathbb{F}}_l, \pi_v}$ la somme dans le groupe de Grothendieck des $gr_{\overline{\mathbb{F}}_l, \Psi_{\pi_v}, k}$ pour k décrivant \mathbb{Z} .

5.4. Suites spectrales d'autodualité. — Pour $g > 1$, on étudie l'isomorphisme

$$Dj_{!*}^{\geq tg} HT_{\overline{\mathbb{F}}_l}(\pi_v, \Pi_t) \simeq j_{!*}^{\geq tg} HT_{\overline{\mathbb{F}}_l}(\pi_v^\vee, \Pi_t^\vee)$$

à travers la suite spectrale ⁽³⁾

$$E_{D_{t,2}, \overline{\mathbb{F}}_l}^{p,q} = R^p \underline{Hom}(h^{-q} \mathcal{P}_{\overline{\mathbb{F}}_l}(t, \pi_v), K_{s_v}) \Rightarrow h^{p+q} \mathcal{P}_{\overline{\mathbb{F}}_l}(t, \pi_v^\vee) \quad (5.4.1)$$

où K_{s_v} désigne le complexe dualisant sur $\overline{X}_{\mathcal{I}}$. Sur $\overline{\mathbb{Z}}_l$, on dispose de deux t -structures que l'on note en mettant en indice un signe + ou - ; celles-ci sont échangées par la dualité de Verdier, ce qui fournit un isomorphisme

$$Dj_{!*,+}^{\geq tg} HT_{\overline{\mathbb{Z}}_l}(\pi_v, \Pi_t) \simeq j_{!*,-}^{\geq tg} HT_{\overline{\mathbb{Z}}_l}(\pi_v^\vee, \Pi_t^\vee)$$

et une suite spectrale correspondante.

Remarque : pour $g = 1$, on considère la suite spectrale associée à la stratification i.e.

$$E_{1, \overline{\mathbb{Z}}_l}^{p,q} = R^{p+q} \underline{Hom}(gr_S^{\overline{p}} \mathcal{P}_{\overline{\mathbb{Z}}_l, +}(t, \pi_v), K_{s_v}) \Rightarrow h^{p+q} \mathcal{P}_{\overline{\mathbb{Z}}_l, -}(t, \pi_v^\vee)$$

où $gr_S^{\overline{p}}$ est le prolongement par zéro de la restriction à la strate $\overline{X}_{\mathcal{I}}^{(d-p+1)}$.

Remarque : on rappelle que si (V, π) est une représentation de $GL_d(F_v)$, sa représentation duale est isomorphe à $(V, \pi \circ \iota)$ où $\iota(g) = {}^t g^{-1}$.

5.4.2 — On rappelle que pour un faisceau \mathcal{L} sur $\overline{X}_{\mathcal{I}}^{(d-(t+r)g)}$, par adjonction on a

$$R \underline{Hom}(i_*^{(t+r)g} j_1^{\geq (t+r)g} \mathcal{L}, f^! \overline{\mathbb{F}}_l) \simeq i_*^{(t+r)g} R j_*^{\geq (t+r)g} R \underline{Hom}(\mathcal{L}, j_1^{\geq (t+r)g, !} i^{(t+r)g, !} f^! \overline{\mathbb{F}}_l)$$

et comme $\overline{X}_{\mathcal{I}}^{(d-(t+r)g)}$ est lisse, on a $j^{\geq (t+r)g, !} i^{(t+r)g, !} f^! \overline{\mathbb{F}}_l \simeq \mathbb{F}_l[2(d - (t+r)g)](d - (t+r)g)$. Supposons alors que pour $i \leq -d + tg + r_0 g$, les $h^i \mathcal{P}_{\overline{\mathbb{Z}}_l}(g, t, \pi_v)$ sont sans torsion, i.e. que pour $0 \leq r \leq r_0$, $h^{-d+tg+r(g-1)} j_{!*}^{\geq tg} HT_{\overline{\mathbb{F}}_l}(\pi_v, \Pi_t)$ est isomorphe à $j_1^{\geq (t+r)g} HT_{\overline{\mathbb{F}}_l}(\pi_v, \Pi_t \overrightarrow{\times} [r-1]_{\pi_v}) \otimes \Xi^{-r/2}$, et qu'il est nul pour les autres $i \leq -d + tg + r_0 g$. Alors pour $q \geq (s - t - r_0)g$, les $E_{D_{t,2}, \overline{\mathbb{F}}_l}^{p,q}$ sont

⁽³⁾cf. les figures (11), (12), (13) et (14)

nuls si q n'est pas de la forme $(s-t)g - r(g-1)$ avec $0 \leq r \leq r_0$ et pour $q = (s-t)g - r(g-1)$ et $p \geq -2(d - (t+r)g)$, $E_{D_t, 2, \overline{\mathbb{F}}_l}^{p,q}$ est isomorphe à

$$R^p \underline{Hom}(j_!^{\geq (t+r)g} HT_{\overline{\mathbb{F}}_l}(\pi_v, r_l(\overleftarrow{[t-1]_{\pi_v}}) \overrightarrow{\times} r_l(\overleftarrow{[a-1]_{\pi_v}})) \otimes \Xi^{-a/2}, K_{s_v}) \simeq \\ (i_*^{(t+a)g} R^{p+2(d-(t+a)g)} j_*^{\geq (l+a)g} HT_{\overline{\mathbb{F}}_l}(\pi_v^\vee, \overleftarrow{[t-1]_{r_l(\pi_v^\vee)}} \overleftarrow{\times} r_l(\overleftarrow{[a-1]_{\pi_v^\vee}})) \otimes \Xi^{a/2}) \quad (5.4.3)$$

6. Principe de la preuve

Le raisonnement procède par récurrences; la première porte sur l'énoncé local 4.2.1 et l'entier d . On suppose donc le résultat acquis pour tout $1 \leq h < d$; dans le cas où $d = 1$ l'hypothèse de récurrence est vide. On raisonne ensuite par récurrence sur les strates de $\overline{X}_{\mathcal{I}}^{(d-1)}$ à $\overline{X}_{\mathcal{I}}^{(0)}$. A chaque étape, en raisonnant sur les fibres en un point quelconque de $\overline{X}_{\mathcal{I}}^{(d-h)}$, on montre les faits suivants :

- les gradués $gr_{\overline{Z}_l, \Psi_{\pi_v, k}}$ de profondeur h sont sans torsion; pour $h = tg$ et z un point géométrique de $\overline{X}_{\mathcal{I}}^{(d-tg)}$, la structure entière de $\text{ind } z^* h^{tg-d-a} \mathcal{P}_{\overline{\mathbb{Q}}_l}(t-a, \pi_v)(-\frac{(t-a)(g-1)+i}{2})$, pour $0 \leq i < t-a$, induite par ces gradués, est un produit tensoriel des réseaux $CL_{\overline{Z}_l}(\overleftarrow{[t-a-1]_{\pi_v}}) \overrightarrow{\times} \overleftarrow{[a-1]_{\pi_v}}$ avec les réseaux $V_D(\pi_v[t]_D)$ et $V_W(\pi_v)(-\frac{(t-a)(g-1)+i}{2})$ comme dans la proposition 4.3.1;
- pour tout $1 \leq t \leq s$, les gradués $gr_{\overline{Z}_l, !, t, k}$ de profondeur h sont sans torsion; partant d'une structure entière quelconque de Π_t et de la structure entière de $\mathcal{F}_{\overline{\mathbb{Q}}_l}(t, \pi_v)$ que définit $V_{\overline{Z}_l, D}(\pi_v[t])$, la structure entière de $gr_{\overline{Z}_l, !, t, k}$ est le produit tensoriel de la structure entière de $\mathcal{F}_{\overline{\mathbb{Q}}_l}(\pi_v[t+k])$ définie par $V_{\overline{Z}_l, D}(\pi_v[t+k])$ par celle de Π_t et le réseau $CL_{\overline{Z}_l}(\overleftarrow{[k-1]_{\pi_v}})$;
- en tout point géométrique de $\overline{X}^{(d-h)}$, les faisceaux de cohomologies des $\mathcal{P}_{\overline{Z}_l}(t, \pi_v)$ sont sans torsion;
- les flèches non nulles des suites spectrales du §5 sur \overline{Z}_l , définissent, d'après 2.2.4, des scalaires dont la valuation est nulle.

Remarque : pour $d-h \neq 0$, on sait par récurrence que l'aboutissement de la suite spectrale de stratification du faisceau pervers des cycles évanescents est sans torsion. Cela dit afin d'obtenir un argument valable pour les points supersinguliers, on n'utilisera pas ce fait.

6.1. Autodualité sous l'involution de Zelevinski d'après [4]. — L'ingrédient de contrôle que l'on utilisera est donné par le théorème principal de [4] : $D_R : R[GL_d(F_v)] - \text{mod}_{\infty} \rightarrow R[GL_d(F_v)] - \text{mod}_{\infty}$ est définie de sorte que si V est une R -représentation admissible de $GL_d(F_v)$, alors pour tout $i \geq 0$ on a, cf. loc. cit. définition 1.4 :

$$R^i D(V) = \text{Ext}_{GL_d(F_v)}^i(V, \mathcal{H}_v)$$

où $\mathcal{H}_v = C_c^\infty(GL_d(F_v))$ est l'algèbre de Hecke de $GL_d(F_v)$. On note \mathbf{D}_R le foncteur dérivé que l'on utilisera pour $R = \overline{\mathbb{F}}_l$ et $R = \overline{\mathbb{Q}}_l$.

6.1.1. Théorème. — (cf. [4] théorèmes 2.1, 4.3 et 4.7) *Le complexe $\mathcal{U}_{F_v, R, d}^\bullet$, pour $R = \overline{\mathbb{F}}_l, \overline{\mathbb{Q}}_l$, est autodual pour \mathbf{D}_R , i.e. il y a un isomorphisme*

$$\mathcal{U}_{F_v, R, d}^\bullet(d-1)[2(d-1)] \simeq \mathbf{D}_R(\mathcal{U}_{F_v, R, d}^\bullet)$$

dans $\mathbb{D}_{\text{ét}}^b(R[GD_v(d)/F_v^\times \times W_v^{\text{disc}}]_{\infty})$.

6.1.2. Corollaire. — *Pour $R = \overline{\mathbb{Q}}_l$, on considère une représentation irréductible cuspidale de $GL_g(F_v)$ pour $d = sg$. La dualité du théorème précédent induit en cohomologie une bijection renversant l'ordre entre le treillis des sous-GDW-représentations de $\mathcal{U}_{F_v, \overline{\mathbb{Q}}_l, d, \pi_v}^{d-1-i}$ et celui de $\mathcal{U}_{F_v, \overline{\mathbb{Q}}_l, \pi_v^\vee}^{d-s+i}$, donnée par l'involution $Z \circ (\sim)(1-d)$.*

Démonstration. — Le résultat découle directement de l'étude de la suite spectrale associée à l'isomorphisme du théorème précédent en utilisant que pour $i \neq s - 1$, $R^i D(\Pi) = 0$ pour toute représentation π_v -elliptique Π . \square

Remarque : en utilisant le foncteur $\mathbf{D}_{\overline{\mathbb{Z}}_l}$, l'énoncé précédent se prolonge au niveau des réseaux. En outre en utilisant l'isomorphisme $\mathcal{U}_{F_v, \overline{\mathbb{Z}}_l, \pi \circ \chi}^i \simeq \mathcal{U}_{F_v, \overline{\mathbb{Z}}_l, \pi}^i \otimes \chi \otimes \chi^{-1}$, on peut se ramener à π_v unitaire de sorte qu'en particulier pour $s = 1$, le réseau $\Psi_{F_v, \overline{\mathbb{Z}}_l, \pi_v}^{d-1}$ de la représentation unitaire $\pi_v \otimes \pi_v[1]_D \otimes L_d(\pi_v)(\frac{1-d}{2})$ est autodual.

6.1.3. Corollaire. — Soit $\overline{\pi}_v$ une $\overline{\mathbb{F}}_l$ -représentation irréductible cuspidale de $GL_g(F_v)$ pour g un diviseur de $d = sg$. Soit alors Π_v une représentation irréductible $\overline{\pi}_v$ -superunipotente telle qu'il existe τ_v (resp. σ_v) une représentation irréductible de $D_{v,d}^\times$ (resp. de W_v) pour lesquelles $\Pi_v \otimes \tau_v \otimes \sigma_v$ est un sous-quotient de $\mathcal{U}_{F_v, \overline{\mathbb{F}}_l, sg}^{sg-1-\bullet}(\frac{sg-1}{2})$. Alors $Z_{\overline{\pi}_v}(\Pi_v^\vee) \otimes \tau_v^\vee \otimes \sigma_v^\vee$ est un sous-quotient de $\mathcal{U}_{F_v, \overline{\mathbb{F}}_l, sg}^{s(g-1)+\bullet}(\frac{sg-1}{2})$.

Démonstration. — On procède comme dans le cas de la caractéristique nulle : d'après [12] III.6, on se ramène à étudier le bloc $\overline{\pi}_v$ -unipotent. Ensuite en considérant uniquement les représentations $\overline{\pi}_v$ -superunipotentes, nous allons montrer que le corollaire 1.21 de [4] est encore valide, le reste de la preuve est alors strictement identique à celle de loc. cit. Il s'agit donc de prouver l'analogie suivant du théorème III.3.1 de [9] : pour toute représentation (V, Π_v) qui est $\overline{\pi}_v$ -superunipotente, $\mathcal{M}_{\overline{\pi}_v}(R^i D(V))$ est nul pour $i \neq s - 1$ et pour $i = s - 1$, égal à $Z_{\overline{\pi}_v}(\Pi_v)$. Parallèlement à [9], en utilisant les résultats de [11] §4, on est ramené à montrer que pour tout $i \geq 0$, $\mathcal{M}_{\overline{\pi}_v}(R^i D(V))$ est égal à $\mathcal{M}_{\overline{\pi}_v}(H_c^i(X, \mathcal{F}_e(V)))$ avec les notations de loc. cit. On reprend les notations de [11], en particulier $H_c^\bullet(X, \mathcal{F}_e(V))$ est la cohomologie du complexe

$$0 \rightarrow C_c^{or}(X_{(d)}, \gamma_e(V)) \rightarrow \cdots \rightarrow C_c^{or}(X_{(0)}, \gamma_e(V)) \rightarrow V \rightarrow 0$$

de la proposition 2.6, avec $C_c^{or}(X_{(q)}, \gamma_e(V)) \simeq \bigoplus_{\mathcal{F} \in \mathcal{F}_q} \text{Ind}_{P_{\overline{\mathbb{F}}}}^{GL_d(F_v)} \epsilon_{\mathcal{F}} \tau_{e,V}$. En prenant une résolution projective de $\epsilon_{\mathcal{F}} \tau_{e,V}$, on obtient un complexe double $(K^{p,q}, d_1, d_2)$, où d_1 (resp. d_2) est la différentielle horizontale (resp. verticale), avec $K^{p,q}$ nul pour $q > 0$ ou $p > 0$ ou $p < -d$. Le complexe total associé est alors une résolution projective de V comme dans le théorème 2.11. de [11] : les $R^i D(V)$ en sont les groupes de cohomologie. On raisonne alors dans le bloc $\overline{\pi}_v$ -unipotent de sorte que d'après [11] théorème 4.6, la cohomologie de d_1 est nulle sauf éventuellement pour $p = 1 - s$. Il ne reste ainsi plus qu'à calculer l'image par $\mathcal{M}_{\overline{\pi}_v}$ de la cohomologie de $(K^{1-s, \bullet}, d_2)$ ce qui revient à calculer celle de

$$\cdots \rightarrow H_c^{s-1}(X, \mathcal{F}_e(V_2)) \rightarrow H_c^{s-1}(X, \mathcal{F}_e(V_1)) \rightarrow H_c^{s-1}(X, \mathcal{F}_e(V)) \rightarrow 0$$

où $\cdots \rightarrow V_2 \rightarrow V_1 \rightarrow V \rightarrow 0$ est une résolution projective. En notant que $H_c^i(X, \mathcal{F}_e(W))$ a une image nulle par $\mathcal{M}_{\overline{\pi}_v}$ pour $i = s, s-2$, on en déduit classiquement que la cohomologie du complexe ci-dessus est nulle sauf pour $p = 0$ auquel cas on obtient $\mathcal{M}_{\overline{\pi}_v}(H_c^{s-1}(X, \mathcal{F}_e(V))) = Z_{\overline{\pi}_v}(\Pi_v)$, d'où le résultat. \square

6.2. Où on se ramène aux points supersinguliers. — L'initialisation de la récurrence étant trivial, prendre $h < g$, on suppose le résultat acquis jusqu'au rang $h - 1$ et traitons le cas de h . Il y a alors deux situations selon que h est de la forme tg ou non.

- Dans le cas où h n'est pas de la forme tg , on commence par raisonner sur la suite spectrale $E_{\overline{\mathbb{F}}_l, 1, k, 1}^{p,q}$, par récurrence sur k de s à 1, de sorte que pour $p > 0$, la fibre de $E_{\overline{\mathbb{F}}_l, 1, k, 1}^{p,q}$ en tout point géométrique de $\overline{X}_{\mathcal{T}}^{(d-h)}$ est nulle. Comme h n'est pas de la forme tg , la fibre de l'aboutissement est nulle, de sorte qu'il en est de même pour $p = 0$. On en déduit donc que la fibre en tout point géométrique des $E_{\overline{\mathbb{F}}_l, \Psi_{\pi_v}, 1}^{p,q}$ est nulle pour tout p, q .

- Si h est de la forme tg , la procédure est donnée dans les paragraphes suivants en utilisant la remarque suivante.

6.2.1. Remarque. — Sans être restrictif et afin de ne pas alourdir les notations, comme le raisonnement pour $h = tg$ est indépendant de t , on ne traitera que le cas $h = sg$, i.e. le cas des points supersinguliers et on laissera au lecteur averti le soin d'apporter les modifications mineures : par exemple dans le cas des points supersinguliers, on a $j_!^{\geq sg} HT(\pi_v, \Pi_s) = j_{!*}^{\geq sg} HT(\pi_v, \Pi_s)$ alors que pour $h = tg$, cette égalité n'est vraie que modulo des faisceaux pervers à support dans $\overline{X}_{\mathcal{I}}^{[d-tg-1]}$ ce qui suffit dans tous les raisonnements où l'on considère la fibre en un point de $\overline{X}_{\mathcal{I}}^{(d-tg)}$.

6.2.2. Définition. — On note $m_{\pi_v} := g \dim_{\overline{\mathbb{F}}_l} r_l(\pi_v[s]_D)$, la dimension de $\pi_v[s]_D \otimes \mathcal{L}(\pi_v)$.

6.3. Réseaux et lemme de Schur. — Le but de ce paragraphe est de montrer que les réseaux des parties libres des $\overline{\mathbb{Z}}_l$ -suites spectrales des paragraphes précédents sont un produit tensoriel d'un système local dont le $\otimes_{\overline{\mathbb{Z}}_l} \overline{\mathbb{Q}}_l$ est isomorphe aux systèmes locaux d'Harris-Taylor, par les réseaux de la proposition 4.3.1, i.e. les $V_{\overline{\mathbb{Z}}_l, W}(\pi_v)$ et $CL_{\overline{\mathbb{Z}}_l}(\overleftarrow{[t-1]}_{\pi_v}) \overrightarrow{\times} \overleftarrow{[s-t-1]}_{\pi_v}$; ainsi dans un premier temps les réseaux de $\mathcal{F}(s, \pi_v)$ seront quelconques et ne seront identifiés qu'à la toute fin de la preuve, cf. la remarque 6.3.3. *La conséquence fondamentale* pour les paragraphes suivants est qu'en ce qui concerne les flèches non nulles des $\overline{\mathbb{Q}}_l$ -suites spectrales précédentes, elles sont données, d'après le corollaire 2.2.4, par un scalaire de $\overline{\mathbb{Z}}_l$ sur la partie GW . En particulier si la $\overline{\mathbb{Z}}_l$ -flèche en question n'est pas un isomorphisme alors après réduction modulo l , le noyau et l'image correspondante en tant que $\overline{\mathbb{F}}_l$ -représentation de $GL_d(F_v) \times W_v$ est de la forme

$$nr_l \left(\overleftarrow{[t-1, s-t-1]}_{\pi_v} \otimes \mathcal{L}(\pi_v) \right)$$

pour un certain entier $n \leq \dim_{\overline{\mathbb{F}}_l} r_l(\pi_v[s]_D)$.

La preuve se déroule en deux temps : tout d'abord en utilisant l'hypothèse de récurrence locale et globale sur les strates de dimension plus grande, on traite le cas de $p + q < 0$ puis dans un deuxième temps, on attaque le cas des « nouveaux » faisceaux pervers, i.e. après la réduction du §6.2, ceux supportés par les points supersinguliers.

6.3.1 — *Cas $p + q < 0$* : commençons par la suite spectrale $E_{\overline{\mathbb{Z}}_l, \Psi_{\pi_v, 1}}^{p, q}$. Il s'agit donc de décrire, pour tout $1 \leq t < s$, la structure entière des $h^{t-s} \mathcal{P}_{\overline{\mathbb{Z}}_l}(t, \pi_v)$ sachant que $\mathcal{P}_{\overline{\mathbb{Z}}_l}(t, \pi_v)$ est de la forme $\mathcal{F}_{\overline{\mathbb{Z}}_l}(V_D(\pi_v[t])) \otimes CL_{\overline{\mathbb{Z}}_l}(\overleftarrow{[t-1]}_{\pi_v}) \otimes V_W(\pi_v)(-\frac{tq-1}{2})$. Ainsi l'action de W_v se met naturellement en facteur tandis que pour celle de $GL_d(F_v)$, il n'y a qu'un seul réseau à savoir $CL_{\overline{\mathbb{Z}}_l}(\overleftarrow{[t-1]}_{\pi_v}) \overrightarrow{\times} \overleftarrow{[s-t-1]}_{\pi_v}$.

En ce qui concerne les suites spectrales $E_{\overline{\mathbb{Z}}_l, 1, a, 1}^{p, q}$ associées à la stratification de $\mathcal{F}_{\overline{\mathbb{Z}}_l}(V_D(\pi_v[a])) \otimes CL_{\overline{\mathbb{Z}}_l}(\overleftarrow{[a-1]}_{\pi_v})$, la situation est similaire. Pour $p + q < 0$, d'après l'hypothèse de récurrence sur les strates de dimension strictement positives, l'action de W_v est en facteur tandis que pour celle de $GL_d(F_v)$ il n'y a qu'un seul réseau à savoir $CL_{\overline{\mathbb{Z}}_l}(\overleftarrow{[a-1]}_{\pi_v}) \overrightarrow{\times} CL_{\overline{\mathbb{Z}}_l}(\overleftarrow{[i-1]}_{\pi_v}) \overrightarrow{\times} \overleftarrow{[s-1-a-i]}_{\pi_v}$.

Par dualité, on en déduit que pour $p + q > 0$, les réseaux de la suite spectrale $E_{\overline{\mathbb{Z}}_l, D, a, 2}^{p, q}$ sont compatibles au sens ci-dessus.

6.3.2 — *Cas des faisceaux pervers ponctuels* : la démarche est la même sauf que cette fois-ci la situation n'est pas « héritée » des strates de dimension strictement positive. Dans un premier temps nous allons montrer que pour tout point supersingulier z de $\overline{X}_{\mathcal{I}}^{(0)}$, et pour tout $0 \leq i \leq s-1$, la structure entière induite par $\Psi_{\overline{\mathbb{Z}}_l, \mathcal{I}}$ sur $\mathcal{F}_{\overline{\mathbb{Q}}_l}(s, \pi_v) \otimes \overleftarrow{[s-1]}_{\pi_v} \otimes \mathcal{L}(\pi_v)(-\frac{s(g-1)+2i}{2})$ est telle que en tant que $\overline{\mathbb{Z}}_l[GDW]$ -module, $\text{ind } z^* \mathcal{F}_{\overline{\mathbb{Q}}_l}(s, \pi_v) \otimes \overleftarrow{[s-1]}_{\pi_v} \otimes \mathcal{L}(\pi_v)(-\frac{s(g-1)+2i}{2})$ est de la forme $\Gamma_G \otimes \Gamma_W \otimes \Gamma_D$, où Γ_G (resp. Γ_W , resp. Γ_D) est un réseau stable de $\overleftarrow{[s-1]}_{\pi_v}$ (resp. $\mathcal{L}(\pi_v)(-\frac{s(g-1)+2i}{2})$, resp. de $\pi_v[s]_D$). Dans un deuxième temps, nous identifierons les réseaux Γ_G

et Γ_W laissant de côté la détermination de Γ_D jusqu'à la toute fin de la preuve de l'ensemble des résultats, cf. la remarque 6.3.3.

Soit Π une représentation irréductible automorphe de $G(\mathbb{A})$ telle que $\Pi_v \simeq \text{St}_s(\pi_v)$ et $\Pi_{v'}$ est cuspidale, où $v' \neq v$ est une place telle que $G(F_{v'}) \simeq GL_d(F_{v'})$. D'après 3.2.12 que l'on utilise à la place v' , $H_{\eta_{v'}, \Pi}^0$ est $\overline{\mathbb{Z}}_l$ -isomorphe à $C^\infty(H^0(\mathbb{Q}) \backslash H^0(\mathbb{A}^\infty))_\Pi \otimes_{D_{v', d}^\times} \text{ind } z^* \mathcal{P}_{\overline{\mathbb{Z}}_l}(1, \Pi_{v'})$. En tant que représentation de $D_{v', d}^\times$, $\text{ind } z^* \mathcal{P}_{\overline{\mathbb{Z}}_l}(1, \Pi_{v'})$ est isotypique pour $\Pi_{v'}[1]_D$ de sorte que $\text{ind } z^* \mathcal{P}_{\overline{\mathbb{Z}}_l}(1, \Pi_{v'})$ est une somme directe $\Gamma_{GDW} := \Gamma_{D,1} \oplus \cdots \oplus \Gamma_{D,r}$ de $\overline{\mathbb{Z}}_l[D_{v', d}^\times]$ -modules $\Gamma_{D,i}$ avec $\Gamma_{D,i} \otimes_{\overline{\mathbb{Z}}_l} \overline{\mathbb{Q}}_l \simeq \Pi_{v'}[1]_D$. Notons $\Gamma_{D,0}$ le $\overline{\mathbb{Z}}_l$ -réseau à la place v' de $C^\infty(H_0(\mathbb{Q}) \backslash H_0(\mathbb{A}^\infty))_\Pi$; soit alors $\Gamma'_{D,i}$ le plus petit sous-réseau de $\Gamma_{D,i}$ isomorphe à $\Gamma_{D,0}$ de sorte que toute flèche de $\Gamma_{D,0} \rightarrow \Gamma_{GDW}$ se factorise par $\Gamma'_{GDW} = \bigoplus_{i=1}^r \Gamma'_{D,i} \simeq \Gamma_{D,1} \otimes \Gamma'_{GW} \subset \Gamma_{GDW}$. Autrement en ce qui concerne le calcul des groupes de cohomologie, on peut remplacer Γ_{GDW} par tout réseau $\Gamma'_{GDW} \subset \Gamma \subset \Gamma_{GDW}$. Par ailleurs comme la réduction modulo l de $\Pi_{v'}$ est irréductible, il ne possède à homothéties près qu'un seul réseau stable noté $\Pi_{v', \overline{\mathbb{Z}}_l}$ et donc $\Gamma_{GW} \simeq \Pi_{v', \overline{\mathbb{Z}}_l} \otimes \Gamma_W$ où Γ_W est un réseau stable de $\mathcal{L}(\Pi_{v'})$ qui est aussi une représentation du groupe de Galois global et donc aussi de W_v . En particulier en tant que représentation de $GL_d(F_v) \otimes W_v$, $H^0(\mathcal{P}_{\overline{\mathbb{Z}}_l}(s, \pi_v))_\Pi$ est un produit tensoriel $\Gamma_{G,v} \otimes \Gamma_W$ où Γ_W est un réseau stable de $\mathcal{L}(\pi_v)$ et $\Gamma_{G,v} \otimes_{\overline{\mathbb{Z}}_l} \overline{\mathbb{Q}}_l$ est isotypique relativement à $[\overleftarrow{s-1}]_{\pi_v}$. On reprend l'isomorphisme 3.2.12 relativement à la place v : comme précédemment au niveau du calcul du $H^0(\mathcal{P}_{\overline{\mathbb{Z}}_l}(s, \pi_v))_\Pi$, on peut remplacer le réseau Γ_{GDW} constitué par $\text{ind } z^* \mathcal{P}_{\overline{\mathbb{Z}}_l}(s, \pi_v)$ par un réseau Γ'_{GDW} de la forme $\Gamma_D \otimes \Gamma_{GW}$ avec d'après ce qui précède $\Gamma_{GW} \simeq \Gamma_G \otimes \Gamma_W$. Soit alors une décomposition $\Gamma_{GDW} = \bigoplus_{i=1}^r \Gamma_{GW,i}$ de la $\overline{\mathbb{Q}}_l$ -représentation entière $[\overleftarrow{s-1}]_{\pi_v} \otimes \mathcal{L}(\pi_v)$ -isotypique $\text{ind } z^* \mathcal{P}_{\overline{\mathbb{Z}}_l}(s, \pi_v)$. Notons $\Gamma'_{GW,i} = \Gamma'_{GDW} \cap (\Gamma_{GW,i} \otimes_{\overline{\mathbb{Z}}_l} \overline{\mathbb{Q}}_l)$; $\Gamma'_{GDW} = \bigoplus_{i=1}^r \Gamma'_{GW,i} \simeq \Gamma'_{GW,1} \otimes \Gamma'_D$ pour un certain réseau stable Γ'_D de $\pi_v[s]_D$. On en déduit en utilisant 3.2.12 que $\Gamma'_{GW,1} \simeq \Gamma_{GW}$ et donc $\Gamma'_D \simeq \Gamma_D$. Par ailleurs comme $\Gamma'_{GW,1} \otimes \Gamma_D \subset \Gamma_{GW,1} \otimes \Gamma_D \subset \Gamma_{GDW}$, et que pour le calcul de la cohomologie, via 3.2.12, ces trois réseaux donnent le même résultat, on en déduit que $\Gamma_{GW,i} \simeq \Gamma_{GW}$ et donc finalement que $\Gamma_{GDW} \simeq \Gamma_{GW} \otimes \Gamma_D$.

Il s'agit ensuite d'identifier Γ_W et Γ_G : en ce qui concerne le premier le résultat découle de la dualité locale qui donne que Γ_W^\vee est isomorphe au réseau local de $\text{ind } z^* h^{1-s} \mathcal{P}_{\overline{\mathbb{Z}}_l}(1, \pi_v)$ lequel est autodual et isomorphe à $V_{\overline{\mathbb{Z}}_l, W}$ d'après ce qui précède. En ce qui concerne Γ_G , on étudie la suite spectrale des cycles évanescents, cf. la figure 2

$$E_1^{p,q} = H^p(R^q \Psi) \Rightarrow H_{\eta_v}^{p+q}.$$

L'idée est alors de choisir une représentation automorphe irréductible Π telle que $\Pi_v \simeq \text{St}_s(\pi_v)$ et de trouver un sous- $\overline{\mathbb{Q}}_l$ -espace vectoriel de $H_{\overline{\mathbb{Q}}_l, \eta_v, \Pi}^0$ tel que son intersection avec $H_{\overline{\mathbb{Z}}_l, \eta_v}^0$ soit de la forme $CL_{\overline{\mathbb{Z}}_l}([\overleftarrow{s-1}]_{\pi_v}) \otimes V_{\overline{\mathbb{Z}}_l, W}(\pi_v)$: en effet le réseau obtenu ne doit pas dépendre du choix du sous- $\overline{\mathbb{Q}}_l$ -espace vectoriel choisi. Le sous- $\overline{\mathbb{Q}}_l$ -espace vectoriel à considérer est $E_{\overline{\mathbb{Q}}_l, g+1, \Pi}^{g, -g}$ qui est isomorphe à $[\overleftarrow{s-1}]_{\pi_v} \otimes \mathcal{L}(\pi_v)(-\frac{s-3}{2})$. En effet le réseau associé à $E_{\overline{\mathbb{Q}}_l, 2, \Pi}^{g, -g}$ est $H^g(j_!^{\geq (s-1)g} \mathcal{F}_{\overline{\mathbb{Z}}_l}(s-1, \pi_v) \otimes CL_{\overline{\mathbb{Z}}_l}([\overleftarrow{s-2}]_{\pi_v})) \otimes V_{\overline{\mathbb{Z}}_l, W}(\pi_v)(-\frac{(s-1)(g+1)-2}{2})$ dont la Π -partie est d'après [1] §5, isomorphe à $H^0(j_!^{\geq sg} \mathcal{F}_{\overline{\mathbb{Z}}_l}(s, \pi_v))_\Pi \otimes CL_{\overline{\mathbb{Z}}_l}([\overleftarrow{s-2}]_{\pi_v}) \overrightarrow{\otimes} CL_{\overline{\mathbb{Z}}_l}([\overrightarrow{0}]_{\pi_v}) \otimes V_{\overline{\mathbb{Z}}_l, W}(\pi_v)(-\frac{s(g+1)-4}{2})$. Le réseau en question est donc bien un produit tensoriel $\Gamma_G \otimes V_{\overline{\mathbb{Z}}_l, W}(\pi_v)(-\frac{s-3}{2})$ avec Γ_G obtenu comme le réseau image de

$$CL_{\overline{\mathbb{Z}}_l}([\overleftarrow{s-2}]_{\pi_v}) \overrightarrow{\otimes} CL_{\overline{\mathbb{Z}}_l}([\overrightarrow{0}]_{\pi_v})$$

le résultat découlant alors de la caractérisation de $CL_{\overline{\mathbb{Z}}_l}([\overleftarrow{s-1}]_{\pi_v})$ donnée à la proposition 2.2.2.

En regardant ensuite les $E_{\overline{\mathbb{Z}}_l, g+1, \Pi}^{tg, -tg}$ on en déduit, d'après le corollaire 2.2.3, que pour tout $1 \leq t \leq s-2$, les $H^0(j_!^{\geq tg})_\Pi$ ont pour réseau $CL_{\overline{\mathbb{Z}}_l}([\overleftarrow{s-t-1}]_{\pi_v})$. On reprend alors la suite spectrale

$$E_{t, \overline{\mathbb{Z}}_l, 1}^{p,q} = H^{p+q}(gr_{-p} j_!^{\geq tg} HT_{\overline{\mathbb{Z}}_l}(\pi_v, \Pi_t)) \Rightarrow H^{p+q}(j_!^{\geq tg} HT_{\overline{\mathbb{Z}}_l}(\pi_v, \Pi_t))$$

et on en déduit alors que le réseau associé à $[\overleftarrow{s-t-1}]_{\pi_v}$ dans le $j_{l*}^{\geq s} \mathcal{F} \otimes \Pi_t \overrightarrow{\times} [\overleftarrow{s-t-1}]_{\pi_v}$ est bien $CL_{\overline{\mathbb{Z}}_l}([\overleftarrow{s-t-1}]_{\pi_v})$.

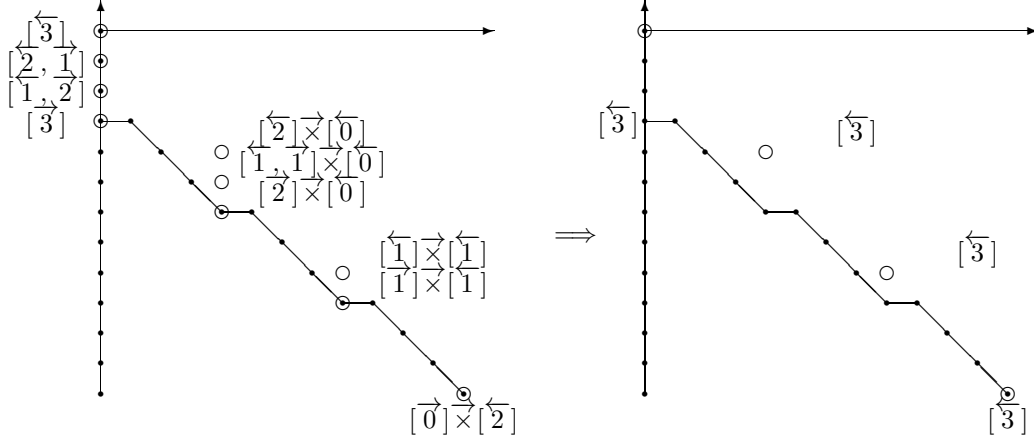


FIGURE 2. Suite spectrale des cycles évanescents

Remarque : dans le traitement des strates de dimension positive, pour montrer que pour tout point géométrique de $\overline{X}_{\mathcal{I}}^{(d-tg)}$, $\text{ind } z^* \mathcal{P}_{\overline{\mathbb{Z}}_l}(t, \pi_v)(-\frac{t(g-1)+k}{2})$ pour $0 \leq k \leq t-1$, sont de la forme $CL_{\overline{\mathbb{Z}}_l}([\overleftarrow{t-1}]_{\pi_v}) \otimes V_{\overline{\mathbb{Z}}_l, D}(\pi_v[t]_D) \otimes V_{\overline{\mathbb{Z}}_l, W}(\pi_v)$ on utilise, pour $k > 0$ les $\overline{\mathbb{Z}}_l$ -isomorphismes induits par les $\overline{\mathbb{Q}}_l$ -flèches non nulles de la suite spectrale de stratification de $\Psi_{\overline{\mathbb{Z}}_l, \mathcal{I}}$ car on sait que l'aboutissement est sans torsion et pour $k = 0$, cela découle de l'hypothèse de récurrence sur le modèle locale et la description des réseaux de $\Psi_{\overline{\mathbb{Z}}_l, F_v, tg}^{tg-1}$.

6.3.3. Remarque. — Quand à la fin de la preuve, on aura montré que toutes les $\overline{\mathbb{Q}}_l$ -flèches non nulles de la suite spectrale de stratification de $\Psi_{\overline{\mathbb{Z}}_l, \mathcal{I}}$ induisent des $\overline{\mathbb{Z}}_l$ -isomorphismes, on en déduira que les $D_{v,d}^\times$ -réseaux des $\text{ind } z^* \mathcal{F}_{\overline{\mathbb{Z}}_l}(s, \pi_v)$ des $h^{t-s} j_{l*}^{\geq tg} HT_{\overline{\mathbb{F}}_l}(\pi_v, \Pi_t)(-\frac{t(g-1)+k}{2})$ avec $0 \leq k \leq t-1$, sont tous isomorphes ; ce sont aussi les réseaux associés aux modèles locaux $\Psi_{\overline{\mathbb{Z}}_l, F_v, d}^{d-s+i}$ avec $0 \leq i \leq s-1$. La dualité locale donne alors que ce réseau est autodual et donc isomorphe à $V_{\overline{\mathbb{Z}}_l, D}(\pi_v[s]_D)$.

En attendant, dans la suite de la preuve, nous ferons comme si tous ces réseaux étaient les mêmes de sorte que les différentes flèches non nulles des suites spectrales étudiées sont données par des scalaires de $\overline{\mathbb{Z}}_l$: vu que nous ne raisonnerons que sur l'action de $GL_d(F_v) \times W_v$, et même parfois uniquement sur l'action de $GL_d(F_v)$ en considérant les sous-quotients irréductibles sans s'intéresser à sa multiplicité dans un groupe de Grothendieck correspondant, cette simplification sera totalement inoffensive.

6.4. Initialisation. — Dans ce paragraphe, on va prouver que pour tout $1 \leq t \leq s$, la fibre en un point supersingulier z de $h^{t-s} j_{l*}^{\geq tg} HT_{\overline{\mathbb{F}}_l}(\pi_v, \Pi_t)$ munie de son action de $GDW_v(d)^0$, est telle que dans le groupe de Grothendieck associé, on ait l'égalité

$$\left[\text{Ind}_{GDW_v(d)^0}^{GDW_v(d)} z^* h^{t-s} j_{l*}^{\geq tg} HT_{\overline{\mathbb{F}}_l}(\pi_v, \Pi_t) \right] = r_l \left(\pi_v[s]_D \otimes \Pi_t \overrightarrow{\times} [\overleftarrow{s-t-1}]_{\pi_v}(-\frac{s-t}{2}) \right)$$

6.4.1. Lemme. — Pour tout $1 \leq t \leq s$, les fibres en un point supersingulier des $h^i j_{l*}^{\geq tg} HT_{\overline{\mathbb{Z}}_l}(\pi_v, \Pi_t)$ sont nulles pour $i < t-s$ et sans torsion pour $i = t-s$.

Démonstration. — On raisonne par récurrence sur t de s à 1. Le cas de $t = s$ étant trivial supposons donc le résultat acquis jusqu'au rang $t+1$ et traitons le cas de t . On considère la fibre

en un point supersingulier de la suite spectrale de stratification de $j_!^{\geq tg} HT_{\mathbb{Z}_l}(\pi_v, \Pi_t)$:

$$E_{\mathbb{Z}_l, !t, 1}^{p,q} = h^{p+q} gr_{\mathbb{Z}_l, !t, -p} \Rightarrow E_{\mathbb{Z}_l, !t, \infty}^{p+q}$$

D'après l'hypothèse de récurrence, pour tout $p > 0$, les fibres en un point supersingulier des $h^i gr_{\mathbb{Z}_l, !t, k}$ sont nulles pour $i \leq t-s$ et sans torsion pour $i = t-s+1$. Le résultat découle alors du fait que la fibre en un point supersingulier de l'aboutissement est nulle. \square

6.4.2. Lemme. — *Pour tout $1 \leq t \leq s$, la fibre en un point supersingulier z de $h^{t-s} j_{!*}^{\geq tg} HT_{\mathbb{F}_l}(\pi_v, \Pi_t)$ munie de son action de $GDW_v(d)^0$, est telle que dans le groupe de Grothendieck associé, l'image de $\text{ind } z^* h^{t-s} j_{!*}^{\geq tg} HT_{\mathbb{F}_l}(\pi_v, \Pi_t)$ est égale à la réduction modulo l soit de*

$$\pi_v[s]_D \otimes \Pi_t \overrightarrow{\times} [\overline{s-t-1}]_{\pi_v} \overleftarrow{\times} \left(-\frac{s-t}{2}\right)$$

soit de

$$\pi_v[s]_D \otimes \Pi_t \overrightarrow{\times} [\overline{s-t-2}]_{\pi_v} \overrightarrow{\times} [\overleftarrow{0}]_{\pi_v} \left(-\frac{s-t}{2}\right)$$

6.4.3. Remarque. — Il faut comprendre cet énoncé avec les restrictions mentionnées à la remarque 6.3.3 : on n'a pas forcément toute la réduction modulo l de $\pi_v[s]_D$. Pour être exact, mais cela alourdirait inutilement les énoncés, il faudrait remplacer la réduction modulo l de $\pi_v[s]_D$ par un sous-quotient de sa réduction modulo l . Dans la suite nous n'utiliserons que les composants π_v -superunipotents pour l'action de $GL_d(F_v)$ sans nous intéresser aux multiplicités de sorte que l'abus d'énoncé fait ici et que nous reproduirons systématiquement est totalement inoffensif.

Démonstration. — On raisonne par récurrence sur t de s à 1. Le cas $t = s$ étant trivial, supposons donc le résultat acquis jusqu'au rang $t+1$ et traitons le cas de t . On considère la suite spectrale d'autodualité

$$E_{\mathbb{Z}_l, D_t, 2}^{p,q} \Rightarrow h^{p+q} j_{!*}^{\geq tg} HT_{\mathbb{Z}_l}(\pi_v^\vee, \Pi_t^\vee)$$

D'après l'hypothèse de récurrence

$$E_{\mathbb{F}_l, D_t, 2}^{i, 2(g-1)+s-t} \simeq h^{i+2g} j_*^{\geq (s-2)g} HT_{\mathbb{F}_l}(\pi_v^\vee, \Pi_t^\vee \overleftarrow{\times} r_l([\overleftarrow{s-t-3}]_{\pi_v})) \otimes \Xi^{(s-t-2)/2}$$

$$E_{\mathbb{F}_l, D_t, 2}^{i, g-1+s-t} \simeq h^{i+g} j_*^{\geq (s-1)g} HT_{\mathbb{F}_l}(\pi_v^\vee, \Pi_t^\vee \overleftarrow{\times} r_l([\overleftarrow{s-t-2}]_{\pi_v})) \otimes \Xi^{(s-t-1)/2}$$

Afin d'étudier ces derniers, on considère la filtration de stratification de $j_*^{\geq (s-2)g} HT_{\mathbb{F}_l}(\Pi_t \overrightarrow{\times} r_l([\overleftarrow{s-t-3}]_{\pi_v}))$ (resp. de $j_*^{\geq (s-1)g} HT_{\mathbb{F}_l}(\Pi_t \overrightarrow{\times} r_l([\overleftarrow{s-t-2}]_{\pi_v}))$), obtenue par dualité à partir de celle des extensions par zéro du §5.2. On renvoie le lecteur à la preuve du lemme (6.5.11) pour plus détails ; on obtient alors que

$$E_{\mathbb{F}_l, D_t, 2}^{-2g, 2(g-1)+s-t} \simeq E_{\mathbb{Z}_l, D_t, 2}^{-2g, 2(g-1)+s-t} \otimes_{\mathbb{Z}_l} \overline{\mathbb{F}_l} \quad (\text{resp. } E_{\mathbb{F}_l, D_t, 2}^{-g, (g-1)+s-t} \simeq E_{\mathbb{Z}_l, D_t, 2}^{-g, g-1+s-t} \otimes_{\mathbb{Z}_l} \overline{\mathbb{F}_l})$$

de sorte que $d_{\mathbb{F}_l, D_t, g}^{-2g, 2(g-1)+s-t}$ est la réduction modulo l de $d_{\mathbb{Z}_l, D_t, g}^{-2g, 2(g-1)+s-t}$. On rappelle que $z^* \mathcal{F}_{\overline{\mathbb{Q}_l}, \tau_v, \mathcal{I}}$ est munie d'une action de $(D_{v,d}^\times)^0$ telle que $\text{Ind}_{(D_{v,d}^\times)^0}^{D_{v,d}^\times} z^* \mathcal{F}_{\overline{\mathbb{Q}_l}, \tau_v, \mathcal{I}} \simeq \tau_v$. Ainsi après application de $\text{Ind}_{(D_{v,d}^\times)^0}^{D_{v,d}^\times}$, $d_{\mathbb{Z}_l, D_t, g}^{-2g, 2(g-1)+s-t}$ est un morphisme équivariant

$$\pi_v[s]_D \otimes \Pi_t \overleftarrow{\times} [\overline{s-t-3}]_{\pi_v} \overleftarrow{\times} [\overleftarrow{1}]_{\pi_v} \longrightarrow \pi_v[s]_D \otimes \Pi_t \overleftarrow{\times} [\overline{s-t-2}]_{\pi_v} \overleftarrow{\times} [\overleftarrow{0}]_{\pi_v}$$

et est donc en utilisant que Π_t est quelconque (ou alors que les strates sont induites), d'après la remarque 6.3.3, déterminée par une homothétie de $\pi_v[s]_D \otimes [\overline{s-t-3}]_{\pi_v} \overleftarrow{\times} [\overleftarrow{1}]_{\pi_v}$, d'où le résultat. \square

6.4.4. Lemme. — *Si pour un point supersingulier z , $\left[\text{Ind}_{(D_{v,d}^\times)^0}^{D_{v,d}^\times} z^* h^{1-s} j_{!*}^{\geq g} HT_{\mathbb{F}_l}(\pi_v, \Pi_1) \right]$ est égale à la réduction modulo l de*

$$\pi_v[s]_D \otimes \Pi_1 \overrightarrow{\times} [\overline{s-t-2}]_{\pi_v} \overrightarrow{\times} [\overleftarrow{0}]_{\pi_v}$$

alors $\left[\text{Ind}_{(D_{v,d}^\times)_0}^{D_{v,d}^\times} z^* R^{d-s} \Psi_{\eta_v}(\overline{\mathbb{F}}_l) \right]$ contient

$$r_l(\pi_v[s]_D) \otimes \left(\overrightarrow{[s-1]}_{\pi_v} + \Pi_v \right) \otimes r_l(\mathcal{L}(\pi_v)\left(-\frac{1-s}{2}\right))$$

où Π_v est une représentation irréductible π_v -superunipotente.

Remarque : cet énoncé est à comprendre avec les précisions des remarques 6.3.3 et 6.4.3.

Démonstration. — L'hypothèse implique que pour tout point supersingulier z , $\left[\text{Ind}_{(D_{v,d}^\times)_0}^{D_{v,d}^\times} z^* E_{\overline{\mathbb{F}}_l, \Psi, 1}^{0,1-s} \right]$ contient la réduction modulo l de

$$\pi_v[s]_D \otimes \overleftarrow{[\overline{0}]}_{\pi_v} \overrightarrow{\times} \overrightarrow{[s-3]}_{\pi_v} \overrightarrow{\times} \overleftarrow{[\overline{0}]}_{\pi_v} \otimes \mathcal{L}(\pi_v)\left(\frac{s-1}{2}\right)$$

de sorte que son image par le foncteur de Jacquet $J_{N_{g,(s-1)g}}$ contient

$$\begin{aligned} \overrightarrow{[\overline{0}]}_{r_l(\pi_v\{\frac{1-s}{2}\})} \otimes \overrightarrow{[s-2]}_{r_l(\pi_v\{1/2\})} + \overleftarrow{[\overline{0}]}_{r_l(\pi_v\{\frac{s-1}{2}\})} \otimes \overrightarrow{[s-2]}_{r_l(\pi_v\{-1/2\})} + \\ \overleftarrow{[\overline{0}]}_{r_l(\pi_v\{\frac{3-s}{2}\})} \otimes \overleftarrow{[\overline{0}]}_{r_l(\pi_v\{\frac{1-s}{2}\})} \times \overrightarrow{[s-3]}_{r_l(\pi_v\{1\})} \end{aligned} \quad (6.4.4)$$

Par ailleurs en raisonnant par récurrence sur g , on en déduit d'après le lemme (6.4.1), que la fibre en un point supersingulier des $E_{\overline{\mathbb{F}}_l, \Psi, 1}^{p,q}$ pour $p > 0$ et $p + q = 2 - s$ est nulle sauf la contribution du gradué égal à la réduction modulo l de $\mathcal{P}_{\overline{\mathbb{Z}}_l}(2, \pi_v)$, contribution qui est alors contenue dans la réduction modulo l de

$$\pi_v[s]_D \otimes \overleftarrow{[\overline{1}]}_{\pi_v} \overrightarrow{\times} \overrightarrow{[s-4]}_{\pi_v} \overrightarrow{\times} \overleftarrow{[\overline{0}]}_{\pi_v} \otimes \mathcal{L}(\pi_v)\left(-\frac{1-s}{2}\right)$$

de sorte que l'image par le foncteur de Jacquet précédent de $\left[E_{\overline{\mathbb{F}}_l, \Psi_{\pi_v, 1}}^{1,1-s} \right]$ est contenue dans la réduction modulo l de la somme suivante

$$\begin{aligned} \overleftarrow{[\overline{0}]}_{\pi_v\{\frac{3-s}{2}\}} \otimes \left(\overleftarrow{[\overline{0}]}_{\pi_v\{\frac{1-s}{2}\}} \times \overrightarrow{[s-3]}_{\pi_v\{1\}} + \overleftarrow{[\overline{0}]}_{\pi_v\{\frac{1-s}{2}\}} \times \overrightarrow{[s-4, \overline{1}]}_{\pi_v\{1\}} \right) + \\ \overleftarrow{[\overline{0}]}_{\pi_v\{\frac{5-s}{2}\}} \otimes \overleftarrow{[\overline{1}]}_{\pi_v\{\frac{2-s}{2}\}} \times \left(\overrightarrow{[s-5, \overline{1}]}_{\pi_v\{3/2\}} + \overrightarrow{[s-4]}_{\pi_v\{3/2\}} \right) + \\ \overleftarrow{[\overline{0}]}_{\pi_v\{\frac{s-1}{2}\}} \otimes \left(\overleftarrow{[\overline{1}, s-3]}_{\pi_v\{-1/2\}} + \overrightarrow{[\overline{2}, s-4]}_{\pi_v\{-1/2\}} \right) \end{aligned} \quad (6.4.5)$$

Comme le premier terme $\overleftarrow{[\overline{0}]}_{\pi_v\{\frac{3-s}{2}\}} \otimes \overrightarrow{[s-2]}_{\pi_v\{1/2\}}$ de (6.4.5) est un constituant de (6.4.4), on ne le considère plus par la suite, ni dans (6.4.4), ni dans (6.4.5). D'après (1.8.4) et (1.8.5), si $\overleftarrow{[\overline{0}]}_{r_l(\pi_v\{\frac{s-1}{2}\})} \otimes \overrightarrow{[s-2]}_{r_l(\pi_v\{-1/2\})}$ est un sous-quotient de la réduction modulo l de (6.4.5) alors c'est un sous-quotient de $\overleftarrow{[\overline{0}]}_{\pi_v\{\frac{5-s}{2}\}} \otimes \overleftarrow{[\overline{1}]}_{\pi_v\{\frac{2-s}{2}\}} \times \overrightarrow{[s-4]}_{\pi_v\{3/2\}}$. L'égalité des supports cuspidaux pour GL_g impose $s-3 \equiv 0 \pmod{\epsilon_l(\pi_v)}$. En raisonnant sur le niveau de Whittaker, il faut en outre que $r_l(\overleftarrow{[\overline{1}]}_{\pi_v\{\frac{2-s}{2}\}})$ ne soit pas irréductible ce qui impose que $\epsilon_l(\pi_v) = 2$ ou alors $\epsilon_l(\pi_v) = 1$ et $m_l(\pi_v) = l = 2$ ce qui est exclu par hypothèse. Ainsi on a $\epsilon_l(\pi_v) = 2$. La contradiction découle alors du fait que l'image de $\overrightarrow{[s-2]}_{r_l(\pi_v\{-1/2\})}$ par le foncteur de Jacquet $J_{N_{g,(s-2)g}}$ est $\overrightarrow{[\overline{0}]}_{r_l(\pi_v\{\frac{1-s}{2}\})} \otimes \dots$ alors que celle de tout constituant de la réduction modulo l de $\overleftarrow{[\overline{1}]}_{\pi_v\{\frac{2-s}{2}\}} \times \overrightarrow{[s-4]}_{\pi_v\{3/2\}}$ est de la forme $\overrightarrow{[\overline{0}]}_{r_l(\pi_v\{\delta\})} \otimes \dots$ avec $\delta - \frac{1-s}{2} \equiv 1 \pmod{\epsilon_l(\pi_v)}$.

Comme l'image par $J_{N_{g,(s-1)g}}$ de $\overrightarrow{[s-1]}_{r_l(\pi_v)}$ est irréductible, on en déduit qu'il existe outre $\overrightarrow{[s-1]}_{r_l(\pi_v)}$, un sous-quotient irréductible de $h^{1-s} \Psi_{\mathcal{I}, \pi_v}(\overline{\mathbb{F}}_l)$ dont l'image par $J_{N_{g,(s-1)g}}$ contient $\overleftarrow{[\overline{0}]}_{r_l(\pi_v\{\frac{s-1}{2}\})} \otimes \overrightarrow{[s-2]}_{r_l(\pi_v\{-1/2\})}$; celle-ci est alors π_v -superunipotente d'où le résultat. \square

6.4.6. Lemme. — *Sous les hypothèses du lemme précédent, $\left[\text{Ind}_{(D_{v,d}^\times)_0}^{D_{v,d}^\times} z^* h^0 \Psi_{\mathcal{I}, \pi_v}(\overline{\mathbb{F}}_l) \right]$ contient $\mathcal{M}(\overleftarrow{[s-1]}_{\pi_v})$ avec une multiplicité strictement supérieure à m_{π_v} .*

Démonstration. — L'espace $\text{ind } z^* h^{1-s} \Psi_{\mathcal{I}, \pi_v}(\overline{\mathbb{F}}_l)$ contient la réduction modulo l de $\text{ind } z^* h^{1-s} \Psi_{\mathcal{I}, \pi_v}(\overline{\mathbb{Z}}_l)$ et donc $r_l(\overline{[s-1]_{\pi_v}})$ avec multiplicité au moins égale à m_{π_v} . Avec les notations du lemme précédent, Π_v fournit au moins un autre constituant π_v -superunipotent (cette fois-ci, d'après les remarques 6.3.3 et 6.4.3, on n'a pas de contrôle précis sur la multiplicité. D'après 6.1.3, on en déduit alors que $\text{ind } z^* h^0 \Psi_{\mathcal{I}, \pi_v}(\overline{\mathbb{F}}_l)$ contient strictement plus de m_{π_v} constituants π_v -superunipotents. Or ceux-ci sont à prendre dans $r_l(\overline{[s-1]_{\pi_v}})$ dont le seul constituant π_v -superunipotent est $I_0(\overline{[s-1]_{\pi_v}})$ d'où le résultat. \square

6.4.7. Proposition. — *Pour tout point supersingulier z , $\left[\text{Ind}_{(D_{v,d}^\times)_0}^{D_{v,d}^\times} z^* h^{1-s} j_{!*}^{\geq g} HT_{\overline{\mathbb{F}}_l}(\pi_v, \Pi_1) \right]$ est égal à la réduction modulo l de*

$$\pi_v[s]_D \otimes \Pi_1 \overrightarrow{\times} \overline{[s-2]_{\pi_v}}$$

Démonstration. — D'après les lemmes précédents, dans le cas contraire $\left[\text{Ind}_{(D_{v,d}^\times)_0}^{D_{v,d}^\times} z^* h^0 \Psi_{\mathcal{I}, \pi_v}(\overline{\mathbb{F}}_l) \right]$ contiendrait $I_0(\overline{[s-1]_{\pi_v}})$ avec une multiplicité strictement supérieure à m_{π_v} , de sorte que d'après (6.1.3), $\left[\text{Ind}_{(D_{v,d}^\times)_0}^{D_{v,d}^\times} z^* h^{1-s} \Psi_{\mathcal{I}, \pi_v}(\overline{\mathbb{F}}_l) \right]$ devrait contenir $\overline{[s-1]_{r_l(\pi_v)}}$ avec une multiplicité strictement supérieure à m_{π_v} alors que dans les termes initiaux, elle n'apparaît qu'avec multiplicité m_{π_v} . \square

6.4.8. Corollaire. — *Pour tout $1 \leq t \leq s$ et pour tout point supersingulier z ,*

$$\left[\text{Ind}_{(D_{v,d}^\times)_0}^{D_{v,d}^\times} z^* h^{t-s} j_{!*}^{\geq tg} HT_{\overline{\mathbb{F}}_l}(\pi_v, \Pi_t) \right]$$

est égal à la réduction modulo l de $\pi_v[s]_D \otimes \Pi_t \overrightarrow{\times} \overline{[s-t-1]_{\pi_v}}$.

Démonstration. — On raisonne par récurrence sur t de 1 à s , le cas $t = 1$ étant donné par la proposition précédente. Supposons donc le résultat acquis jusqu'au rang t et traitons le cas de $t + 1$. On raisonne alors par l'absurde en étudiant la suite spectrale $E_{\overline{\mathbb{F}}_l, !t, 1}^{p,q}$ où $\left[\text{Ind } z^* E_{\overline{\mathbb{F}}_l, !t, 1}^{0, t-s} \right]$ (resp. $\left[\text{Ind } z^* E_{\overline{\mathbb{F}}_l, !t, 1}^{1, t-s} \right]$) est égal à la réduction modulo l de

$$\pi_v[s]_D \otimes \Pi_t \overrightarrow{\times} \overline{[s-t-1]_{\pi_v}} \quad (\text{resp. } \pi_v[s]_D \otimes \Pi_t \overrightarrow{\times} \overline{[0]_{\pi_v}} \overrightarrow{\times} \overline{[s-t-3]_{\pi_v}} \overrightarrow{\times} \overline{[0]_{\pi_v}})$$

alors que $\text{Ind } z^* E_{\overline{\mathbb{F}}_l, !t, 1}^{2, t-s}$ est contenu dans celle de $\pi_v[s]_D \otimes \Pi_t \overrightarrow{\times} \overline{[1]_{\pi_v}} \overrightarrow{\times} \overline{[s-t-4]_{\pi_v}} \overrightarrow{\times} \overline{[0]_{\pi_v}}$. En reprenant la preuve du lemme (6.4.4), on obtient que $I_0(\overline{[s-t-3]_{\pi_v}} \overleftarrow{\times} \overline{[1]_{\pi_v}})$ est un constituant de $\text{Ind } z^* E_{\overline{\mathbb{F}}_l, !t, 1}^{1, t-s}$ et pas de $\text{Ind } z^* E_{\overline{\mathbb{F}}_l, !t, 1}^{2, t-s}$ ni de $\text{Ind } z^* E_{\overline{\mathbb{F}}_l, !t, 1}^{0, t-s}$ de sorte que l'aboutissement ne peut pas être nul, d'où la contradiction. \square

6.5. Hypothèses de récurrence. — Dans le cas général on va raisonner suivant le même fil directeur que dans le paragraphe précédent ; les idées sont exactement les mêmes et les difficultés ne sont que techniques. Le principe de la preuve est de décrire petit à petit les trois suites spectrales précédentes. Commençons par rappeler la description de leur $\overline{\mathbb{Q}}_l$ -version d'après [2].

6.5.1. Proposition. — (cf. [2] 2.2.10) *La suite spectrale de stratification de $\Psi_{\mathcal{I}, \pi_v}(\overline{\mathbb{Q}}_l)$ dégénère. En un point supersingulier z , les seules flèches non nulles sont exactement les*

$$\begin{aligned} \text{Ind } z^* d_{\overline{\mathbb{Q}}_l, \Psi_{\pi_v}, k_{i+1}(i)-k_i(i)}^{k_i(i), 1-s+t-k_i(i)} : \pi_v[s]_D \otimes \overleftarrow{[t-1]_{\pi_v}} \overrightarrow{\times} \overline{[s-t-1]_{\pi_v}} \otimes \mathcal{L}(\pi_v)\left(-\frac{1-s+2i}{2}\right) \longrightarrow \\ \pi_v[s]_D \otimes \overleftarrow{[t]_{\pi_v}} \overrightarrow{\times} \overline{[s-t-2]_{\pi_v}} \otimes \mathcal{L}(\pi_v)\left(-\frac{1-s+2i}{2}\right) \end{aligned} \quad (6.5.2)$$

qui sont, d'après le lemme de Schur, données par des scalaires $\lambda_{\overline{\mathbb{Q}}_l, \Psi_{\pi_v}, t, i} \in \overline{\mathbb{Q}}_l^\times$.

Démonstration. — La liste des flèches non nulles découle de la description d'après [2], de la suite spectrale de monodromie du complexe des cycles évanescents. \square

6.5.3. Proposition. — Pour tout $1 \leq a \leq s$, la suite spectrale de stratification de $j_1^{\geq ag} HT_{\overline{\mathbb{Q}_l}}(\pi_v, \Pi_a)$ dégénère en E_2 . En un point supersingulier z , les flèches non nulles sont exactement les

$$\begin{aligned} \text{Ind } z^* d_{\overline{\mathbb{Q}_l}, !a, 1}^{t, a-s} : \pi_v[s]_D \otimes \Pi_a \overrightarrow{\times} [\overleftarrow{t-1}]_{\pi_v} \overrightarrow{\times} [\overleftarrow{s-a-t-1}]_{\pi_v} \\ \longrightarrow \pi_v[s]_D \otimes \Pi_a \overrightarrow{\times} [\overleftarrow{t}]_{\pi_v} \overrightarrow{\times} [\overleftarrow{s-a-t-2}]_{\pi_v} \end{aligned} \quad (6.5.4)$$

qui d'après le lemme de Schur, sont données par un scalaire $\lambda_{\overline{\mathbb{Q}_l}, !a, t} \in \mathbb{Q}_l^\times$.

Démonstration. — Cela découle directement de la description [2] 2.2.5, des faisceaux de cohomologies des $\mathcal{P}(a, \pi_v)$ pour tout $1 \leq a \leq g$ et du fait que l'aboutissement de la suite spectrale est nulle. \square

6.5.5. Proposition. — Pour tout $1 \leq a \leq s$, la suite spectrale de dualité dégénère en E_{g+1} . En un point supersingulier z , les flèches non nulles sont exactement les

$$\begin{aligned} \text{Ind } z^* d_{\overline{\mathbb{Q}_l}, Dk, g}^{-ag-r, s-k+a(g-1)} : \pi_v[s]_D \otimes (\Pi_k^\vee \overleftarrow{\times} [\overleftarrow{s-k-a-1}]_{\pi_v^\vee} \overleftarrow{\times} [\overleftarrow{a-r-1}]_{\pi_v^\vee} \overrightarrow{\times} [\overleftarrow{r-1}]_{\pi_v^\vee} (-\frac{s-1-2r}{2})) \\ \longrightarrow \pi_v[s]_D \otimes (\Pi_k^\vee \overleftarrow{\times} [\overleftarrow{s-k-a}]_{\pi_v^\vee} \overleftarrow{\times} [\overleftarrow{a-r-2}]_{\pi_v^\vee} \overrightarrow{\times} [\overleftarrow{r-1}]_{\pi_v^\vee} (-\frac{s-1-2r}{2})) \end{aligned} \quad (6.5.6)$$

qui d'après le lemme de Schur, sont données par des scalaires $\lambda_{\overline{\mathbb{Q}_l}, Dk, a, r} \in \mathbb{Q}_l^\times$, avec $0 < a \leq s-k$ et $0 \leq r \leq a$.

Démonstration. — Le résultat découle de la description des faisceaux de cohomologies des $R^i j_*^{\geq ag} HT_{\overline{\mathbb{Q}_l}}(\pi_v, \Pi_t)$ donnée dans [2] et du fait que l'aboutissement de la suite spectrale pour $p+q \geq 0$ est nul. \square

Remarque : quand comme dans la remarque 5.1.6, la filtration provient du modèle entier, ce que nous utiliserons par la suite, la dégénérescence n'intervient pas à l'indice indiqué dans les énoncés précédents; la formulation correcte est alors fastidieuse à énoncer ce que nous nous garderons de faire. Par ailleurs avec les précisions des remarques 6.3.3 et 6.4.3, les résultats du §6.3, avec les structures entières induites par $\Psi_{\overline{\mathbb{Z}_l}, \mathcal{I}}$, les scalaires associés aux flèches non nulles ci-dessus, appartiennent à $\overline{\mathbb{Z}_l}$. Le but de ce paragraphe est alors de montrer que :

- les termes des suites spectrales sur $\overline{\mathbb{F}_l}$ sont la réduction modulo l de ceux sur $\overline{\mathbb{Q}_l}$;
- les valuations des scalaires précédents sont nulles.

Pour cela on raisonne par récurrence sur t de 0 à $\lfloor \frac{s}{2} \rfloor$ sur les hypothèses suivantes :

- $HR_t(E_{\overline{\mathbb{F}_l}, \Psi_{\pi_v}, 1})$: pour tout $0 \leq r \leq t$, la fibre en un point supersingulier de $E_{\overline{\mathbb{F}_l}, \Psi_{\pi_v}, 1}^{p, q}$ avec $p+q = 1-s+r$ (resp. $p+q = -r$) est la réduction modulo l de $E_{\overline{\mathbb{Q}_l}, \Psi_{\pi_v}, 1}^{p, q}$;
- $HR_t(E_{\overline{\mathbb{F}_l}, \Psi_{\pi_v}, \infty})$: $HR_t(E_{\overline{\mathbb{F}_l}, \Psi_{\pi_v}, 1})$ est vérifiée et en outre pour $p+q = t-s$, avec les nuances mentionnées dans les remarques 6.3.3 et 6.4.3, on est dans la situation de 2.2.4, i.e. les scalaires non nuls associés aux applications $\text{Ind } z^* d_{\overline{\mathbb{Q}_l}, \Psi_{\pi_v}, 1}^{p, q}$, pour tout point supersingulier z , sont de valuation nulle dans $\overline{\mathbb{Z}_l}$;
- $HR_t(E_{\overline{\mathbb{F}_l}, D_a, 2})$: pour tout point supersingulier z , $[\text{Ind } z^* E_{\overline{\mathbb{F}_l}, D_a, 2}^{p, q}]$ est :
 - nulle pour $(p, q) = (0, s-a-r)$ avec $1 \leq r \leq t$ et égale à la réduction modulo l de

$$\pi_v[s]_D \otimes \Pi_a^\vee \overleftarrow{\times} [\overleftarrow{s-1-a}]_{\pi_v^\vee} (-\frac{s-a}{2})$$

pour $r = 0$;

- pour $q = s-a+k(g-1)$ et $p = -kg-r$ avec $1 \leq k \leq s-a$ et $0 \leq r \leq \min(t, k)$, égale à la réduction modulo l de

$$\pi_v[s]_D \otimes (\Pi_a^\vee \overleftarrow{\times} [\overleftarrow{s-k-a-1}]_{\pi_v^\vee} \overleftarrow{\times} [\overleftarrow{k-r-1}]_{\pi_v^\vee} \overrightarrow{\times} [\overleftarrow{r-1}]_{\pi_v^\vee} (-\frac{s-a-2r}{2}))$$

avec la convention habituelle $\Pi \overleftrightarrow{\times} [\overleftarrow{-1}]_{\pi_v} := \Pi$;

- $HR_t(E_{\mathbb{F}_l, D_a, g+1}) : HR_t(E_{\mathbb{F}_l, D_a, 2})$ est vraie et pour $(p, q) = (-kg - r, s - a + k(g - 1))$ avec $k > 1$ et $0 \leq r \leq \min(t, k)$ (resp. $k = 1$ et $r = 0$), et $k + r = t + 2$, avec les nuances mentionnées dans les remarques 6.3.3 et 6.4.3, on est dans la situation de 2.2.4 où le scalaire de $\overline{\mathbb{Z}}_l$ associé à $\text{Ind } z^* d_{\mathbb{Q}_l, D_a, g}^{p, q}$ est de valuation nulle ce qui revient à demander que $\left[\text{Ind } z^* d_{\mathbb{F}_l, D_a, g}^{p, q} \right]$ est égale à la réduction modulo l de

$$\pi_v[s]_D \otimes \left(\Pi_a^\vee \overleftarrow{\times} [\overleftarrow{k - r - 1}, \overleftarrow{s - k - a}]_{\pi_v^\vee} \right) \overrightarrow{\times} [\overrightarrow{r - 1}]_{\pi_v^\vee} \quad (\text{resp. } \pi_v[s]_D \otimes \Pi_a^\vee \overleftarrow{\times} [\overleftarrow{s - a - 1}]_{\pi_v^\vee})$$

- $HR_t(E_{\mathbb{F}_l, !a, 1})$: pour tout $p \geq 0$, $a - s \leq q \leq \min\{a - s + t, -p\}$ ou $\max\{-p - t, a - s\} \leq q \leq -p$ et pour tout point supersingulier z , $\left[\text{Ind } z^* E_{\mathbb{F}_l, !a, 1}^{p, q} \right]$ est égale à la réduction modulo l de $\text{Ind } z^* E_{\mathbb{Q}_l, !a, 1}^{p, q}$, i.e. nulle pour $a - s < q \leq a - s + t$ ou $-t - p \leq q \leq -p$; pour $q = a - s$, elle est égale à la réduction modulo l de

$$\pi_v[s]_D \otimes \Pi_a \overrightarrow{\times} [\overrightarrow{r - 1}]_{\pi_v} \overrightarrow{\times} [\overrightarrow{s - 1 - a - r}]_{\pi_v}$$

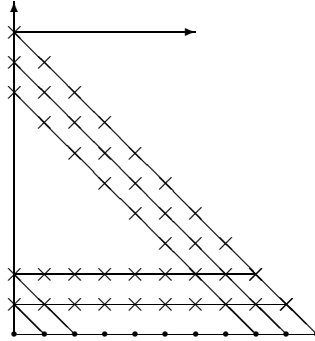


FIGURE 3.

- $HR_t(E_{\mathbb{F}_l, !a, 2})$: l'hypothèse $HR_t(E_{\mathbb{F}_l, !a, 1})$ est vérifiée et pour tout $0 \leq r \leq t$, avec les nuances mentionnées dans les remarques 6.3.3 et 6.4.3, on est dans la situation de 2.2.4 où les scalaires de $\overline{\mathbb{Z}}_l$ associés à $\text{Ind } z^* d_{\mathbb{Q}_l, !a, 1}^{r, a-s}$ et $\text{Ind } z^* d_{\mathbb{Q}_l, !a, 1}^{s-a-r, a-s}$ sont de valuation nulle ce qui revient à demander que $\left[\text{Ind } z^* d_{\mathbb{F}_l, !a, 1}^{r, a-s} \right]$ (resp. $\left[\text{Ind } z^* d_{\mathbb{F}_l, !a, 1}^{s-a-r, a-s} \right]$) est égale à la réduction modulo l de

$$\pi_v[s]_D \otimes \Pi_a \overrightarrow{\times} [\overrightarrow{r}, \overrightarrow{s - 1 - a - r}]_{\pi_v}$$

$$(\text{resp. } \pi_v[s]_D \otimes \Pi_a \overrightarrow{\times} [\overrightarrow{r}, \overrightarrow{s - a - r - 1}]_{\pi_v})$$

6.5.7 — Avant de passer aux premiers lemmes, notons les faits élémentaires suivants :

- Les fibres en un point supersingulier de $E_{\mathbb{F}_l, !t, 1}^{p, q}$ sont nulles pour $p + q < t - s$ ou $p + q > 0$.

Démonstration. — Le cas $p + q > 0$ est évidemment direct pour des raisons de dimension cependant afin d'avoir une preuve qui s'adapte au cas où on travaille en un point de $\overline{X}_Z^{(d-s_0g)}$ avec $s_0 < s$, cf. la remarque (6.2.1), on n'utilisera pas cet argument mais on raisonnera par récurrence sur t de s_0 à 1. Le cas $t = s_0$ découle alors du fait que $j_1^{\geq s_0g} HT_{\mathbb{F}_l}(\pi_v, \Pi_{s_0})$ est égal à $j_{1*}^{\geq s_0g} HT_{\mathbb{F}_l}(\pi_v, \Pi_{s_0})$ modulo des faisceaux pervers à supports dans $\overline{X}_Z^{[d-s_0g-1]}$. Supposons alors le résultat acquis jusqu'au rang $t + 1$ et traitons le cas de t . D'après l'hypothèse de récurrence, pour $p > 0$ et pour tout $p + q > 0$ ou $p + q \leq t - s$, la fibre en un point supersingulier de $E_{\mathbb{F}_l, !t, 1}^{p, q}$ est nulle. Le résultat découle alors du fait que la fibre en un point supersingulier de l'aboutissement de cette suite spectrale est nulle. \square

- Du tiret précédent et de la description des $gr_{\mathbb{F}_l, \Psi_{\pi_v, k}}$ donnée au §5.3, on en déduit que les fibres en un point supersingulier de $E_{\mathbb{F}_l, \Psi_{\pi_v, 1}}^{p, q}$ sont nulles pour $p + q > 0$ ou $p + q < 1 - s$.

- De la connaissance par récurrence des faisceaux de cohomologie de $j_{1*}^{\geq tg} HT_{\mathbb{F}_l}(\pi_v, \Pi_t)$ hors des points supersinguliers, on en déduit que les fibres en un point supersingulier de $E_{\mathbb{F}_l, D_k, 2}^{p, q}$ sont nulles pour (p, q) qui n'est pas de la forme $(0, s - k - r)$ avec $0 \leq r < s - k$ ou si q n'est pas de la forme $s - k + a(g - 1)$.
- Pour tout $2 \leq r < g$, les $d_{\mathbb{F}_l, D_k, r}^{p, q}$ sont nuls. Par ailleurs sous $HR_t(E_{\mathbb{F}_l, D_k, g+1})$, pour tout $0 \leq r \leq t$, la fibre en un point supersingulier de $E_{\mathbb{F}_l, D_k, g}^{p, q}$ pour $s - k - t \leq r \leq s - k$, est nulle tandis que pour $p + q = s - k - t - 1$, $[\text{Ind } z^* E_{\mathbb{F}_l, D_k, g}^{p, q}]$ pour $q = s - k + a(g - 1)$ et $p = -ag - r$ avec $r = t + 1 - a \geq -1$, est égale à la réduction modulo l de⁽⁴⁾

$$\pi_v[s]_D \otimes (\Pi_k^\vee \overleftarrow{\times} [\overleftarrow{2a - t - 1}, \overleftarrow{s - k - a - 1}]_{\pi_v^\vee}) \overrightarrow{\times} [\overleftarrow{r - 1}]_{\pi_v^\vee}$$

avec la convention que si ce n'est pas défini alors c'est nul.

6.5.8. Lemme. — Pour tout $t \geq 0$, on a l'implication $HR_t(E_{\mathbb{F}_l, !, a, 1}) \Rightarrow HR_t(E_{\mathbb{F}_l, !, a, 2})$

Démonstration. — Cela découle simplement du fait que la fibre en tout point supersingulier de $E_{\mathbb{F}_l, !, a, \infty}^n$ est nulle pour tout n puisque c'est celle du n -ième faisceau de cohomologie de l'extension par zéro d'un faisceau à support sur la strate \overline{X}^{-ag} . \square

6.5.9. Lemme. — Pour tout $t \geq 0$, on a l'implication $HR_t(E_{\mathbb{F}_l, !, 1, 1}) \Rightarrow HR_t(E_{\mathbb{F}_l, !, a, 1}) \forall 1 \leq a \leq s$.

Démonstration. — Cela découle directement de la description des $gr_{\mathbb{F}_l, !, a, k}$. \square

6.5.10. Lemme. — Pour tout $t \geq 1$, on a l'équivalence $\forall 1 \leq a \leq s \ HR_t(E_{\mathbb{F}_l, !, a, 1}) \Leftrightarrow HR_t(E_{\mathbb{F}_l, \Psi_{\pi_v}, 1})$.

Démonstration. — Cela découle directement de l'écriture des gradués $gr_{\mathbb{F}_l, \Psi_{\pi_v}, k}$. \square

6.5.11. Lemme. — $\forall t_0 \leq a \leq s \ HR_t(E_{\mathbb{F}_l, !, a, 1}) \Rightarrow HR_t(E_{\mathbb{F}_l, D_a, 2}) \forall t_0 \leq a \leq s$

Démonstration. — Il s'agit de montrer que pour tout $t_0 \leq a \leq s$, on a

$$h^{-r} Rj_*^{\geq ag} HT_{\mathbb{F}_l}(\pi_v, \Pi_a) = h^{-r} Rj_*^{\geq ag} HT_{\mathbb{Z}_l}(\pi_v, \Pi_a) \otimes_{\mathbb{Z}_l} \overline{\mathbb{F}_l}$$

pour tout $0 \leq r \leq a$. On considère la filtration de $Rj_*^{\geq ag} HT_{\mathbb{F}_l}(\pi_v, \Pi_a)$ obtenue à partir de la filtration de stratification de $j_{1*}^{\geq ag} HT_{\mathbb{F}_l}(\pi_v, \Pi_a)$ en appliquant la dualité de Verdier. Ainsi pour tout $r \geq 0$, son gradué $gr_{*, r}$ est égal à $j_{1*}^{\geq (a+r)g} HT_{\mathbb{F}_l}(\pi_v, \Pi_a \overrightarrow{\times} [\overleftarrow{r - 1}]_{\pi_v}) \otimes \Xi^{r/2}$. Pour tout $a \leq t \leq s$, d'après $HR_t(E_{\mathbb{F}_l, !, a', 1})$ pour tout $a \leq a' \leq s$, les fibres en tout point géométrique de $\overline{X}_{\mathcal{I}}^{(d-h)}$ des $h^i j_{1*}^{\geq (a+r)g} HT_{\mathbb{F}_l}(\pi_v, \Pi_a \overrightarrow{\times} [\overleftarrow{r - 1}]_{\pi_v})$ sont nulles

- pour tout i si h n'est pas de la forme $(a + r + b)g$;
- pour tout $i \neq h - d - b$ pour $h = (a + r + b)g$.

On remarque alors que dans la suite spectrale $E_1^{p, q} = h^{p+q} gr_{*, -p} \Rightarrow h^{p+q} Rj_*^{\geq ag} HT_{\mathbb{F}_l}(\pi_v, \Pi_a)$, les $d_r^{p, q}$ sont forcément nulles, d'où le résultat. \square

6.5.12 — Détermination des aboutissements : il s'agit de décrire complètement les différentes suites spectrales en précisant en particulier les réseaux associés aux représentations de Steinberg généralisées pour $p + q = 0$. Dans un premier temps nous allons déterminer les différents aboutissements repoussant à plus tard la détermination des réseaux pour $p + q = 0$.

6.5.13. Proposition. — $HR_{[\frac{s}{2}] - 1}(E_{\mathbb{F}_l, \Psi_{\pi_v}, \infty}) \Rightarrow (4.3.1)$ et les $U_{F_v, \mathbb{Z}_l, d}^i$ sont sans torsion.

⁽⁴⁾cf. la figure (5)

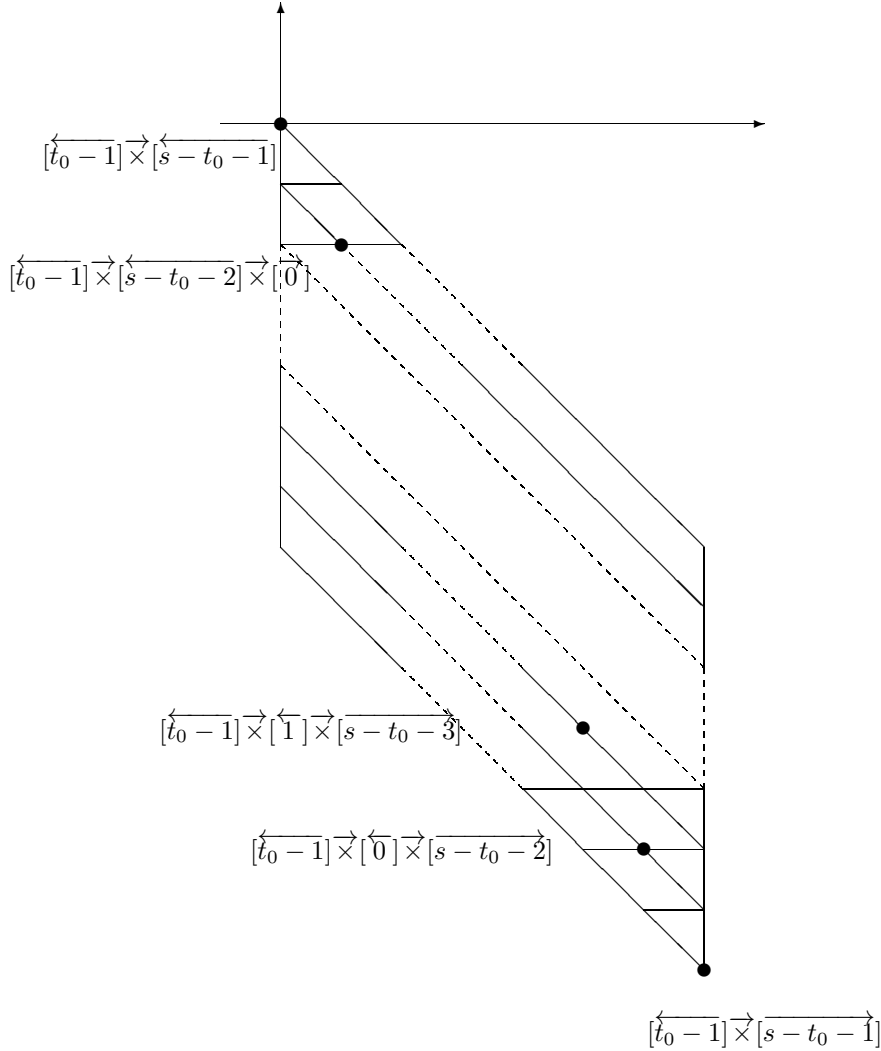


FIGURE 4. Germes en un point supersingulier des $E_1^{p,q} = h^{p+q} gr_{*, -p}$

Démonstration. — Sous $HR_t(E_{\mathbb{F}_l, \Psi_{\pi_v, 1}})$, si pour tout $0 \leq r < t$, les scalaires non nuls associés à $d_{\mathbb{Q}_l, \Psi_{\pi_v, 1}}^{p,q}$ pour $p+q = 1-s+r$, sont de valuation non nulle, alors $E_{\mathbb{F}_l, \Psi_{\pi_v, 2}}^{p,q}$ est la réduction modulo l de $E_{\mathbb{Q}_l, \Psi_{\pi_v, 2}}^{p,q}$ et, en reprenant la numérotation simplifiée des gradués suggérée par la remarque (5.3.3), pour tout $0 \leq k \leq t$, $[\text{Ind } z^* d_{\mathbb{F}_l, \Psi_{\pi_v, 1}}^{t-1-2k, 1-s+2k}]$ est égale à la réduction modulo l de

$$\pi_v[s]_D \otimes \overleftarrow{[t-1, s-t]}_{\pi_v} \otimes \mathcal{L}(\pi_v)\left(-\frac{1-s+2k}{2}\right).$$

En particulier on en déduit alors que pour tout $1-s \leq p+q \leq t-s$, $[E_{\mathbb{F}_l, \Psi_{\pi_v, \infty}}^{p+q}]$ est égale à la réduction modulo l de sa $\overline{\mathbb{Q}_l}$ -version. D'après (6.1.3), on en déduit alors que les parties π_v -superunipotentes de $E_{\mathbb{F}_l, \Psi_{\pi_v, \infty}}^{p+q}$ avec $1-t \leq p+q \leq 0$ sont celles obtenues à partir de la $\overline{\mathbb{Q}_l}$ -version par réduction modulo l : montrons alors que $[E_{\mathbb{F}_l, \Psi_{\pi_v, 2}}^{p+q}]$ est égale à la réduction modulo l de sa $\overline{\mathbb{Q}_l}$ -version. En raisonnant par récurrence, il suffit de traiter le cas $p+q = 1-t$ et de montrer que le scalaire associé à $\text{Ind } z^* d_{\mathbb{Q}_l, \Psi_{\pi_v, 1}}^{t-s+1, s-2t-1}$ est de valuation non nulle. Dans le cas

contraire on en déduirait que $\left[\text{Ind } z^* E_{\mathbb{F}_l, \Psi_{\pi_v, j}}^{t-s+2, s-2t-1} \right]$, pour tout $j \geq 2$, serait égale à la réduction modulo l de $\pi_v[s]_D \otimes \overleftarrow{[s-t, t-1]}_{\pi_v} \otimes \mathcal{L}(\pi_v(\frac{s-1-2t}{2}))$; la contradiction découle alors du fait que $I_0(\overleftarrow{[s-t, t-1]}_{\pi_v})$ est un constituant π_v -superunipotent.

Supposons donc $HR_{\lfloor \frac{s}{2} \rfloor - 1}(E_{\mathbb{F}_l, \Psi_{\pi_v, \infty}})$ ce qui implique $HR_{\lfloor \frac{s}{2} \rfloor - 1}(E_{\mathbb{F}_l, \Psi_{\pi_v, 1}})$ et donc $HR_{\lfloor \frac{s}{2} \rfloor - 1}(E_{\mathbb{F}_l, !a, 1})$ pour tout $1 \leq a \leq s$. Par un argument de somme alternée on en déduit alors que les $h^i j_!^{\geq tg} HT_{\mathbb{Z}_l}(\pi_v, \Pi_t)$ sont sans torsion pour tout i ce qui implique $HR_{\lfloor \frac{s}{2} \rfloor}(E_{\mathbb{F}_l, \Psi_{\pi_v, 1}})$. Il reste alors à montrer que le scalaire associé à $\text{Ind } z^* d_{\mathbb{Q}_l, \Psi_{\pi_v, 1}}^{-\lfloor \frac{s}{2} \rfloor, 1-s+2\lfloor \frac{s}{2} \rfloor}$ est de valuation nulle. Dans le cas contraire pour $s \equiv 1 \pmod{2}$ (resp. $s \equiv 0 \pmod{2}$), $I_0(\overleftarrow{[\lfloor \frac{s}{2} \rfloor, s - \lfloor \frac{s}{2} \rfloor - 1]}_{\pi_v})$ serait un constituant de $E_{\mathbb{F}_l, \Psi_{\pi_v, \infty}}^{\lfloor \frac{s}{2} \rfloor - s}$ de sorte que d'après (6.1.3), $I_0(\overleftarrow{[s - \lfloor \frac{s}{2} \rfloor - 1, \lfloor \frac{s}{2} \rfloor]}_{\pi_v})$ serait un constituant de $E_{\mathbb{F}_l, \Psi_{\pi_v, \infty}}^{1 - \lfloor \frac{s}{2} \rfloor}$. Or les constituants de ce dernier sont à prendre parmi la réduction modulo l de $\overleftarrow{[\lfloor \frac{s}{2} \rfloor + 1, s - \lfloor \frac{s}{2} \rfloor - 2]}_{\pi_v}$ (resp. $\overleftarrow{[\lfloor \frac{s}{2} \rfloor, s - \lfloor \frac{s}{2} \rfloor - 1]}_{\pi_v}$); la contradiction découle alors du fait que $I_0(\overleftarrow{[s - \lfloor \frac{s}{2} \rfloor - 1, \lfloor \frac{s}{2} \rfloor]}_{\pi_v})$ n'est pas isomorphe à $I_0(\overleftarrow{[\lfloor \frac{s}{2} \rfloor + 1, s - \lfloor \frac{s}{2} \rfloor - 2]}_{\pi_v})$ (resp. $I_0(\overleftarrow{[\lfloor \frac{s}{2} \rfloor, s - \lfloor \frac{s}{2} \rfloor - 1]}_{\pi_v})$) car s étant impair (resp. pair) $s - \lfloor \frac{s}{2} \rfloor - 1 \neq \lfloor \frac{s}{2} \rfloor + 1$ (resp. $s - \lfloor \frac{s}{2} \rfloor - 1 \neq \lfloor \frac{s}{2} \rfloor$). \square

Remarque : dans la suite on suppose $s \geq 4$; car on a déjà calculé $E_{\mathbb{F}_l, \Psi_{\pi_v, \infty}}^{1-s}$ et donc d'après (6.1.3) $E_{\mathbb{F}_l, \Psi_{\pi_v, \infty}}^0$ ce qui est tout pour $s = 2$ et pour $s = 3$, par un argument de somme alternée, on obtient le cas de $E_{\mathbb{F}_l, \Psi_{\pi_v, \infty}}^{-1}$.

7. Hypothèses de récurrence entières sur les suites spectrales de

7.1. stratification de l'extension par zéro. — Remarquons déjà que d'après le paragraphe (6.4), $HR_0(E_{\mathbb{F}_l, !a, 1})$ est vraie pour tout $1 \leq a \leq s$. On considère la filtration de stratification de $j_!^{\geq ag} HT_{\mathbb{Z}_l}(\pi_v, \Pi_a)[d - ag]$: a priori, on ne connaît de ses gradués que leur partie libre en tant que \mathbb{Z}_l -module. Ainsi, d'après (5.1.3), il existe

$$0 = k_a(0) < k_a(1) < \dots < k_a(s-a) < k_a(s-a+1) = +\infty$$

tels que pour tout $1 \leq r \leq s-a$, $gr_{\mathbb{Z}_l, !a, -k_a(r)}$ soit égal à $j_{!*}^{\geq (a+r)g} HT_{\mathbb{Z}_l}(\pi_v, \Pi_a \overleftarrow{\times} [r-1]_{\pi_v}) \otimes \Xi^{-r/2}$ et que pour tout i tel qu'il existe $0 \leq r < s-a$ tel que $k_a(r) < i < k_a(r+1)$, alors $gr_{\mathbb{Z}_l, !a, i}$ est à support dans l'ensemble des points supersinguliers de sorte que ses faisceaux de cohomologies sont nuls sauf pour h^0 .

Remarque : par réduction modulo l dans la catégorie dérivée, on obtient une filtration de stratification de $j_!^{\geq ag} HT_{\mathbb{F}_l}(\pi_v, \Pi_a)$ avec certains gradués nuls, cf. la remarque 5.1.6. Habituellement, on n'écrit pas les gradués nuls, ce qui peut poser un problème « visuel » quand on dira que $d_{\mathbb{F}_l, 1}^{t, a-s}$ est la réduction modulo l de $d_{\mathbb{Z}_l, k_a(t+1) - k_a(t)}^{k_a(t), a-s+t - k_a(t)}$.

On considère alors la fibre en un point supersingulier de la suite spectrale

$$E_{\mathbb{Z}_l, !a, 1}^{p, q} \Rightarrow E_{\mathbb{Z}_l, !a, \infty}^{p+q}$$

dont la fibre en tout point supersingulier de l'aboutissement est nulle. D'après [2], on sait que, pour tout $0 \leq r \leq s-a$, les fibres aux points supersinguliers des $E_{\mathbb{Z}_l, !a, 1}^{k_a(r), i - k_a(r)}$ sont de torsion si $i \neq a+r-s$. On définit alors les hypothèses suivantes :

- $HR_t(E_{\mathbb{Z}_l, !a, 1})$: pour tout $0 \leq r \leq s-a$, la torsion de la fibre en un point supersingulier de $E_{\mathbb{Z}_l, !a, 1}^{k_a(r), i - k_a(r)}$ est nulle pour tout $i \leq a+r-s+t+1$ et $i \geq -t$;
- $HR_t(E_{\mathbb{Z}_l, !a, \infty})$: $HR_t(E_{\mathbb{Z}_l, !a, 1})$ est vérifiée et pour tout $0 \leq r \leq t+1$ (resp. $0 \leq r \leq t$), le conoyau de $d_{\mathbb{Z}_l, !a, k_a(r+1) - k_a(r)}^{k_a(r), a+r-s - k_a(r)}$ (resp. de $d_{\mathbb{Z}_l, !a, k_a(s-a-r) - k_a(s-a-r+1)}^{k_a(s-a-r), -r - k_a(s-a-r)}$) est sans torsion.

En utilisant que la fibre en tout point supersingulier de l'aboutissement de la suite spectrale ci-dessus, est nulle on montre comme précédemment le lemme suivant.

7.1.1. Lemme. — Pour tout $t \geq 0$, $HR_t(E_{\mathbb{Z}_l, !, a, 1}) \Rightarrow HR_t(E_{\mathbb{Z}_l, !, a, \infty})$

De la suite exacte courte

$$0 \rightarrow E_{\mathbb{Z}_l, !, a, 1}^{p, q} \otimes_{\mathbb{Z}_l} \overline{\mathbb{F}}_l \longrightarrow E_{\mathbb{F}_l, !, a, 1}^{p, q} \longrightarrow (E_{\mathbb{Z}_l, !, a, 1}^{p, q+1})_{l\text{-tor}} \rightarrow 0$$

on en déduit le lemme suivant.

7.1.2. Lemme. — Pour tout $t \geq 0$, $HR_t(E_{\mathbb{F}_l, !, a, 1}) \Leftrightarrow HR_t(E_{\mathbb{Z}_l, !, a, 1})$.

En utilisant la fonctorialité de la filtration de stratification, on a la proposition suivante.

7.1.3. Proposition. — Pour $t > 0$, soit $a_0 < s$ tel que pour tout $a_0 < a \leq s$, $HR_t(E_{\mathbb{F}_l, !, a, 1})$ soit vérifiée et que $HR_{t-1}(E_{\mathbb{F}_l, !, a_0, 1})$ soit vérifiée. Alors pour tout point supersingulier z , $\left[\text{Ind } z^* E_{\mathbb{F}_l, !, a_0, 1}^{0, a_0-s+t} \right]$ (resp. $\left[\text{Ind } z^* E_{\mathbb{F}_l, !, a_0, 1}^{0, -t} \right]$) est soit nulle soit égale à la réduction modulo l de

$$\begin{aligned} & \pi_v[s]_D \otimes \Pi_{a_0} \overrightarrow{\times} \left[\overleftarrow{t+1}, \overleftarrow{s-a_0-t-2} \right]_{\pi_v} \otimes \Xi^{-(s-a_0)/2} \\ & \text{(resp. } \pi_v[s]_D \otimes \Pi_{a_0} \overrightarrow{\times} \left[\overleftarrow{s-a_0-t-1}, \overleftarrow{t} \right]_{\pi_v} \otimes \Xi^{-(s-a_0)/2} \end{aligned}$$

Remarque : cet énoncé est à prendre comme précédemment avec les nuances mentionnées aux remarques 6.3.3 et 6.4.3.

Démonstration. — D'après $HR_t(E_{\mathbb{Z}_l, !, a_0, \infty})$, le conoyau de $d_{\mathbb{Z}_l, !, a_0, k_{a_0}(t+1)-k_{a_0}(t)}^{k_{a_0}(t), a_0-s+t-k_{a_0}(t)}$ est sans torsion de sorte que $\left[\text{Ind } z^* d_{\mathbb{F}_l, !, a_0, t, 1}^{t, a_0-s} \right]$ est égale à la réduction modulo l de

$$\pi_v[s]_D \otimes \Pi_{a_0} \overrightarrow{\times} \left[\overleftarrow{t}, \overleftarrow{s-a_0-t-1} \right]_{\pi_v} \otimes \Xi^{-(s-a_0)/2}$$

Le résultat découle alors du fait que, les strates étant induites, d'après le lemme de Schur, $\text{Ind } z^* d_{\mathbb{Z}_l, !, a_0, k_{a_0}(t+2)-k_{a_0}(t+1)}^{k_{a_0}(t+1), a_0-s+t+1-k_{a_0}(t+1)}$, en tant qu'endomorphisme de

$$\pi_v[s]_D \otimes \Pi_{a_0} \overrightarrow{\times} \left[\overleftarrow{t+1}, \overleftarrow{s-a_0-t-2} \right]_{\pi_v} \otimes \Xi^{-(s-a_0)/2}$$

est donné par un scalaire, de sorte que $d_{\mathbb{F}_l, !, a_0, 1}^{t+1, a_0-s+t+1}$ est soit nul soit un isomorphisme. Le cas resp se prouve de manière similaire. \square

Remarque : l'hypothèse $HR_1(E_{\mathbb{F}_l, !, 1, 1})$ implique que dans la filtration de stratification de $j_!^{\geq a_0} HT_{\mathbb{Z}_l}(\pi_v, \Pi_a)$, il n'y a pas de faisceau pervers de torsion concentré aux points supersinguliers de sorte que pour tout $1 \leq a \leq s$, et pour tout $0 \leq r \leq s-a$, $k_a(r) = r$. Par ailleurs le lecteur notera que même pour prouver le cas de $t = 1$, supposer que les $k_a(r)$ sont égaux à r ne nuit pas à la rigueur du raisonnement de sorte que désormais nous le supposons.

7.2. stratification des cycles évanescents. — On étudie la structure entière de la suite spectrale de stratification du faisceau pervers des cycles évanescents.

7.2.1. Proposition. — $HR_t(E_{\mathbb{F}_l, !, 1, 1}) \Rightarrow HR_t(E_{\mathbb{F}_l, \Psi_{\pi_v}, \infty})$.

Démonstration. — En raisonnant par récurrence, i.e. en utilisant l'implication $HR_{t-1}(E_{\Psi_{\pi_v}, 1}) \Rightarrow HR_{t-1}(E_{\Psi_{\pi_v}, \infty})$, il suffit de montrer que⁽⁵⁾, pour tout $0 \leq k \leq t$ (resp. $0 \leq k \leq s-t-2$), et pour

⁽⁵⁾On utilise ici la simplification mentionnée à la remarque (5.3.3).

tout point supersingulier z , l'image de $\text{Ind } z^* d_{\overline{\mathbb{F}}_l, \Psi_{\pi_v, 1}}^{t-2k, 1-s+2k}$ (resp. $\text{Ind } z^* d_{\overline{\mathbb{F}}_l, \Psi_{\pi_v, 1}}^{s-t-1-2k, 1-s+2k}$) est, dans le groupe de Grothendieck correspondant, égale à la réduction modulo l de

$$\begin{aligned} & \pi_v[s]_D \otimes [\overleftarrow{t+1}, \overrightarrow{s-t-2}]_{\pi_v} \otimes \mathcal{L}(\pi_v)\left(-\frac{1-s+2k}{2}\right) \\ & \text{(resp. } \pi_v[s]_D \otimes [\overleftarrow{s-t-1}, \overrightarrow{t}]_{\pi_v} \otimes \mathcal{L}(\pi_v)\left(-\frac{1-s+2k}{2}\right)) \end{aligned}$$

ou de manière équivalente que l'image dans le groupe de Grothendieck, de la fibre de son noyau soit égale à la réduction modulo l de

$$\pi_v[s]_D \otimes [\overleftarrow{t}, \overrightarrow{s-t-1}]_{\pi_v} \otimes \mathcal{L}(\pi_v)\left(-\frac{1-s+2k}{2}\right).$$

Avant de donner la preuve dans le cas général, on traite de manière indépendante, le cas banal puis limite classique où on utilise la simplification sur l'indexation des gradués mentionnée dans la remarque (5.3.3).

Cas banal : rappelons que cela signifie en particulier que l'ordre $e_l(q)$ de q dans \mathbb{F}_l est supérieur strictement à d et donc à s . Les poids sont définis modulo $e_l(q)$ mais comme $e_l(q)$ est supérieur strictement à s , alors tous les poids qui interviennent sont distincts modulo $e_l(q)$.

Si l'image de $\text{Ind } z^* d_{\overline{\mathbb{F}}_l, 1}^{2-s+t, s-3-2t}$ n'était pas égale au noyau de $\text{Ind } z^* d_{\overline{\mathbb{F}}_l, 1}^{3-s+t, s-3-2t}$ qui d'après l'hypothèse est égale à $\dim_{\overline{\mathbb{F}}_l} r_l(\pi_v[s]_D) r_l([\overleftarrow{s-1-t}, \overrightarrow{t}]_{\pi_v} \otimes \mathcal{L}(\pi_v)\left(-\frac{s-1-2(t+1)}{2}\right))$, alors pour tout $r \geq 1$, $E_{\overline{\mathbb{F}}_l, r}^{3-s+t, s-3-2t}$ devrait contenir un constituant de « poids » $d+s-2(t+2)$ modulo l . Ainsi d'après (6.1.3), $E_{\overline{\mathbb{F}}_l, \infty}^{1-s+t}$ devrait posséder un constituant de « poids » $d-s+2t+2$ modulo l ; or les constituants des $E_{\overline{\mathbb{F}}_l, 1}^{p,q}$ pour $p+q=1-s+t$ sont de « poids » $d-s+2t-2k$ avec $0 \leq k < t$ modulo l . Comme l'ordre de q dans \mathbb{F}_l est supérieur à l , ces « poids » modulo l ne peuvent pas être égaux à $d-s+2t+2$, d'où le résultat.

Cas limite classique : on a donc $q \equiv 1 \pmod{l}$ avec $s < l$. On ne peut plus utiliser les arguments de poids, par contre on comprend parfaitement la théorie des représentations modulaires. Le raisonnement est strictement identique au cas banal, sauf que la contradiction découle désormais de l'étude de l'action de $GL_d(F_v)$ comme on pourrait le faire sur $\overline{\mathbb{Q}}_l$.

D'après $HR_{t-1}(E_{\Psi_{\pi_v, \infty}})$, on en déduit que $\text{Ind } z^* E_{\overline{\mathbb{F}}_l, \infty}^{-t}$ est égal, dans le groupe de Grothendieck des $GL_d(F_v)$ -modules admissibles, à un multiple de $m_{\pi_v} \cdot [\overleftarrow{s-1-t}, \overrightarrow{t}]_{r_l(\pi_v)}$. Si cette multiplicité était supérieure ou égale à 2, d'après (6.1.3), $\text{Ind } z^* E_{\overline{\mathbb{F}}_l, \infty}^{1-s+t}$ devrait contenir $Z_{\overline{\mathbb{F}}_l}(I_0([\overleftarrow{s-1-t}, \overrightarrow{t}]_{\pi_v})) = I_0([\overleftarrow{t}, \overrightarrow{s-1-t}]_{\pi_v})$ avec une multiplicité $2m_{\pi_v}$. Or d'après l'hypothèse de récurrence il n'apparaît que dans $\text{Ind } z^* E_{\overline{\mathbb{F}}_l, 1}^{-t, 1-s+2t}$ avec une multiplicité m_{π_v} , d'où le résultat.

Cas général : on considère la suite spectrale

$$E_{\overline{\mathbb{Z}}_l, \Psi_{\pi_v, 1}}^{p,q} \Rightarrow R^{d-1+p+q} \Psi_{\eta_v}(\overline{\mathbb{Z}}_l)$$

On reprend les notations de §5.3 où pour tout $1 \leq t \leq s$ et tout $0 \leq i \leq t-1$, $k_t(i)$ est l'entier k tel que $gr_{\overline{\mathbb{Z}}_l, \Psi_{\pi_v, -k}}^{-t}$ est égal à $\mathcal{P}(t, \pi_v)\left(-\frac{1-t+2i}{2}\right)$.

D'après la proposition (5.3.1), pour tout $0 \leq i \leq t-2$, on a $k_{t-1}(i) < k_t(i)$ et pour tout $k_{t-1}(i) < k < k_t(i)$ ou $k_t(0) < k$, $gr_{\overline{\mathbb{Z}}_l, \Psi_{\pi_v, -k}}^{-t}$ est de dimension strictement plus petite que $d-(t+1)g$. D'après le §6.3 avec les restrictions des remarques 6.3.3 et 6.4.3, pour tout $0 \leq i \leq t-2$, $\text{Ind } z^* d_{\overline{\mathbb{Z}}_l, \Psi_{\pi_v, k_t(i)-k_{t-1}(i)}}^{k_{t-1}(i), t-s-k_{t-1}(i)}$ est donnée par un scalaire non nul $\lambda_{\overline{\mathbb{Z}}_l, \Psi_{\pi_v, t, i}} \in \overline{\mathbb{Z}}_l$.

7.2.2. Lemme. — *Les scalaires $\lambda_{\overline{\mathbb{Z}}_l, \Psi_{\pi_v, t, i}} \in \overline{\mathbb{Z}}_l$ sont inversibles.*

Démonstration. — On raisonne par l'absurde : soit $0 \leq i \leq t-2$ minimal tel que $\lambda_{\mathbb{Z}_l, \Psi_{\pi_v, t, i}} \in \mathbb{Z}_l$ n'est pas inversible, i.e. la réduction modulo l de $d_{\mathbb{Z}_l, \Psi_{\pi_v, k_t(i)-k_{t-1}(i)}}^{k_{t-1}(i), t-s-k_{t-1}(i)}$ est nulle. D'après $HR_t(E_{\mathbb{Z}_l, 1, 1})$ et la functorialité de la filtration de stratification, en reprenant pour $\overline{\mathbb{F}}_l$ la numérotation simplifiée des gradués suggérée par (5.3.3), $d_{\overline{\mathbb{F}}_l, \Psi_{\pi_v, 1}}^{t-1-2i, 1-s+2i}$ est nulle de sorte que la fibre en un point supersingulier du noyau de $\text{Ind } z^* d_{\overline{\mathbb{F}}_l, \Psi_{\pi_v, 1}}^{t-1-2i, 1-s+2i}$ est égale, cf. la remarque 6.4.3, à la réduction modulo l de

$$\pi_v[s]_D \otimes [\overleftarrow{t-2}]_{\pi_v} \overrightarrow{\times} [\overleftarrow{s-t}]_{\pi_v} \otimes \mathcal{L}(\pi_v)\left(-\frac{1-s+2i}{2}\right)$$

Ainsi on aurait que $\text{Ind } z^* E_{\overline{\mathbb{F}}_l, \Psi_{\pi_v, 2}}^{t-1-2i, 1-s+2i}$ serait isomorphe à la réduction modulo l de

$$\pi_v[s]_D \otimes [\overleftarrow{t}, \overrightarrow{s-t-1}]_{\pi_v} \otimes \mathcal{L}(\pi_v)\left(-\frac{1-s+2i}{2}\right)$$

et donc d'après $HR_{t-1}(E_{\overline{\mathbb{F}}_l, \Psi_{\pi_v, \infty}})$, $\text{Ind } z^* E_{\overline{\mathbb{F}}_l, \Psi_{\pi_v, \infty}}^{t-s}$ contiendrait la réduction modulo l de

$$\pi_v[s]_D \otimes [\overleftarrow{t}, \overrightarrow{s-t-1}]_{\pi_v} \otimes \mathcal{L}(\pi_v)\left(-\frac{1-s+2i}{2}\right)$$

On rappelle que l'on a supposé $s \geq 4$. Ainsi $J_{N_{(s-t-1)g, (t+1)g}}^{op}(\text{Ind } z^* E_{\overline{\mathbb{F}}_l, \infty}^{t-s})$ est dans le groupe de Grothendieck de la forme

$$\sum_j [\overleftarrow{s-t-2}]_{r_l(\pi_v\{\frac{t+1}{2}\})} \otimes !_{j,2} + \sum_i \pi'_i$$

tel qu'il existe j avec $!_{j,2} = I_0([\overleftarrow{t}]_{r_l(\pi_v\{-\frac{s-t-1}{2}\})})$. Comme le premier terme est de niveau de cuspidalité minimal, on en déduit, d'après (6.1.3), que $J_{N_{(s-t-1)g, (t+1)g}}^{op}(\text{Ind } z^* E_{\overline{\mathbb{F}}_l, \infty}^{-t})$ doit contenir

$$\mathcal{M}([\overleftarrow{s-t-2}]_{r_l(\pi_v\{-\frac{t+1}{2}\})}) \otimes [\overleftarrow{t}]_{r_l(\pi_v\{\frac{s-t-1}{2}\})}.$$

Or d'après $HR_t(E_{\overline{\mathbb{F}}_l, 1, 1})$, la filtration aboutissement de $E_{\overline{\mathbb{F}}_l, \infty}^{1-t}$ est constitué de sous-quotients de $r_l([\overleftarrow{s-t}, \overrightarrow{t-1}]_{\pi_v})$ dont les images par le foncteur de Jacquet $J_{N_{(s-t-1)g, (t+1)g}}^{op}$ sont parmi les constituants de la réduction modulo l de

$$\dots \otimes [\overleftarrow{r}, \overrightarrow{t-r}]_{\pi_v\{\frac{s-t-2r-1}{2}\}}$$

avec $r \geq 1$. La contradiction découle alors de la proposition (1.8.4) qui nous dit que $[\overleftarrow{t}]_{r_l(\pi_v\{\frac{s-t-1}{2}\})}$ ne peut pas être un constituant de la réduction modulo l de $[\overleftarrow{r}, \overrightarrow{t-r}]_{\pi_v\{\frac{s-t-2r-1}{2}\}}$. \square

Fin de la preuve de (7.2.1) : d'après le lemme précédent $[\text{Ind } z^* E_{\overline{\mathbb{F}}_l, \Psi_{\pi_v, \infty}}^{t-s}]$ est égale à la réduction modulo l de

$$\pi_v[s]_D \otimes [\overleftarrow{t-1}, \overrightarrow{s-t}]_{\pi_v} \otimes \mathcal{L}(\pi_v)\left(-\frac{-1-s+2t}{2}\right)$$

Ainsi d'après (6.1.3), $[\text{Ind } z^* E_{\overline{\mathbb{F}}_l, \Psi_{\pi_v, \infty}}^{1-t}]$ est égale à la réduction modulo l de

$$\pi_v[s]_D \otimes [\overleftarrow{s-t}, \overrightarrow{t-1}]_{\pi_v} \otimes \mathcal{L}(\pi_v)\left(-\frac{s+1-2t}{2}\right)$$

de sorte que les scalaires associés à $d_{\mathbb{Z}_l, \Psi_{\pi_v, k_{s-t}(j)-k_{s-t-1}(j)}}^{k_{s-t-1}(j), -t-k_{s-t-1}(j)}$, pour tout $0 \leq j \leq s-t-2$, sont de valuation nulle de sorte $E_{\overline{\mathbb{F}}_l, \Psi_{\pi_v, \infty}}^{1-t} = E_{\overline{\mathbb{F}}_l, \Psi_{\pi_v, 2}}^{1-t}$ d'où le résultat. \square

7.3. dualité. —

7.3.1. Proposition. — Pour $t \leq s - k - 3$, on a $HR_t(E_{\overline{\mathbb{F}}_l, !, k, 1}) \Rightarrow HR_t(E_{\overline{\mathbb{F}}_l, D_k, g+1})$

Remarque : dans la suite on utilisera l'implication $HR_t(E_{\overline{\mathbb{F}}_l, !, k, 1}) \Rightarrow HR_t(E_{\overline{\mathbb{F}}_l, D_k, g+1})$ pour $k \leq s - 3$ et $t + 1 \leq \lceil \frac{s-k}{2} \rceil - 1$ de sorte que l'on aura toujours $t \leq s - k - 3$.

Démonstration. — D'après (6.5.11), on sait que pour tout $p + q \geq s - k - t - 1$ et $p \neq 0$, $[E_{\overline{\mathbb{F}}_l, D_k, 2}^{p, q}]$ est la réduction modulo l de $E_{\mathbb{Z}_l, D_k, 2}^{p, q}$. En raisonnant par récurrence, on suppose donc $HR_{t-1}(E_{\overline{\mathbb{F}}_l, D_k, g+1})$. Soit alors $p = -ag - r < 0$ maximal avec a, r positifs et $a + r = t + 1$, $r \leq a$, tel que $E_{\mathbb{Z}_l, D_k, g+1}^{p, s-k-t-1-p}$ soit non nul, et donc de torsion. Avec les précisions des remarques 6.3.3 et 6.4.3, pour tout point supersingulier z , on en déduit alors que $[\text{Ind } z^* E_{\overline{\mathbb{F}}_l, D_k, g+1}^{p, s-k-t-1-p}]$ est la réduction modulo l de $\text{Ker Ind } z^* d_{\mathbb{Z}_l, D_k, g}^{p, s-k-t-1-p}$ qui est donc d'après $HR_{t-1}(E_{\overline{\mathbb{F}}_l, D_k, g+1})$, isomorphe à

$$\pi_v[s]_D \otimes (\Pi_k \overleftarrow{\times} [\overleftarrow{a-r}, s-k-a-1]_{\pi_v} \overrightarrow{\times} [\overrightarrow{r-1}]_{\pi_v} (-\frac{s-1-2r}{2}))$$

On introduit les notations suivantes : $O = \frac{1-s}{2} + a - r$, $\beta = O + s - k - a - 1$ et $\alpha = \frac{s-1}{2} - r + 1 = \beta + k$ de sorte que $\pi_v\{O\}$ (resp. $\pi_v\{\beta\}$, resp. $\pi_v\{\alpha\}$) désigne la cuspidale au niveau du changement de direction (resp. au bord à droite, resp. au bord à gauche) de $[\overleftarrow{a-r}, s-k-a-1]$ (resp. idem, resp. $[\overrightarrow{r-1}]$) dans l'induite ci-dessus.

On en déduit alors que l'image de $\text{Ind } z^* E_{\overline{\mathbb{F}}_l, D_k, g+1}^{p, s-k-t-1-p}$ par le foncteur de Jacquet $J_{N_{kg, (s-k-a+r)g, (a-r)g}}$ contient

$$\Pi_k \otimes [\overleftarrow{s-k-a-1}]_{r_l(\pi_v)(\frac{a-k-2r}{2})} \times [\overrightarrow{r-1}]_{r_l(\pi_v)\{\frac{s-r}{2}\}} \otimes [\overleftarrow{a-r-1}]_{r_l(\pi_v)\{\frac{a-r-s}{2}\}}$$

- (1) Si $\epsilon_l(\pi_v) = 1$ ou si $k \equiv 1 \pmod{\epsilon_l(\pi_v)}$, alors $[\overleftarrow{s-k-a-1}]_{r_l(\pi_v)\{\frac{a-k-2r}{2}\}} \times [\overrightarrow{r-1}]_{r_l(\pi_v)\{\frac{s-r}{2}\}}$ contient $\Pi_1 := [\overleftarrow{s-k-a+r-1}]_{r_l(\pi_v)\{\frac{k-a-r}{2}\}}$, sinon il y a deux possibilités :
- (2) soit il existe λ tel que $O \leq \alpha - \lambda \epsilon_l(\pi_v) \leq \beta$; on prend alors λ minimal de sorte que l'image de $[\overleftarrow{s-k-a-1}]_{r_l(\pi_v)(\frac{a-k-2r}{2})} \times [\overrightarrow{r-1}]_{r_l(\pi_v)\{\frac{s-r}{2}\}}$ par $J_{N_{tg, \delta'g}}$ où $t = s - k - a + r - \delta'$ avec $\delta' = \beta + \lambda \epsilon_l(\pi_v) - \alpha < \epsilon_l(\pi_v)$, contient

$$\Pi_2 := [\overleftarrow{t-1}]_{r_l(\pi_v)\{\frac{s-t}{2}\}} \otimes [\overrightarrow{\delta'-1}]_{r_l(\pi_v)\{\frac{s-1}{2}-r+1\}}$$

- (3) soit il n'existe pas de tel λ , auquel cas l'image de $[\overleftarrow{s-k-a-1}]_{r_l(\pi_v)(\frac{a-k-2r}{2})} \times [\overrightarrow{r-1}]_{r_l(\pi_v)\{\frac{s-r}{2}\}}$ par $J_{N_{(s-k-a)g, rg}}$ contient $\Pi_3 := [\overleftarrow{s-k-a-1}]_{r_l(\pi_v)\{\frac{-a-k-2r}{2}\}} \otimes [\overrightarrow{r-1}]_{r_l(\pi_v)\{\frac{s-r}{2}\}}$.

Comme pour tout (p, q) tel que $p + q = s - k - t$, les $E_{\overline{\mathbb{F}}_l, D_k, g+1}^{p, q}$ sont nuls, on en déduit donc qu'il doit exister $p' = -a'g - r'$ avec $a' \geq a + 2$ et $a' + r' = a + r + 1$, tel que la réduction modulo l de l'image par le foncteur de Jacquet du cas 1-3 correspondant de

$$([\overleftarrow{s-k-a'-1}]_{\pi_v(-k/2)} \overleftarrow{\times} [\overleftarrow{a'-r'-1}]_{\pi_v(-k/2)} \overrightarrow{\times} [\overrightarrow{r'-1}]_{\pi_v(k/2)})$$

contienne la représentation Π_i donnée dans chacun de ces cas. Le résultat découle alors du lemme suivant. \square

7.3.2. Lemme. — Soient, pour $l \neq 2$, $a' + r' = a + r + 1$ et $\epsilon_l(q)$ qui divise $a' - a - 1 \geq 1$. Alors pour $\epsilon_l(\pi_v) = 1$ et $\Pi := \Pi_1$ (resp. dans le cas (2) pour $\Pi := \Pi_2$, resp. dans le cas (3) pour $\Pi := \Pi_3$), $\Pi \otimes [\overleftarrow{a-r-1}]_{r_l(\pi_v)(\frac{a-r-s}{2})}$ n'est pas un constituant de la réduction modulo l de l'image par le foncteur de Jacquet $J_1 := J_{N_{(s-k-a+r)g, (a-r)g}}$ (resp. $J_2 := J_{N_{tg, \delta'g}}$, resp. $J_3 := J_{N_{(s-k-a)g, rg, (a-r)g}}$) de

$$([\overleftarrow{s-k-a'-1}]_{\pi_v(-k/2)} \overleftarrow{\times} [\overleftarrow{a'-r'-1}]_{\pi_v(-k/2)} \overrightarrow{\times} [\overrightarrow{r'-1}]_{\pi_v(k/2)})$$

Démonstration. — On regarde pour $\epsilon = 0$ ou 1 , les différents constituants de

$$J_{N_{(s-a+r-k)g,(a-r)g}}(\overleftarrow{[a' - r' - \epsilon, s - k - a' - 1 + \epsilon]}_{\pi_v^\vee(-k/2)} \overrightarrow{\times} \overrightarrow{[r' - 1]}_{\pi_v^\vee(k/2)}).$$

En regardant le niveau de cuspidalité, on note que les constituants $\pi_1 \otimes \pi_2$ qui sont susceptibles de contenir $\cdots \otimes \overleftarrow{[a - r - 1]}_{r_l(\pi_v\{\frac{a-r-s}{2}\})}$ sont tels que π_2 est un constituant de la réduction modulo l de $\overleftarrow{[a - r - 1]}_{\pi_v\{\frac{a-r-s}{2}\}}$ ou alors de $\overleftarrow{[a - r - 2]}_{\pi_v\{\frac{a-r-s-1}{2}\}} \times \overleftarrow{[0]}_{\pi_v\{\delta\}}$ pour $\delta = (s - 1)/2$ ou $(1 - s)/2 + s - k - r' - 1$ de sorte qu'alors π_1 est un constituant de la réduction modulo l d'une représentation de la forme

$$\Xi := [\overleftarrow{\alpha}, \overrightarrow{\beta}]_{\pi_v\{e\}} \times [\overrightarrow{\gamma}]_{\pi_v\{e'\}}$$

avec $\alpha + \beta + \gamma = s - k - r' - 1$, $\alpha = a' - r' - \epsilon - (a - r - 1) - 1 - \epsilon'$ avec $\epsilon' = 0$ ou 1 et où e, e' sont des torsions que l'on ne tient pas à préciser. Ainsi on a $\alpha \geq 2(\delta - 1) - 1$ où on a posé $\delta = a' - a$ avec $\epsilon_l(\pi_v)$ qui divise $e_l(q)$ et donc $\delta - 1$: en particulier si $\epsilon_l(\pi_v) \neq 1$, on remarquera que $\alpha > \epsilon_l(\pi_v)$. De même on a $s - k - a' - 1 \geq s - k - t - 2 \geq 1$ et $s - k - a - 1 - (s - k - a' - 1) = a' - a > \epsilon_l(\pi_v)$ de sorte que le cas (3) est exclu. Reste donc à prouver que pour $i = 1, 2$, Π_i n'est pas un constituant de la réduction modulo l de $J_i(\Xi)$.

Cas (1) : cela découle directement du lemme (1.8.8) car par hypothèse $l \neq 2$.

Cas (2) : on écrit un constituant quelconque de $J_{N_{t,g,\delta g}}(\Xi)$ sous la forme $\pi_1 \otimes \pi_2$. D'après le lemme (1.8.8), π_1 doit être d'une des formes suivantes :

$$\overleftarrow{[s - k - a' - 1 + \epsilon - i]}_{r_l(\pi_v\{\delta_1\})} \times \overleftarrow{[r' - 1 - i]}_{r_l(\pi_v\{\delta_2\})} \quad \overleftarrow{[i']}_{\pi_v\{\frac{1-i'-s}{2} + a' - r' - 1 + \epsilon\}} \times \overrightarrow{[j']}_{\pi_v\{\frac{s-1+j'}{2} - r' + 1\}}$$

- La contradiction dans la première situation découle du fait que

$$(s - k - a') + \epsilon - i + 1 + (r') - i' \leq (s - k - a - \epsilon(\pi_v) - 1) + \epsilon - i + 1 + (r - \epsilon(\pi_v)) - i' \leq s - k - a + r - \epsilon(\pi_v) < t$$

- Dans la deuxième situation s'il existe un représentant $\tilde{\alpha}$ de α modulo $\epsilon_l(\pi_v)$ strictement compris entre $O' + 1 := O + \epsilon + 1$ et $\beta' + 1 := O' + s - k - a' + \epsilon$, avec $s - k - a' - 1 \geq 1$, alors la contradiction se déroule comme ci-dessus en remarquant alors que l'on a forcément $\beta' - 1 > \delta' = \beta' - \tilde{\alpha}$ et donc $i' + 1 + 1 + 1 + j' < t$. Si on a $\tilde{\alpha} = 1$, la contradiction est donnée par le lemme (1.8.8). Dans les cas restant la contradiction découlera du lemme (1.8.7) si on montre que $\epsilon(\pi_v) \geq 3$. Par hypothèse α n'est pas congru modulo $\epsilon_l(\pi_v)$ à $O' + 1, \dots, \beta', \beta' + 1$, avec $\beta' - O' = s - k - a' - 1 + \epsilon \geq 1$ de sorte que $\epsilon_l(\pi_v) \geq 3$ d'où le résultat. \square

Remarque : dans le cas $g = 1$, le raisonnement est strictement identique en considérant en lieu et place de la suite spectrale (5.4.1), la suite spectrale associée à la stratification i.e.

$$E_{1,\mathbb{Z}_l}^{p,q} = R^{p+q} \underline{Hom}(gr_S^{\equiv p} \mathcal{P}_{\mathbb{Z}_l,+}(t, \pi_v), K_{s_v}) \Rightarrow h^{p+q} \mathcal{P}_{\mathbb{Z}_l,-}(\pi_v^\vee)(d - 1)$$

où $gr_S^{\equiv p}$ est le prolongement par zéro de la restriction à la strate $\overline{X}_{\mathcal{I}}^{(d-p+1)}$. On applique alors, tel quel, le raisonnement précédent, la combinatoire étant identique.

8. Preuve de l'inductivité

On raisonne par récurrence sur les trois suites spectrales introduites plus haut ; au rang $1 \leq t \leq s$, on suppose donc que $HR_t(E_{\overline{\mathbb{F}}_l,!,1,1})$ est vraie. On en déduit alors, d'après (6.5.9) que $HR_t(E_{\overline{\mathbb{F}}_l,!,k,1})$ est vraie pour tout $1 \leq k \leq s$, d'après (6.5.8) que $HR_t(E_{\overline{\mathbb{F}}_l,!,k,2})$ est vraie pour tout $1 \leq k \leq s$, d'après (6.5.10) que $HR_t(E_{\overline{\mathbb{F}}_l,\Psi_{\pi_v},1})$ est vraie, d'après (7.2.1) que $HR_t(E_{\overline{\mathbb{F}}_l,\Psi_{\pi_v},\infty})$ est vraie, d'après (6.5.11) que $HR_t(E_{\overline{\mathbb{F}}_l,D_k,2})$ est vraie pour tout $1 \leq k \leq g$, d'après (7.3.1) que $HR_t(E_{\overline{\mathbb{F}}_l,D_k,g+1})$ est vraie pour tout $1 \leq k \leq s$. Il s'agit alors de prouver $HR_{t+1}(E_{\overline{\mathbb{F}}_l,!,1,1})$. Pour cela on procédera comme suit :

- *étape 1 :* $HR_t(E_{\overline{\mathbb{F}}_l,D_1,g+1}) + HR_t(E_{\overline{\mathbb{F}}_l,!,1,1})$ implique une version affaiblie de $HR_{t+1}(E_{\overline{\mathbb{F}}_l,!,1,1})$ que l'on notera $HR'_{t+1}(E_{\overline{\mathbb{F}}_l,!,1,1})$;

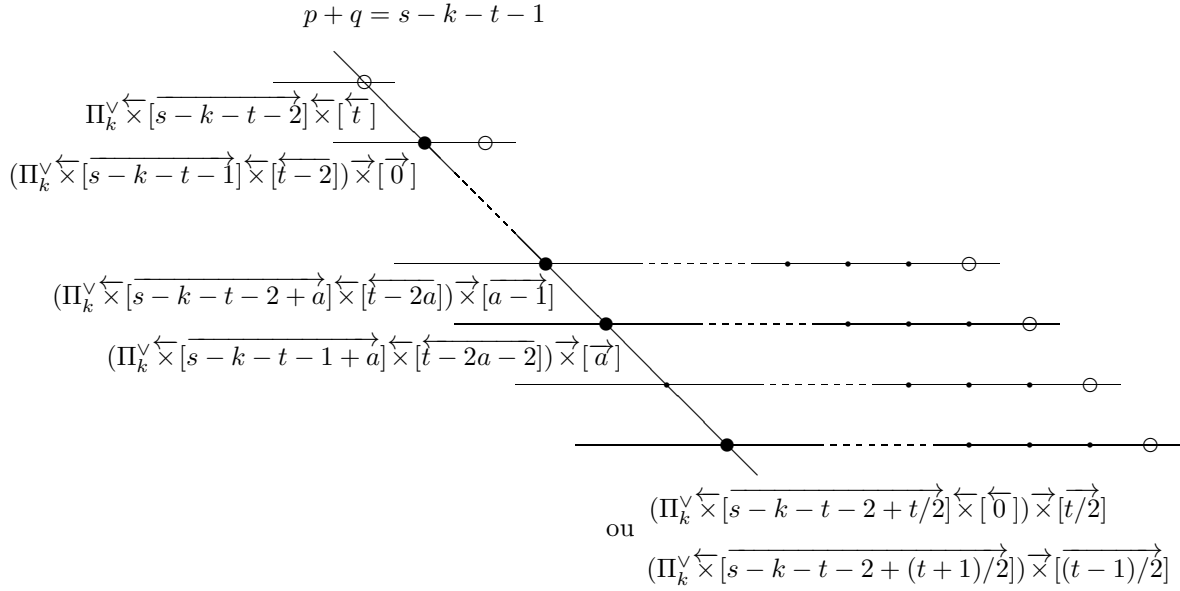


FIGURE 5. Etude de la torsion éventuelle de la suite spectrale (5.4.1)

- *étape 2* : on montre ensuite l'implication $E_{\mathbb{F}_l, !, 1}^{0, 2-s+t} = 0 \Rightarrow E_{\mathbb{F}_l, !, k, 1}^{0, k-s+t+1} = 0 \forall 1 \leq k \leq s$;
- *étape 3* : de l'écriture des gradués $gr_{\mathbb{F}_l, \Psi}$, comme dans le lemme (6.5.10), on montre, en utilisant $HR'_{t+1}(E_{\mathbb{F}_l, !, 1, 1})$ et en raisonnant de manière similaire à la preuve de la proposition (7.2.1), que $E_{\mathbb{F}_l, !, 1, 1}^{0, 2-s+t}$ est nul;
- *étape 4* : on prouve une version affaiblie de $HR_{t+1}(E_{\mathbb{F}_l, \Psi_{\pi_v}, \infty})$, à savoir que $E_{\mathbb{F}_l, \Psi_{\pi_v}, \infty}^{2-s+t}$ et $E_{\mathbb{F}_l, \Psi_{\pi_v}, \infty}^{-t-1}$ sont comme prévus;
- *étape 5* : on prouve $HR_{t+1}(E_{\mathbb{F}_l, \Psi_{\pi_v}, 1})$ et donc $HR_{t+1}(E_{\mathbb{F}_l, !, 1, 1})$.

Remarque : - L'initialisation de la récurrence découle du paragraphe (6.4).

- Dans ce qui suit, on peut la plupart du temps ignorer les diverses torsions, ; les considérer donnerait des informations sur l'ordre de q modulo l ; comme on doit aussi inclure le cas où cet ordre est égal à 1, ces restrictions ne seront pas décisives. Dans la suite, on va essayer d'écrire correctement ces torsions sachant que pour le lecteur, sauf mention expresse, ce n'est pas la peine de les lire.

8.1. Étape 1. — Pour tout $t \geq 0$, on définit l'hypothèse $HR'_{t+1}(E_{\mathbb{F}_l, !, k, 1}) : HR_t(E_{\mathbb{F}_l, !, k, 1})$ est vraie et si, pour un point supersingulier z , $\left[\text{Ind } z^* E_{\mathbb{F}_l, !, k, 1}^{0, k-s+1+t} \right]$ est non nul alors il admet, cf. la remarque 6.3.3, comme sous-quotient tous les constituants irréductibles de la réduction modulo l de

$$\Pi_k \overrightarrow{\times} [s - k - t - 3, t + 2]_{\pi_v}$$

Il s'agit alors de prouver la proposition suivante.

8.1.1. Proposition. — $\forall 1 \leq k \leq s \ HR_t(E_{l, k, 1}) \Rightarrow HR'_{t+1}(E_{l, k, 1}) \forall 1 \leq k \leq s$.

Démonstration. — On raisonne par récurrence sur k de s à 1. Pour $k = s$ il n'y a rien à faire, supposons donc le résultat acquis jusqu'au rang $k + 1$ et traitons le cas de k . On va tout d'abord montrer le résultat plus faible suivant.

8.1.2. Lemme. — Si pour un point supersingulier z , $\text{Ind } z^* E_{\mathbb{F}_l, !k, 1}^{0, k-s+1+t}$ est non nul, alors il est de niveau de Whittaker supérieur ou égal à $(t+3)g$.

Démonstration. — On étudie la suite spectrale

$$E_{\mathbb{F}_l, !k, 1}^{p, q} \Rightarrow E_{\mathbb{F}_l, !k, \infty}^{p+q}$$

D'après le §6.3, avec les nuances mentionnées en 6.3.3, $\text{Ind } z^* d_{\mathbb{Z}_l, !k, 1}^{t+2, k-s}$ est donné par un scalaire non nul de $\overline{\mathbb{Z}}_l$.

- Si la valuation de ce scalaire est nulle, on en déduit que $\left[\text{Ind } z^* E_{\mathbb{F}_l, !k, 2}^{t+2, k-s} \right]$ contient la réduction modulo l de $\Pi_k \overrightarrow{\times} \overleftarrow{[t+2, s-k-t-3]}_{\pi_v}$. Or comme l'aboutissement est nul et comme pour tout $1 \leq i \leq s-k$ les $E_{\mathbb{F}_l, !k, 1}^{i, k-s+t+1-i}$ sont nuls d'après $HR_{t+1-i}(E_{l_{k+i}, 1})$, on en déduit que $\left[\text{Ind } z^* E_{\mathbb{F}_l, !k, 1}^{0, k-s+1+t} \right]$ contient la réduction modulo l de $\Pi_k \overrightarrow{\times} \overleftarrow{[t+2, s-k-t-3]}_{\pi_v}$ ce qui implique le résultat.

- Si la valuation du scalaire précédent est non nulle alors $\left[\text{Ind } z^* E_{\mathbb{F}_l, !k, 2}^{t+3, k-s} \right]$ est égale à m_{π_v} fois la réduction modulo l de $\Pi_k \overrightarrow{\times} \overleftarrow{[t+3, s-k-t-4]}_{\pi_v}$. Si $E_{\mathbb{F}_l, !k, 1}^{1, k-s+t+1}$ est nul alors il en est de même de $E_{\mathbb{F}_l, !k, 1}^{0, k-s+1+t}$. Sinon $\left[\text{Ind } z^* E_{\mathbb{F}_l, !k, 1}^{1, k-s+1+t} \right]$ contient d'après l'hypothèse de récurrence $\Pi_k \overrightarrow{\times} \pi$ où π la réduction modulo l de

$$\overleftarrow{[0]}_{\pi_v} \overrightarrow{\times} \overleftarrow{[s-k-t-4, t+2]}_{\pi_v}$$

L'image par le foncteur de Jacquet $J_{N_{a_g, (t+3)g}}$ de π , avec $a = s-k-t-3$ contient alors

$$\begin{aligned} & \overleftarrow{[a-1]}_{r_l(\pi_v \{ \frac{k-t-3}{2} \})} \otimes \overleftarrow{[t+2]}_{r_l(\pi_v \{ \frac{s-t-3}{2} \})} + r_l(\overleftarrow{[1, a-2]}_{\pi_v \{ \frac{k-t-3}{2} \}}) \otimes \overleftarrow{[t+2]}_{r_l(\pi_v \{ \frac{s-t-3}{2} \})} \\ & + \overleftarrow{[a-1]}_{r_l(\pi_v \{ \frac{k-t-1}{2} \})} \otimes \overleftarrow{[0]}_{r_l(\pi_v \{ \frac{2k-s+1}{2} \})} \times \overleftarrow{[t+1]}_{r_l(\pi_v \{ \frac{s-2-t}{2} \})} \end{aligned} \quad (8.1.3)$$

alors que les constituants de $J_{N_{a_g, (t+3)g}}(\overleftarrow{[t+3, s-k-t-4]}_{\pi_v})$ dont la réduction modulo l du deuxième terme contient une générique sont

$$\overleftarrow{[a-1]}_{\pi_v \{ \frac{k+3+t}{2} \}} \otimes \overleftarrow{[t+2]}_{\pi_v \{ \frac{2k-s+t+3}{2} \}} + \overleftarrow{[1, a-2]}_{\pi_v \{ \frac{k+2+t}{2} \}} \otimes \overleftarrow{[t+1]}_{\pi_v \{ \frac{2k-s+t+2}{2} \}} \times \overleftarrow{[0]}_{\pi_v \{ \frac{s-t-3}{2} \}}$$

On remarque que dans 8.1.3, pour le deuxième terme, une générique apparaît au moins deux fois. On veut montrer que la réduction modulo l de $J_{N_{a_g, (t+3)g}}(\overleftarrow{[t+3, s-k-t-4]}_{\pi_v})$, il y apparaît strictement moins de générique. S'il n'y en a qu'une fois, alors c'est gagné.

Dans le cas contraire, pour que $\overleftarrow{[a-1]}_{r_l(\pi_v \{ \frac{k-t-3}{2} \})} \otimes \overleftarrow{[t+2]}_{r_l(\pi_v \{ \frac{s-t-3}{2} \})}$ soit un constituant de la réduction modulo l de $J_{N_{a_g, (t+3)g}}(\overleftarrow{[t+3, s-k-t-4]}_{\pi_v})$, il faut, d'après (1.8.4), que

$$\begin{cases} \frac{k-t-3}{2} \equiv \frac{k+3+t}{2} \pmod{\epsilon_l(\pi_v)} \\ \frac{s-t-3}{2} \equiv \frac{2k-s+t+3}{2} \pmod{\epsilon_l(\pi_v)} \end{cases}$$

soit $s-k \equiv t+3 \equiv 0 \pmod{\epsilon_l(\pi_v)}$. Mais alors $\overleftarrow{[0]}_{r_l(\pi_v \{ \frac{2k-s+1}{2} \})} \times \overleftarrow{[t+1]}_{r_l(\pi_v \{ \frac{s-2-t}{2} \})}$ contient $\overleftarrow{[t+2]}_{r_l(\pi_v \{ \frac{s-t-3}{2} \})}$ de sorte que $J_{N_{a_g, (t+3)g}}(\pi)$ admet deux constituants de la forme $\overleftarrow{[a-1]}_{r_l(\pi_v \{ \delta \})} \otimes \overleftarrow{[t+2]}_{r_l(\pi_v \{ \delta' \})}$ alors que la réduction modulo l de $J_{N_{a_g, (t+3)g}}(\overleftarrow{[t+3, s-k-t-4]}_{\pi_v})$, n'en contient au plus qu'un, d'après (1.8.4).

Ainsi comme d'après l'hypothèse de récurrence tous les $E_{\mathbb{F}_l, !k, 1}^{p, q}$ pour $p+q = k-s+t+3$ sont nuls, on en déduit que $\text{Ind } z^* E_{\mathbb{F}_l, !k, 1}^{0, k-s+t+1}$ est de niveau de Whittaker supérieur ou égal à $(t+3)g$. \square

Fin de la preuve de (8.1.1) : on rappelle que $HR_t(E_{l_{k, 1}})$ implique $HR_t(E_{D_{k, g+1}})$ de sorte que les constituants de $\text{Ind } z^* E_{l_{k, 1}}^{0, k-s+t+1}$ sont à prendre parmi ceux de la réduction modulo l de

$$(\Pi_k \overrightarrow{\times} \overleftarrow{[s-k-a-1, 2a-t-2]}_{\pi_v}) \overleftarrow{\times} \overleftarrow{[t+1-a]}_{\pi_v}$$

pour $\frac{t+2}{2} \leq a \leq t+2$. Le seul qui ait un niveau de Whittaker supérieur ou égal à $t+3$ est alors $\overrightarrow{[s-k-t-3, \overleftarrow{t+2}]_{\pi_v}}$. On en déduit donc que le scalaire associé à $\text{Ind } z^* d_{\mathbb{Z}_l, D_k, g}^{-(t+2)g, s-k+(t+2)(g-1)}$ est nul de sorte que $\left[\text{Ind } z^* E_{\mathbb{F}_l, D_k, g+1}^{-(t+2)g, s-k+(t+2)(g-1)} \right]$ est égale à m_{π_v} fois la réduction modulo l de $\Pi_k \overleftarrow{\times} \overrightarrow{[s-k-t-3, \overleftarrow{t+2}]_{\pi_v}}$. Le résultat découle alors du fait que les $E_{\mathbb{F}_l, D_k, 1}^{p,q}$ pour $p+q = s-k-t-3$ et $p < -(t+2)g$ sont tous nuls et que les $E_{\mathbb{F}_l, D_k, g+1}^{p,q}$ pour $p+q = s-k-t-1$ aussi d'après $HR_t(E_{\mathbb{F}_l, D_k, g+1})$. \square

8.1.4. Corollaire. — Si $\epsilon_l(\pi_v) \neq 1$, alors $HR_{t+1}(E_{\mathbb{F}_l, !, 1})$ est vérifiée alors que pour $\epsilon_l(\pi_v) = 1 \pmod{l}$, les constituants de $\text{Ind } z^* E_{\mathbb{F}_l, !, k, 1}^{0, k-s+t+1}$ sont à prendre parmi ceux de

$$\Pi_k \overrightarrow{\times} [\overrightarrow{0}]_{r_l(\pi_v)} \overrightarrow{\times} \cdots \overrightarrow{\times} [\overrightarrow{0}]_{r_l(\pi_v)} \overrightarrow{\times} r_l(\overleftarrow{[t+2]_{\pi_v}}).$$

Démonstration. — On reprend la preuve précédente en considérant k maximal tel que $E_{\mathbb{F}_l, !, k, 1}^{0, k-s+t+1}$ est non nul. D'après ce que l'on a vu, comme $E_{\mathbb{F}_l, !, k, 1}^{1, k-s+t+1}$ est nul, on en déduit que tous les constituants de la réduction modulo l de $\overrightarrow{[s-k-t-3, \overleftarrow{t+2}]_{\pi_v}}$ sont des constituants de la réduction modulo l de $\overleftarrow{[t+2, s-k-t-3]_{\pi_v}}$. En appliquant le foncteur de Jacquet $J_{N_{g, (s-k)g}}$ et en regardant les supports cuspidaux, on obtient alors que

$$\frac{1-s}{2} \equiv \frac{s-1}{2} \equiv \frac{1-s}{2} + t + 2 \pmod{\epsilon_l(\pi_v)}$$

soit $t+2 \equiv s-1 \equiv 0 \pmod{\epsilon_l(\pi_v)}$. En appliquant le foncteur de Jacquet $J_{N_{2g, (s-k-1)g}}$, on obtient alors que l'ensemble $\{\frac{1-s}{2}, \frac{s-1}{2}\}$ est égal soit à $\{\frac{1-s}{2} + t + 2, \frac{1-s}{2} + t + 3\}$ ou $\{\frac{1-s}{2} + t + 2, \frac{1-s}{2} + t + 1\}$ ce qui dans les deux cas impose alors que $\epsilon_l(\pi_v) = 1$. En ce qui concerne le cas $\epsilon_l(\pi_v) = 1$, le résultat est immédiat en raisonnant par récurrence et en procédant comme dans la preuve précédente. \square

8.2. Étape 2. — D'après le corollaire précédent, on suppose donc que $\epsilon_l(\pi_v) = 1$. Il s'agit alors de prouver la proposition suivante.

8.2.1. Proposition. — $E_{\mathbb{F}_l, !, 1, 1}^{0, 2-s+t} = 0 \Rightarrow E_{\mathbb{F}_l, !, k, 1}^{0, k-s+t+1} = 0 \forall 1 \leq k \leq s$;

Démonstration. — On raisonne par récurrence en supposant le résultat acquis pour tout $1 \leq k' \leq k$ et on traite le cas de $k+1$. On regarde dans la suite spectrale $E_{l, k, 1}$, le terme en $(1, k-s+t+1)$. D'après l'hypothèse de récurrence, $E_{l, k, 1}^{0, k-s+t+1}$ est nul et d'après $HR'_{t+1}(E_{l, k+1, 1})$, si pour un point supersingulier z , $\left[\text{Ind } z^* E_{l, k, 1}^{1, k-s+t+1} \right]$ est non nul alors il contient tous les constituants irréductibles de la réduction modulo l de

$$\Pi_k \overrightarrow{\times} [\overleftarrow{0}]_{\pi_v} \overrightarrow{\times} \overrightarrow{[s-k-t-4, \overleftarrow{t+2}]_{\pi_v}}$$

de sorte qu'il existe un constituant soit de $\text{Ind } z^* E_{\mathbb{F}_l, !, k, 1}^{2, k-s+t+1}$ soit de $\text{Ind } z^* E_{\mathbb{F}_l, !, k, 2}^{t+3, k-s}$ tel que son image par le foncteur de Jacquet $J_{N_{(t+2)g, (s-k-t-2)g}}$ contienne

$$\Pi_k \otimes \overleftarrow{[t+1]_{r_l(\pi_v \{ \frac{s-t-2}{2} \})}} \otimes \overrightarrow{[s-k-t-3]_{r_l(\pi_v \{ \frac{k-t-2}{2} \})}}$$

D'après le corollaire (8.1.4), les constituants de $\text{Ind } z^* E_{\mathbb{F}_l, !, k, 1}^{2, k-s+t+1}$ sont à prendre parmi ceux de

$$\Pi_k \overrightarrow{\times} [\overrightarrow{0}]_{r_l(\pi_v)} \overrightarrow{\times} \cdots \overrightarrow{\times} [\overrightarrow{0}]_{r_l(\pi_v)} \overrightarrow{\times} r_l(\overleftarrow{[t+2]_{\pi_v}})$$

tandis que si $\left[\text{Ind } z^* E_{\mathbb{F}_l, !, k, 2}^{t+3, k-s} \right]$ est non nul, ses sous-quotients irréductibles sont à prendre parmi ceux de la réduction modulo l de $\Pi_k \overrightarrow{\times} \overrightarrow{[t+3, s-t-k-3]_{\pi_v}}$. On écrit leur image par le foncteur de Jacquet sous la forme $\pi_1 \otimes \pi_2$: ceux qui sont susceptibles de contenir dans leur réduction

modulo l la représentation $\Pi_k \otimes [\overleftarrow{t+1}]_{r_l(\pi_v\{\frac{s-t-2}{2}\})} \otimes [\overrightarrow{s-k-t-3}]_{r_l(\pi_v\{\frac{k-t-2}{2}\})}$, sont alors tels que π_2 est toujours un sous-quotient de

$$[\overleftarrow{0}]_{\pi_v\{\dots\}} \overrightarrow{\times} \cdots \overrightarrow{\times} [\overleftarrow{0}]_{\pi_v\{\dots\}} \overrightarrow{\times} [\overleftarrow{1}]_{\pi_v\{\dots\}} \overrightarrow{\times} [\overleftarrow{0}]_{\pi_v\{\dots\}} \overrightarrow{\times} \cdots [\overleftarrow{0}]_{\pi_v\{\dots\}}$$

laquelle réduction modulo l , pour $l \neq 2$ et $\epsilon_l(\pi_v) = 1$, ne contient jamais $[\overrightarrow{s-k-t-3}]_{r_l(\pi_v)}$ car $m_l(\pi_v) > 2$. En effet, on raisonne par récurrence, le cas de la dimension $2g$ découle du fait que $l \neq 2$. Supposons donc le résultat acquis jusqu'à la dimension mg et traitons le cas de $(m+1)g$. Soit donc à montrer que la réduction modulo l de

$$[\overleftarrow{1}]_{\pi_v} \overrightarrow{\times} [\overleftarrow{0}]_{\pi_v} \overrightarrow{\times} \cdots \overrightarrow{\times} [\overleftarrow{0}]_{\pi_v}$$

ne contient pas $[\overrightarrow{m}]_{r_l(\pi_v)}$. D'après l'hypothèse de récurrence par application du foncteur de Jacquet $J_{N_{mg,g}}$, on en déduit que

$$[\overleftarrow{1}]_{\pi_v} \overrightarrow{\times} [\overleftarrow{0}]_{\pi_v} \overrightarrow{\times} \cdots \overrightarrow{\times} [\overleftarrow{1}]_{\pi_v} \overrightarrow{\times} \cdots$$

ne peut pas contenir dans sa réduction modulo l , $[\overrightarrow{m}]_{r_l(\pi_v)}$. Ainsi il reste à regarder la réduction modulo l de $[\overleftarrow{1}]_{\pi_v} \overrightarrow{\times} [\overrightarrow{m-2}]_{\pi_v}$ et le résultat découle de (1.8.4). \square

8.3. Étape 3. — Il s'agit donc de prouver le résultat suivant dans le cas $\epsilon_l(\pi_v) = 1$: en particulier quand on considère des réductions modulo l , on n'écrira pas les torsions galoisiennes ou pour $GL_d(F_v)$.

8.3.1. Proposition. — *La fibre en un point supersingulier de $E_{\mathbb{F}_l,1,1}^{0,2-s+t}$ est nulle.*

Démonstration. — D'après $HR'_{t+1}(E_{\mathbb{F}_l,1,1})$, si pour un point supersingulier z , $[\text{Ind } z^* E_{\mathbb{F}_l,1,1}^{0,2-s+t}]$ était non nulle, alors elle contiendrait tous les constituants irréductibles de la réduction modulo l de

$$\Pi_1 \overrightarrow{\times} [\overrightarrow{s-t-4}, \overleftarrow{t+2}]_{\pi_v}$$

de sorte que $[\text{Ind } z^* E_{\mathbb{F}_l, \Psi_{\pi_v, 1}}^{t+1, 1-s}]$ contiendrait tous les constituants irréductibles de la réduction modulo l de

$$[\overleftarrow{0}]_{\pi_v} \overrightarrow{\times} [\overrightarrow{s-t-4}, \overleftarrow{t+2}]_{\pi_v}.$$

8.3.2. Lemme. — *Si pour un point supersingulier z , $[\text{Ind } z^* E_{\mathbb{F}_l,1,1}^{0,2-s+t}]$ n'était pas nulle alors*

$J_{N_{(t+2)g, (s-t-2)g}}^{GL_{sg}}(\text{Ind } z^ E_{\mathbb{F}_l, \Psi_{\pi_v, \infty}}^{2-s+t})$ admettrait comme constituant*

$$I_0([\overleftarrow{t+1}]_{\pi_v}) \otimes [\overrightarrow{s-t-3}]_{r_l(\pi_v)}.$$

Démonstration. — D'après ce qui précède $[\text{Ind } z^* E_{\mathbb{F}_l, \Psi_{\pi_v, 1}}^{0,2-s+t}]$ contient tous les sous-quotients irréductibles de la réduction modulo l de $[\overleftarrow{0}]_{\pi_v} \overrightarrow{\times} [\overrightarrow{s-t-4}, \overleftarrow{t+2}]_{\pi_v}$. Par ailleurs pour tout $0 \leq i \leq t+1$, $[\text{Ind } z^* E_{\mathbb{F}_l, \Psi_{\pi_v, 1}}^{k_{t+2}(i), 2-s+t-k_{t+2}(i)}]$ contient la réduction modulo l de $\pi_v[s]_D \otimes [\overleftarrow{t+1}]_{\pi_v} \overrightarrow{\times} [\overrightarrow{s-t-3}]_{\pi_v} \otimes \mathcal{L}(\pi_v)$ de sorte que, quitte à dualiser la filtration de stratification, $\sum_{p \geq 0} [\text{Ind } z^* E_{\mathbb{F}_l, \Psi_{\pi_v, 1}}^{p, 2-s+t-p}]$ contient $m_{\pi_v}[\frac{t+2}{2}] \pi_1 + \pi_2$ où

$$\pi_1 = I_0([\overleftarrow{t+2}, \overrightarrow{s-t-3}]_{\pi_v}) \text{ et } \pi_2 = I_0([\overrightarrow{s-t-3}, \overleftarrow{t+2}]_{\pi_v}).$$

Le résultat découle alors des faits suivants :

- pour $i = 1$ et 2 , $J_{N_{(t+2)g, (s-t-2)g}}(\pi_i)$ (resp. $J_{N_{(s-t-3)g, (t+3)g}}(\pi_i)$) contient $I_0([\overleftarrow{t+1}]_{\pi_v}) \otimes [\overrightarrow{s-t-3}]_{r_l(\pi_v)}$ (resp. $[\overrightarrow{s-t-4}]_{r_l(\pi_v)} \otimes I_0([\overleftarrow{t+2}]_{\pi_v})$); en effet le résultat est vrai si on remplace π_i par la réduction modulo l de $[\overleftarrow{t+2}, \overrightarrow{s-t-3}]_{\pi_v}$ ou $[\overrightarrow{s-t-3}, \overleftarrow{t+2}]_{\pi_v}$. La conclusion découle alors de (1.8.1), (1.8.6) et du fait, d'après la réciprocity de Frobenius, que seule une superunipotente peut avoir une telle image par le foncteur de Jacquet ;

- pour $p+q = 1-s+t$, π_1 et π_2 ne sont pas des constituants de $\text{Ind } z^* E_{\mathbb{F}_l, \Psi_{\pi_v}, 1}^{p,q}$. En effet d'après $HR_t(E_{\Psi_{\pi_v}, 1})$, les constituants de $\text{Ind } z^* E_{\mathbb{F}_l, \Psi_{\pi_v}, 1}^{p, 1-s+t-p}$ sont à prendre parmi ceux de la réduction modulo l de $[\overleftarrow{t}]_{\pi_v} \times [\overrightarrow{s-t-2}]_{\pi_v}$. Le résultat découle alors du fait que d'après (1.8.6), l'image de $[\overleftarrow{t}, s-t-1]_{\pi_v}$ et $[\overleftarrow{t+1}, s-t-2]_{\pi_v}$ par le foncteur de Jacquet $J_{N_{(s-t-3)g, (t+3)g}}$ ne contient pas dans sa réduction modulo l , $[\overrightarrow{s-t-4}]_{r_l(\pi_v)} \otimes I_0([\overleftarrow{t+2}]_{\pi_v})$;
- d'après $HR_t(E_{\dagger, k, 1})$ pour $k \geq 3$ et $HR'_{t+1}(E_{\dagger, 2, 1})$, dans le groupe de Grothendieck correspondant $\sum_{p>0} \text{Ind } z^* E_{\mathbb{F}_l, \Psi_{\pi_v}, 1}^{p, 3-s+t-p}$ est égale, quitte à dualiser la filtration de stratification, à la réduction modulo l de $\pi_v[s]_D \otimes \pi' \otimes \mathcal{L}(\pi_v)$ où $\pi' = [\frac{t+3}{2}](\pi'_1 + \pi'_2) + \epsilon\pi'_3$ avec

$$\pi'_1 = [\overleftarrow{t+2}, s-t-3]_{\pi_v} \quad \pi'_2 = [\overleftarrow{t+3}, s-t-4]_{\pi_v} \quad \pi'_3 = [\overleftarrow{1}]_{\pi_v} \times [\overrightarrow{s-t-5}, \overleftarrow{t+2}]_{\pi_v}$$

avec $\epsilon = 0$ ou 1 ;

- la réduction modulo l de $J_{N_{(t+2)g, (s-t-2)g}}(\pi'_2)$ ne contient pas $I_0([\overleftarrow{t+1}]_{\pi_v}) \otimes [\overrightarrow{s-t-4}]_{r_l(\pi_v)}$: en effet on écrit $J_{N_{(t+2)g, (s-t-2)g}}(\pi'_2)$ sous la forme $\sum_j \psi_j \otimes \phi_j$, pour que la réduction modulo l de ψ_j contienne $I_0([\overleftarrow{t+1}]_{\pi_v})$ il faut, d'après (1.8.6), que ψ_j soit égale à $[\overleftarrow{t+1}]_{\pi_v, \{-\frac{s-t+2}{2}\}}$ de sorte que $\phi_j = [\overleftarrow{1}]_{\pi_v, \{-\frac{s-2}{2}\}} \times [\overrightarrow{s-t-6}]_{\pi_v, \{\frac{t+5}{2}\}}$ dont la réduction modulo l ne contient pas $[\overrightarrow{s-t-4}]_{r_l(\pi_v)}$ d'après (1.8.4) ;
- la réduction modulo l de $J_{N_{(t+2)g, (s-t-2)g}}(\pi'_3)$ ne contient pas $I_0([\overleftarrow{t+1}]_{\pi_v}) \otimes [\overrightarrow{s-t-4}]_{r_l(\pi_v)}$: en effet on écrit $J_{N_{(t+2)g, (s-t-2)g}}(\pi'_3)$ sous la forme $\sum_j \psi_j \otimes \phi_j$, de sorte que ϕ_j est égale à l'une des formes suivantes :

$$[\overleftarrow{1}]_{\pi_v, \{-\frac{s-2}{2}\}} \times [\overrightarrow{s-t-6}]_{\pi_v, \{\frac{1-t}{2}\}} \quad [\overleftarrow{\epsilon}]_{\pi_v, \{-\frac{s-1-\epsilon}{2}\}} \times [\overrightarrow{s-t-5-a}, \overleftarrow{a-\epsilon}]_{\pi_v, \{\frac{2a-\epsilon-t}{2}\}}$$

avec $a - \epsilon > 0$ et $\epsilon = 0$ ou 1 . Le résultat découle alors de (1.8.4) et (1.8.5).

Détaillons la fin de l'argument : si $t+1$ est pair égal à $2t'$, alors quitte à dualiser la filtration de stratification de $R\Psi_{\eta_v}(\overline{\mathbb{F}}_l)$, alors $\sum_{p \geq 0} [\text{Ind } z^* E_{\mathbb{F}_l, \Psi_{\pi_v}, 1}^{p, 2-s+t-p}]$ contient $m_{\pi_v}(t'+1)\pi_1 + \pi_2$ alors que $\sum_{p > 0} [\text{Ind } z^* E_{\mathbb{F}_l, \Psi_{\pi_v}, 1}^{p, 3-s+t-p}]$ ne contient que $m_{\pi_v}((t'+1)\pi'_1 + \pi'_2 + \epsilon\pi'_3)$ de sorte qu'il reste forcément soit un des π_1 soit π_2 dans l'aboutissement, d'où le résultat. Si $t+1 = 2t'+1$, alors $\sum_{p \geq 0} [\text{Ind } z^* E_{\mathbb{F}_l, \Psi_{\pi_v}, 1}^{p, 2-s+t-p}]$ contient toujours $m_{\pi_v}(t'+1)\pi_1 + \pi_2$ alors que $\sum_{p > 0} [\text{Ind } z^* E_{\mathbb{F}_l, \Psi_{\pi_v}, 1}^{p, 3-s+t-p}]$, quitte à dualiser la filtration de stratification de $[\text{Ind } z^* R\Psi_{\eta_v}(\overline{\mathbb{F}}_l)]$, contient $m_{\pi_v}((a+1)\pi'_1 + \pi'_2 + \epsilon\pi'_3)$, et la conclusion est la même. \square

Remarque : on invoque plusieurs fois la possibilité de dualiser la filtration de stratification : comme le lecteur l'aura remarqué il s'agit quand $t+2$ (resp. $t+3$) est impair de placer $[\frac{t+2}{2}]$ (resp. $[\frac{t+3}{2}]$) des $t+2$ (resp. $t+3$) gradués avec un indice positif. Comme évidemment $t+2$ et $t+3$ n'ont pas la même parité, on peut donc dualiser la filtration pour obtenir ces deux conditions.

8.3.3. Lemme. — Si pour un point supersingulier z , $[\text{Ind } z^* E_{\mathbb{F}_l, 1, 1}^{0, 2-s+t}]$ n'était pas nulle alors $J_{N_{(t+2)g, (s-t-2)g}}^{GLsg}(\text{Ind } z^* E_{\Psi_{\pi_v}, \infty}^{-t-1})$ aurait un constituant de la forme

$$[\overleftarrow{t+1}]_{r_l(\pi_v)} \otimes I_0([\overleftarrow{s-t-3}]_{r_l(\pi_v)})$$

Démonstration. — Le résultat découle du lemme précédent et de (6.1.3) en notant que la représentation en question est bien π_v -superunipotent. \square

8.3.4. Lemme. — Si pour un point supersingulier z , $[\text{Ind } z^* E_{\mathbb{F}_l, 1, 1}^{0, 2-s+t}]$ n'était pas nulle alors $J_{N_{(s-t-3)g, (t+3)g}}^{GLsg}(\text{Ind } z^* E_{\mathbb{F}_l, \Psi_{\pi_v}, \infty}^{-t-1})$ aurait un constituant de la forme

$$I_0([\overleftarrow{s-t-4}]_{r_l(\pi_v)} \otimes [\overrightarrow{t+2}]_{r_l(\pi_v)})$$

Démonstration. — Par réciprocity de Frobenius, le sous-quotient de la réduction modulo l d'une représentation π tel que son image par $J_{N_{(t+2)g, (s-t-2)g}}^{GL_{sg}}(\pi)$, contienne $I_0(\overleftarrow{[t+1]}_{\pi_v}) \otimes \overrightarrow{[s-t-3]}_{r_l(\pi_v)}$ est π_v -superunipotente de sorte que d'après la preuve du lemme (8.3.2), il s'agit soit de $I_0(\overleftarrow{[t+2, s-t-3]}_{\pi_v})$ soit de $I_0(\overleftarrow{[s-t-3, t+2]}_{\pi_v})$. On en déduit donc que l'image de $\text{Ind } z^* E_{\overline{\mathbb{F}}_l, \Psi_{\pi_v}, \infty}^{2-s+t}$ par $J_{N_{(s-t-3)g, (t+3)g}}^{GL_{sg}}$ contient $I_0(\overleftarrow{[s-t-4]}_{\pi_v}) \otimes \overrightarrow{[t+2]}_{r_l(\pi_v)}$; on conclut comme précédemment en utilisant (6.1.3). \square

Fin de la preuve de la proposition (8.3.1) : d'après $HR'_{t+1}(E_{l_k, 1})$, les constituants de $\text{Ind } z^* E_{\Psi_{\pi_v}, 1}^{p,q}$ avec $p+q = -t-1$ sont à prendre parmi les constituants de la réduction modulo l de

$$\overleftarrow{[k-1]}_{\pi_v} \overrightarrow{\times} \overleftarrow{[s-t-k-1, t]}_{\pi_v} \quad \forall 0 \leq k \leq s-t$$

On écrit, dans le groupe de Grothendieck correspondant, l'image de ce dernier par le foncteur de Jacquet $J_{N_{(s-t-3)g, (t+3)g}}^{GL_{sg}}$ sous la forme $\sum \pi_1 \otimes \pi_2$ de sorte que π_2 est de la forme

$$\overleftarrow{[r]}_{\pi_v \{ -\frac{s-r-1}{2} \}} \times \overleftarrow{[i-r+1, t-i]}_{\pi_v \{ \frac{s-t+r-2-2i}{2} \}}$$

avec soit $r \geq 1$ soit $i-r+1 \geq 1$. On conclut en remarquant que $\overrightarrow{[t+2]}_{r_l(\pi_v)}$ n'est pas un constituant de la réduction modulo l de $\overleftarrow{[1]}_{\pi_v} \overrightarrow{\times} \overleftarrow{[0]}_{\pi_v} \overrightarrow{\times} \dots \overrightarrow{\times} \overleftarrow{[0]}_{\pi_v}$ (cf. la fin de la preuve de l'étape 2). \square

8.4. Étape 4. — Désormais $\epsilon_l(\pi_v)$ est quelconque. On définit l'hypothèse $HR'_{t+1}(E_{\Psi_{\pi_v}, \infty})$: pour tout $0 \leq k \leq t+1$ et pour tout point supersingulier z , $[\text{Ind } z^* E_{\overline{\mathbb{F}}_l, \Psi_{\pi_v}, \infty}^{1-s+k}]$ (resp. $[\text{Ind } z^* E_{\overline{\mathbb{F}}_l, \Psi_{\pi_v}, \infty}^{-k}]$) est égal à la réduction modulo l de $\pi_v[s]_D \otimes \overleftarrow{[k, s-k-1]}_{\pi_v} \otimes \mathcal{L}(\pi_v)(-\frac{1-s+k}{2})$ (resp. $\pi_v[s]_D \otimes \overleftarrow{[s-k-1, k]}_{\pi_v} \otimes \mathcal{L}(\pi_v)(-\frac{s-1-k}{2})$).

8.4.1. Proposition. — Pour $t+1 < \frac{s-2}{2}$, $HR'_{t+1}(E_{\Psi_{\pi_v}, \infty})$ est vérifiée.

Démonstration. — On reprend comme ci-dessus la première partie de la preuve de l'implication $HR_{t+1}(E_{\overline{\mathbb{F}}_l, 1}) \Rightarrow HR_{t+1}(E_{\overline{\mathbb{F}}_l, \Psi_{\pi_v}, \infty})$. Il faut alors prouver, avec les nuances mentionnées à la remarque 6.3.3, que le scalaire associé à $d_{\mathbb{Z}_l, \Psi_{\pi_v}, 1}^{t+1, 1-s}$ est de valuation nulle. Si ce n'était pas le cas, $\text{Ind } z^* E_{\overline{\mathbb{F}}_l, \Psi_{\pi_v}, \infty}^{2-s+t}$ admettrait comme constituant tous les sous-quotients irréductibles de la réduction modulo l de $\overleftarrow{[t+2, s-t-3]}_{\pi_v} \otimes \mathcal{L}(\pi_v)(-\frac{1-s}{2})$. On en déduit alors le lemme suivant.

8.4.2. Lemme. — Si la proposition précédente n'était pas vérifiée alors $\text{Ind } z^* E_{\overline{\mathbb{F}}_l, \Psi_{\pi_v}, \infty}^{t-s+2}$ aurait $I_0(\overleftarrow{[t+2, s-t-3]}_{\pi_v})$ comme constituant.

Par application de (6.1.3), on obtient alors le lemme suivant.

8.4.3. Lemme. — Si la proposition précédente n'était pas vérifiée alors $\text{Ind } z^* E_{\Psi_{\pi_v}, \infty}^{-t-1}$ aurait $I_0(\overleftarrow{[s-t-3, t+2]}_{\pi_v})$ comme constituant.

Or d'après $HR_t(E_{l_k, 1})$, les constituants de $\text{Ind } z^* E_{\Psi_{\pi_v}, 1}^{p,q}$ avec $p+q = -t-1$ sont à prendre parmi les constituants de la réduction modulo l de

$$\overleftarrow{[k-1]}_{\pi_v} \overrightarrow{\times} \overleftarrow{[s-t-k-1, t]}_{\pi_v} \quad \forall 0 \leq k \leq s-t-1$$

le résultat découle alors de la proposition suivante car par hypothèse $t+1 < \frac{s-1}{2}$. \square

8.4.4. Proposition. — Pour $t \geq 0$, $I_0(\overleftarrow{[s-t-3, t+2]}_{\pi_v})$ n'est pas un constituant de la réduction modulo l de

$$\overleftarrow{[k-1]}_{\pi_v \{ \delta_1 \}} \overrightarrow{\times} \overleftarrow{[s-t'-k-1, t']}_{\pi_v \{ \delta_2 \}}$$

pour tout δ_1, δ_2 avec $0 \leq t' \leq t$ et $s-t-3 > t'+1$.

Démonstration. — Le résultat devrait s'inscrire dans un cadre plus général comme suggéré dans la remarque précédant (1.8.8), l'auteur s'excuse par avance du caractère particulier des arguments suivants.

8.4.5. Lemme. — *Le résultat de la proposition (8.4.4) est vérifiée si $m_l(\pi_v) \neq 2$.*

Démonstration. — On rappelle que l'image de $I_0(\overleftarrow{[s-t-3, t+2]}_{\pi_v})$ par le foncteur de Jacquet $J_{N_{(t+3)g, (s-t-3)g}}$ contient $\overrightarrow{[t+2]}_{r_l(\pi_v\{\frac{s-t-3}{2}\})} \otimes I_0(\overleftarrow{[s-t-4]}_{\pi_v\{-\frac{t+3}{2}\}})$. Or l'image de $\overleftarrow{[k-1]}_{\pi_v\{\delta_1\}} \times \overrightarrow{[s-t'-k-1, t']}_{\pi_v\{\delta_2\}}$ par $J_{N_{(t+3)g, (s-t-3)g}}$ est une somme de termes de la forme

$$\overleftarrow{[\alpha-1]}_{\pi_v\{\delta_1+\frac{k-\alpha-s+1}{2}\}} \times \overrightarrow{[\beta, \gamma]}_{\pi_v\{\delta_2+\frac{s-1-\beta+\gamma-2t'}{2}\}} \otimes \dots$$

avec $-1 \leq \alpha \leq k$, $0 \leq \gamma \leq t'$ et $0 \leq \beta \leq s-t'-k-1$. Ainsi d'après (1.8.9), $\overrightarrow{[t+2]}_{r_l(\pi_v\{\frac{s-t-3}{2}\})}$ doit être un constituant de la réduction modulo l de $\overleftarrow{[\alpha-1]}_{\pi_v\{\delta_1+\frac{k-\alpha-s+1}{2}\}} \times \overrightarrow{[\beta]}_{\pi_v\{\delta_2+\frac{s-1-\beta-2t'}{2}\}}$ pour $-1 \leq \alpha \leq k$ et $\beta = t+2-\alpha$, ce qui d'après le lemme (1.8.7) impose $m_l(\pi_v) = 2$. \square

On suppose donc désormais $m_l(\pi_v) = 2$ avec $l \neq 2$ ce qui impose $e_l(\pi_v) = 2$, et on raisonne par récurrence sur t' de 0 à t . L'initialisation de la récurrence, i.e. le cas $t' = 0$ sera traité plus tard, supposons donc le résultat acquis jusqu'au rang $t' - 1$ et traitons le cas de t' . Par application du foncteur de Jacquet $J_{N_{g, (s-1)g}}$, on obtient que $I_0(\overleftarrow{[s-t-4, t+2]}_{\pi_v\{1/2\}})$ est un constituant de la réduction modulo l de

$$\begin{aligned} \overleftarrow{[k-2]}_{\pi_v\{\delta_1+\frac{1+k-s}{2}\}} \times \overrightarrow{[s-t'-k-1, t']}_{\pi_v\{\delta_2+k/2\}} + \overleftarrow{[k-1]}_{\pi_v\{\delta_1+\frac{k-s}{2}\}} \times \overrightarrow{[s-t'-k-2, t']}_{\pi_v\{\delta_2+\frac{k-1}{2}\}} \\ + \overleftarrow{[k-1]}_{\pi_v\{\delta_1+\frac{k-s}{2}\}} \times \overrightarrow{[s-t'-k-1, t'-1]}_{\pi_v\{\delta_2+\frac{k-1}{2}\}} \end{aligned}$$

D'après l'hypothèse de récurrence, car $s-t-4 > t'-1$, $I_0(\overleftarrow{[s-t-4, t+2]}_{\pi_v\{1/2\}})$ n'est pas un constituant de la réduction modulo l de $\overleftarrow{[k-1]}_{\pi_v\{\delta_1+\frac{k-s}{2}\}} \times \overrightarrow{[s-t'-k-1, t'-1]}_{\pi_v\{\delta_2+\frac{k-1}{2}\}}$, de sorte qu'en itérant ce processus on arriverait à ce que $\overrightarrow{[t+2]}_{r_l(\pi_v\{\frac{s-t-3}{2}\})}$ soit un constituant de la réduction modulo l d'une induite de la forme

$$\overleftarrow{[\alpha-1]}_{\pi_v\{\delta\}} \times \overrightarrow{[\beta, t']}_{\pi_v\{\delta'\}}$$

ce qui n'est pas d'après le lemme (1.8.9).

Traitons désormais le cas $t' = 0$, i.e. pour $e_l(\pi_v) = 2$, montrons que $I_0(\overleftarrow{[\alpha, t+2]}_{\pi_v})$ n'est pas un constituant de la réduction modulo l de $\overleftarrow{[k-1]}_{\pi_v\{\delta\}} \times \overrightarrow{[k'-1]}_{\pi_v\{\delta'\}}$ pour $k+k'-1 = t+2+\alpha$. avec $\alpha \geq 2$. En raisonnant par récurrence sur α et par application successive du foncteur de Jacquet $J_{N_{\dots, g}}$, on est ramené à traiter le cas de $\alpha = 2$, car on a supposé $s-t-3 > t'+1$. Puis à nouveau par application du foncteur de Jacquet $J_{N_{\dots, g}}$, on est ramené au cas $t+2 = 2$. Finalement il reste à prouver que $I_0(\overleftarrow{[2, 2]}_{\pi_v})$ n'est pas un sous-quotient de la réduction modulo l de

$$\overleftarrow{[4]}_{\pi_v}, \quad \overleftarrow{[3]}_{\pi_v\{1/2\}} \times \overleftarrow{[0]}_{\pi_v}, \quad \overleftarrow{[2]}_{\pi_v} \times \overleftarrow{[1]}_{\pi_v\{-1/2\}}, \quad \overleftarrow{[2]}_{\pi_v} \times \overleftarrow{[1]}_{\pi_v\{1/2\}}, \quad \overleftarrow{[0]}_{\pi_v} \times \overleftarrow{[3]}_{\pi_v\{-1/2\}}$$

Il s'agit alors d'éliminer chacun de ces cas.

- D'après (1.8.8), $I_0(\overleftarrow{[2, 2]}_{\pi_v})$ n'est pas un sous-quotient de $r_l(\overleftarrow{[4]}_{\pi_v})$, ce qui élimine la première possibilité.

- Pour la deuxième, reste à regarder $\overleftarrow{[1, 3]}_{\pi_v}$; la contradiction découle du fait que l'image de $I_0(\overleftarrow{[2, 2]}_{\pi_v})$ par le foncteur de Jacquet $J_{N_{4g, g}}$ est $\sum_i \dots \otimes \overleftarrow{[0]}_{r_l(\pi_v)}$, alors que pour $\overleftarrow{[1, 3]}_{\pi_v}$, on trouve $\sum_i \dots \otimes \overleftarrow{[0]}_{\pi_v\{1\}}$.

- Pour la troisième, il reste à regarder $\overleftarrow{[2, 1, 1]}_{\pi_v}$. On regarde les images par $J_{N_{3g, g}}$: pour $I_0(\overleftarrow{[2, 2]}_{\pi_v})$, $\overleftarrow{[1, 1]}_{r_l(\pi_v)} \otimes \overleftarrow{[0]}_{r_l(\pi_v)} \otimes \overleftarrow{[0]}_{r_l(\pi_v)}$ en est un constituant alors qu'il n'est pas un constituant de la réduction modulo l de $\overleftarrow{[2, 1, 1]}_{\pi_v}$.

- Pour la cinquième, il reste à regarder $[\overleftarrow{3}, \overrightarrow{1}]_{\pi_v}$. La contradiction découle cette fois de l'étude des images par $J_{N_{g,4g}}$, ce qui donne $[\overrightarrow{0}]_{r_l(\pi_v)} \otimes \cdots$ pour $I_0([\overleftarrow{2}, \overrightarrow{2}]_{\pi_v})$ et $[\overrightarrow{0}]_{r_l(\pi_v\{1\})} \otimes \cdots$ pour $[\overleftarrow{3}, \overrightarrow{1}]_{\pi_v}$.

- Enfin pour la quatrième, reste à regarder $[\overleftarrow{1}, \overrightarrow{1}, \overleftarrow{2}]_{\pi_v}$. On étudie les images par $J_{N_{3g,2g}}$; pour $I_0([\overleftarrow{2}, \overrightarrow{2}]_{\pi_v})$, on remarque que $[\overrightarrow{2}]_{r_l(\pi_v)} \otimes \cdots + I_0([\overleftarrow{2}]_{\pi_v}) \otimes \cdots$ en est un sous-quotient alors que pour $[\overleftarrow{1}, \overrightarrow{1}, \overleftarrow{2}]_{\pi_v}$, pour le même support cuspidal sur le premier facteur, on ne trouve comme π_v -superunipotente que $I_0([\overleftarrow{2}]_{\pi_v})$ et $I_0([\overleftarrow{1}, \overrightarrow{1}]_{\pi_v})$; la contradiction découle alors de (1.8.8). \square

8.5. Étape 5. — Il s'agit de prouver la proposition suivante avec $\epsilon_l(\pi_v)$ quelconque.

8.5.1. Proposition. — Pour $t+1 \leq \frac{s-1}{2}$ et pour tout $1 \leq k \leq s$, $E_{l,k,1}^{0,-t-1}$ est nul.

Démonstration. — Si $t+1 = \frac{s-1}{2}$, il ne reste plus qu'à traiter le cas de $k=1$; or le résultat a déjà été prouvé car $E_{l,1,1}^{0,-t-1} = E_{l,1,1}^{0,1-s+t+1}$.

- De même si $t+1 = \frac{s-2}{2}$, il ne reste plus qu'à regarder $k=1$. Ainsi le seul terme supplémentaire dans les $E_{l,1,1}^{0,r}$ est pour $r = -t-1$; celui-ci est nul car la somme alternée des termes « supplémentaires » est nulle.

- On suppose donc $t+1 < \frac{s-1}{2}$, ce qui nous permet d'utiliser la proposition (8.4.1). On raisonne alors par récurrence sur k de 1 à s . L'initialisation de la récurrence procède comme la preuve du cas général; on suppose donc le résultat acquis jusqu'au rang $k-1$ et traitons le cas de k .

8.5.2. Lemme. — Soit $a \leq s$ tel que pour tout $a \leq b \leq s$ (resp. $a < b \leq s$), $E_{\mathbb{F}_l,1_b}^{0,i}$ est nul pour tout $-t \leq i \leq 0$ (resp. $-t-1 \leq i \leq 0$). Alors si $[\text{Ind } z^* E_{\mathbb{F}_l,1_a,1}^{0,-t-1}]$ est non nul, ses constituants irréductibles sont à prendre parmi ceux (resp. il contient tous les constituants irréductibles) de la réduction modulo l de

$$\Pi_a \overrightarrow{\times} [\overleftarrow{s-a-t-1}, \overrightarrow{t}]_{\pi_v}$$

Démonstration. — Cela découle simplement du fait que l'aboutissement de la suite spectrale $E_{\mathbb{F}_l,1_a,1}^{p,q}$ est nul et du fait que les $d_{\mathbb{Z}_l,1_a,1}^{j,a-s}$ sont donnés par des scalaires. \square

D'après $HR'_{t+1}(E_{\mathbb{F}_l,\Psi_{\pi_v},\infty})$ on en déduit comme d'habitude que le scalaire associé à $d_{\mathbb{Z}_l,\Psi_{\pi_v},1}^{t-s+2,s-2t-3}$ est de valuation nulle, de sorte qu'il ne reste plus rien dans les $E_{\mathbb{F}_l,\Psi_{\pi_v},1}^{p,q}$ pour $p+q \geq -t$. Soit alors a maximal tel que $E_{\mathbb{F}_l,1_a,1}^{0,-t-1}$ soit non nul. D'après le cas respé du lemme précédent, on en déduit alors qu'il contient un constituant de niveau de Whittaker $s-t-1$; il en est alors de même pour $E_{\mathbb{F}_l,\Psi_{\pi_v},1}^{t-s+2+(s-t-1-a),s-2t-3-(s-t-1-a)}$. D'après le lemme précédent, les constituants de $E_{\mathbb{F}_l,\Psi_{\pi_v},1}^{p,q}$ pour $p+q = -t-2$ et $p < t-s+2+(s-t-1-a)$ sont tous de niveau de Whittaker strictement inférieur à $s-t-1$, d'où la contradiction avec $HR'_{t+1}(E_{\mathbb{F}_l,\Psi_{\pi_v},\infty})$. \square

9. Trivialité de la torsion des groupes de cohomologie

9.1. des extensions intermédiaires et par zéro des $\mathcal{F}_{\mathbb{Z}_l}(t, \pi_v)$. — Il s'agit donc de montrer que les groupes de cohomologies des extensions intermédiaires et par zéro des systèmes locaux d'Harris-Taylor sont sans torsion. Le raisonnement est parallèle à celui des faisceaux de cohomologie en étudiant les suites spectrales suivantes :

$$E_{h_t, \mathbb{Z}_l, 2}^{p,q} = H^p(h^q j_{!*}^{\geq tg} HT_{\mathbb{Z}_l}(\pi_v, \Pi_t)) \Rightarrow H^{p+q}(j_{!*}^{\geq tg} HT_{\mathbb{Z}_l}(\pi_v, \Pi_t))$$

$$E_{l_t, \mathbb{Z}_l, 1}^{p,q} = H^{p+q}(gr_{-p} j_!^{\geq tg} HT_{\mathbb{Z}_l}(\pi_v, \Pi_t)) \Rightarrow H^{p+q}(j_!^{\geq tg} HT_{\mathbb{Z}_l}(\pi_v, \Pi_t))$$

On renvoie le lecteur aux figures (6), (7) et (8) pour des illustrations de ces suites spectrales dans les cas où l'on considère les parties $\Pi^{\infty, v}$ -isotypiques avec Π_v qui est de la forme $\text{St}_s(\pi_v)$ ou

$\text{Speh}_s(\pi_v)$ pour un diviseur s de $d = sg$ et π_v une représentation irréductible cuspidale entière de $GL_g(F_v)$.

9.1.1. Théorème. — *Pour tout $1 \leq tg \leq d$ et pour toute représentation irréductible cuspidale entière π_v de $GL_g(F_v)$, les groupes de cohomologies des extensions intermédiaires et par zéro de $HT_{\mathbb{Z}_l}(\pi_v, \Pi_t)$ sont sans torsion*

Démonstration. — Pour π_v fixé, on raisonne par récurrence sur t de $s := \lfloor \frac{d}{g} \rfloor$ à 1. Pour $t = s$, on a $j_!^{\geq sg} HT_{\mathbb{Z}_l}(\pi_v, \Pi_t) = j_{!*}^{\geq sg} HT_{\mathbb{Z}_l}(\pi_v, \Pi_t)$ et comme la strate $\overline{X}_{\mathcal{I}}^{(d-sg)}$ est affine, on en déduit que les $H^i(j_!^{\geq sg} HT_{\mathbb{Z}_l}(\pi_v, \Pi_t))$ sont nuls pour $i < 0$ et sans torsion pour $i = 0$. En appliquant la dualité de Verdier, on en déduit alors qu'il en est de même pour les $i \geq 0$.

Supposons alors le résultat acquis jusqu'au rang $t + 1$ et traitons le cas de t . En particulier, on en déduit que les $E_{l_t, \mathbb{Z}_l, 1}^{p,q}$ sont sans torsion pour $p \neq 0$. Par ailleurs pour $p + q < 0$ avec $p > 0$, on remarque que

- les $E_{l_t, \mathbb{Z}_l, 1}$ non nuls sont en tant que représentation de $GL_d(F_{v'})$ de la forme $\bigoplus \text{Speh}_{s_1}(\pi_{v', 1}) \times \cdots \times \text{Speh}_{s_r}(\pi_{v', r})$;
- les $E_{l_t, \mathbb{Z}_l, 2}^{p,q}$ sont de torsion : s'ils sont non nuls alors en tant que représentation de $GL_d(F_{v'})$ leurs réduction modulo l sont de la forme $\bigoplus r_l(\text{Speh}_{s_1}(\pi_{v', 1}) \times \cdots \times \text{Speh}_{s_r}(\pi_{v', r}))$.

Ainsi s'il existe $i < 0$ tel que la torsion de $H^i(j_!^{\geq tg} HT_{\mathbb{Z}_l}(\pi_v, \Pi_t))$ soit non nulle, alors en tant que représentation de $GL_d(F_{v'})$, les sous-quotients irréductibles de sa réduction modulo l sont à prendre parmi ceux de $r_l(\text{Speh}_{s_1}(\pi_{v', 1}) \times \cdots \times \text{Speh}_{s_r}(\pi_{v', r}))$ pour divers $\pi_{v', i}$.

On étudie alors la suite spectrale

$$E_{h_t, \mathbb{Z}_l, 2}^{p,q} = H^p(h^q j_!^{\geq tg} HT_{\mathbb{Z}_l}(\pi_v, \Pi_t)) \Rightarrow H^{p+q}(j_!^{\geq tg} HT_{\mathbb{Z}_l}(\pi_v, \Pi_t))$$

D'après l'hypothèse de récurrence les $E_{h_t, \mathbb{Z}_l, 2}^{p,q}$ sont sans torsion pour $q \neq -d + tg$. Par ailleurs on a $E_{h_t, \mathbb{Z}_l, r}^{p,q} = E_{h_t, \mathbb{Z}_l, 2}^{p,q}$ pour tout $2 \leq r \leq g$ et les flèches $d_{\mathbb{Z}_l, g}^{p,q}$ pour $p + q < 0$ ne concernent que les Π -parties avec Π tempérée. Or d'après [1] proposition 3.4.1, si Π est une représentation automorphe cohomologique irréductible de $G(\mathbb{A})$, alors $\Pi_v \simeq \left(\text{St}_{s_0}(\pi_v) \right)^{\times r} \times \Psi_v$ où $\pi_v \{ \frac{1}{2} \mathbb{Z} \}$ n'appartient pas au support cuspidal de Ψ_v . D'après [1] §5, $H^i(j_!^{\geq tg} \mathcal{F}_{\mathbb{Z}_l}(t, \pi_v) \otimes \Pi_t)_{\Pi}$ est nul si $i \neq d - tg$ et pour $i = d - tg$ il est nul si $t > s_0$ et sinon pour $i = d - tg$ avec $1 \leq t \leq s_0$, on a un isomorphisme

$$H^{d-tg}(j_!^{\geq tg} \mathcal{F}_{\mathbb{Z}_l}(t, \pi_v) \otimes \Pi_t)_{\Pi} \simeq H^{d-s_0g} \left(j_!^{\geq s_0g} \mathcal{F}_{\mathbb{Z}_l}(s_0, \pi_v) \otimes \Pi_t \overrightarrow{\times} CL_{\mathbb{Z}_l}(\overleftarrow{[s_0 - t - 1]_{\pi_v}}) \right)_{\Pi} \left(-\frac{(s_0 - t)(g - 1)}{2} \right).$$

On en déduit en particulier que les réseaux associés aux $\overline{\mathbb{Q}_l}$ -sous-espaces vectoriels isomorphes dans la source et le but des $d_{\mathbb{Z}_l, g}^{p,q}$ pour $p + q < 0$ sont isomorphes de sorte que celles-ci sont définies par des scalaires de $\overline{\mathbb{Z}_l}$. Supposons qu'un de ces scalaires soit de valuation non nulle de sorte que $E_{h_t, \mathbb{F}_l, g+1}^{p,q}$ aurait un sous-quotient de la forme $r_l(\text{St}_{s_1}(r_l(\pi_{v', 1})) \times \cdots \times \text{St}_{s_r}(r_l(\pi_{v', r})))$. D'après le lemme suivant, on en déduit alors qu'il est un sous-quotient de $E_{h_t, \mathbb{F}_l, \infty}^{p,q}$. D'après ce qui précède il doit aussi être un sous-quotient de la réduction modulo l d'une représentation de la forme $\text{Speh}_{s_1}(\pi'_{v', 1}) \times \cdots \times \text{Speh}_{s_r}(\pi'_{v', r})$ ce qui ne se peut pas d'après le lemme suivant. Ainsi tous les scalaires associés aux $d_{\mathbb{Z}_l, g}^{p,q}$ non nuls, sont de valuation nulle de sorte les $H^i(j_!^{\geq tg} HT_{\mathbb{Z}_l}(\pi_v, \Pi_t))$ sont sans torsion pour tout $i \leq 0$ et donc pour tout i en utilisant la dualité de Verdier. \square

9.1.2. Lemme. — *La représentation $\text{St}_{s_1}(r_l(\pi_{v', 1})) \times \cdots \times \text{St}_{s_r}(r_l(\pi_{v', r}))$ n'est jamais un sous-quotient irréductible de $r_l(\text{Speh}_{s_1}(\pi'_{v', 1}) \times \cdots \times \text{Speh}_{s_r}(\pi'_{v', r}))$, pour tout $\pi_{v', i}$ et pour tout s'_i avec $\max_{1 \leq i \leq r'} \{s'_i\} > 1$.*

Démonstration. — Étant donné une $\overline{\mathbb{Q}}_l$ -représentation irréductible entière π , sa réduction modulo l est de même niveau de Whittaker et contient un unique sous-quotient irréductible de ce niveau maximal. Le résultat découle alors du fait que $\mathrm{Speh}_{s'_1}(\pi'_{v',1}) \times \cdots \times \mathrm{Speh}_{s'_r}(\pi'_{v',r})$ n'est pas de carré intégrable i.e. son niveau de Whittaker n'est pas maximal. \square

9.2. de la variété de Shimura. —

9.2.1. Théorème. — *Pour tout i , la torsion de $H^i(\Psi_{\mathcal{I},\overline{\mathbb{Z}}_l})$ est nulle.*

Démonstration. — On considère la suite spectrale de monodromie

$$E_{\overline{\mathbb{Z}}_l,1}^{p,q} = H^{p+q}(gr_{-p}\Psi_{\mathcal{I},\overline{\mathbb{Z}}_l}) \Rightarrow H^{p+q}(\Psi_{\mathcal{I},\overline{\mathbb{Z}}_l})$$

D'après le théorème précédent, les $E_{\overline{\mathbb{Z}}_l,1}^{p,q}$ sont sans torsion et les Π réseaux qu'ils définissent sont isomorphes si et seulement si les $\overline{\mathbb{Q}}_l$ -représentations correspondantes le sont. Soit alors $p+q$ minimal avec q minimal tel que les scalaires associés à $d_{1,\overline{\mathbb{Z}}_l}^{p,q}$ ne soit pas tous inversibles. On en déduit alors que la réduction modulo l de $H^{p+q}(\Psi_{\mathcal{I},\overline{\mathbb{Z}}_l})$ en tant que représentation de $GL_d(F_v)$ est une somme directe de la forme

$$r_l(\mathrm{Speh}_{s_1}(\pi_{v,1}) \times \cdots \times \mathrm{Speh}_{s_{i-1}}(\pi_{v,i-1}) \times [\overrightarrow{\beta}, \overleftarrow{s_i - 1 - \alpha - \beta}, \overrightarrow{\alpha}]_{\pi_{v,i}} \times \mathrm{Speh}_{s_{i+1}}(\pi_{v,i+1}) \times \cdots \times \mathrm{Speh}_{s_r}(\pi_{v,r})) \quad (9.2.2)$$

alors qu'en tant que représentation de $GL_d(F_{v'})$ il est une somme directe de représentations de la forme $r_l(\mathrm{Speh}_{s'_1}(\pi'_{v',1}) \times \cdots \times \mathrm{Speh}_{s'_r}(\pi'_{v',r}))$. Ainsi si on calcule $H^{p+q}(\Psi_{\mathcal{I},\overline{\mathbb{Z}}_l})$ via la suite spectrale en v' , on en déduit qu'en tant que représentation de $GL_d(F_v)$, sa réduction modulo l est une somme directe de la forme

$$r_l(\mathrm{Speh}_{s_1}(\pi_{v,1}) \times \cdots \times \mathrm{Speh}_{s_r}(\pi_{v,r})) \quad (9.2.3)$$

La contradiction découle alors du fait que le niveau de Whittaker de (9.2.2) est strictement supérieur à celui de (9.2.3) de sorte que le niveau maximal de torsion de $H^{p+q}(\Psi_{\mathcal{I},v})$ en tant que représentation de $GL_d(F_v)$ vu via (9.2.2) est strictement plus grande que vu via (9.2.3). \square

10. Figures

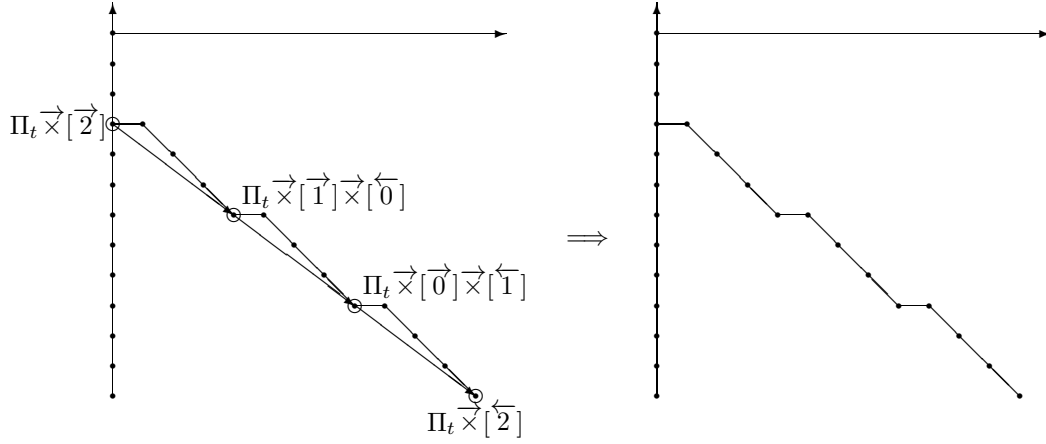


FIGURE 6. Termes $E_{h_t, \overline{\mathbb{Z}}_l, 2}^{p,q}[\Pi^{\infty, v}]$ et $E_{h_t, \overline{\mathbb{Z}}_l, \infty}^{p,q}[\Pi^{\infty, v}] = E_{h_t, \overline{\mathbb{Z}}_l, 5}^{p,q}[\Pi^{\infty, v}]$ pour $g = 4$ et $s - t = 3$ avec $\Pi_v \simeq \text{St}_s(\pi_v)$

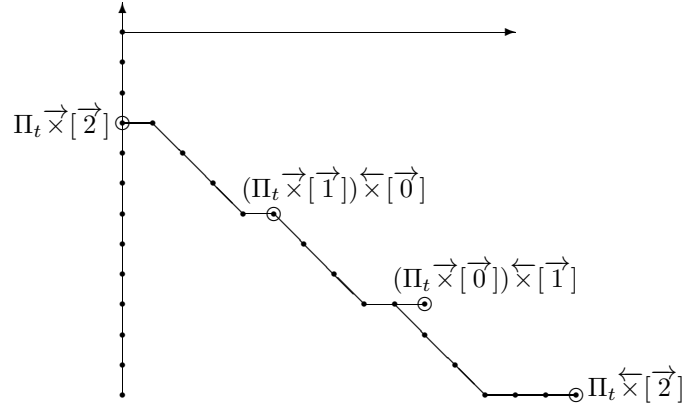


FIGURE 7. Termes $E_{h_t, \overline{\mathbb{Z}}_l, 2}^{p,q}[\Pi^{\infty, v}] = E_{h_t, \overline{\mathbb{Z}}_l, \infty}^{p,q}[\Pi^{\infty, v}]$ pour $g = 4$ et $s - t = 3$ avec $\Pi_v \simeq \text{Speh}_s(\pi_v)$

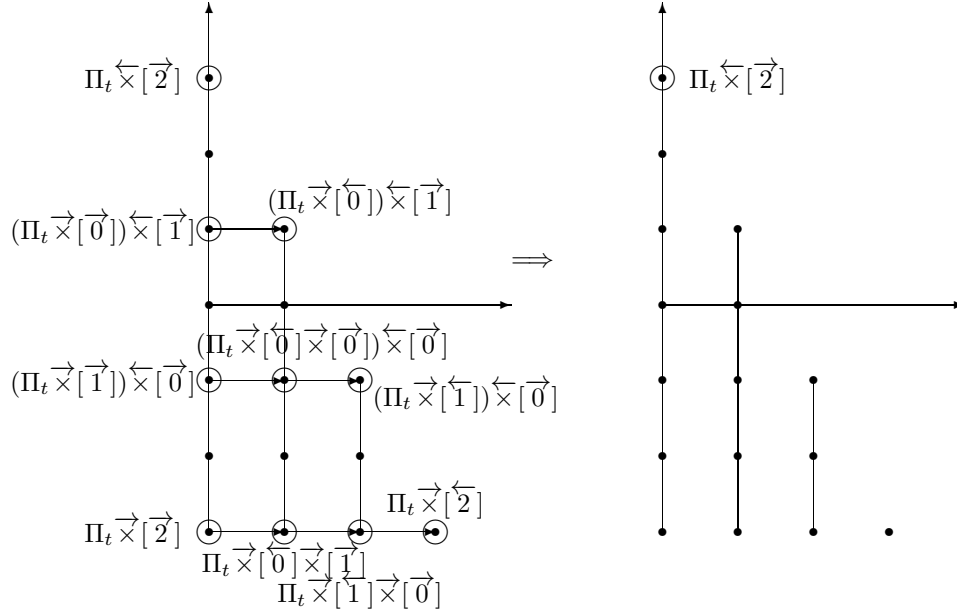


FIGURE 8. Termes $E_{t, \mathbb{Z}_t, 1}^{p, q}[\Pi^{\infty, v}]$ et $E_{t, \mathbb{Z}_t, \infty}^{p, q}[\Pi^{\infty, v}] = E_{t, \mathbb{Z}_t, 2}^{p, q}[\Pi^{\infty, v}]$ pour $s - t = 3$ avec $\Pi_v \simeq \text{Speh}_s(\pi_v)$

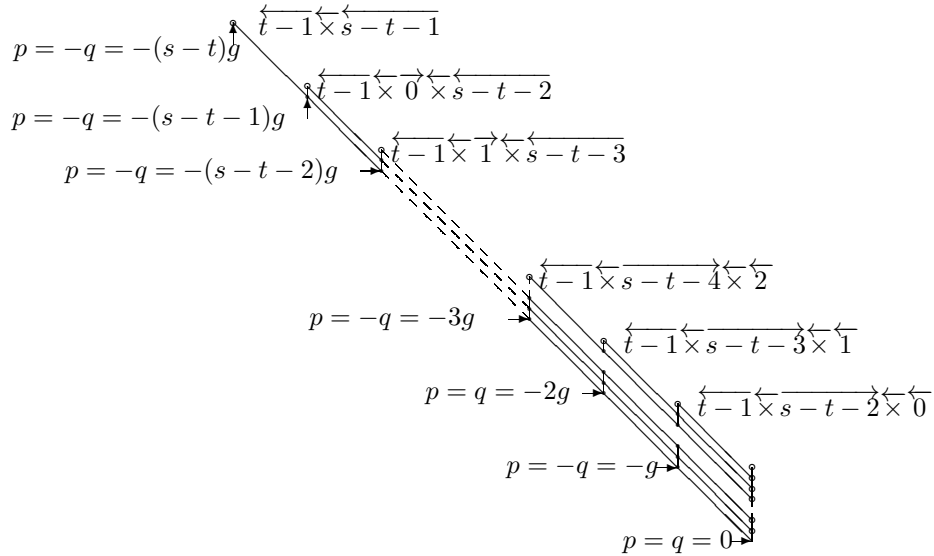


FIGURE 9. parties de poids $(s - t)(g + 1)$ de la fibre aux points supersinguliers des $E_2^{p, q}$ de la suite spectrale (5.4.1)

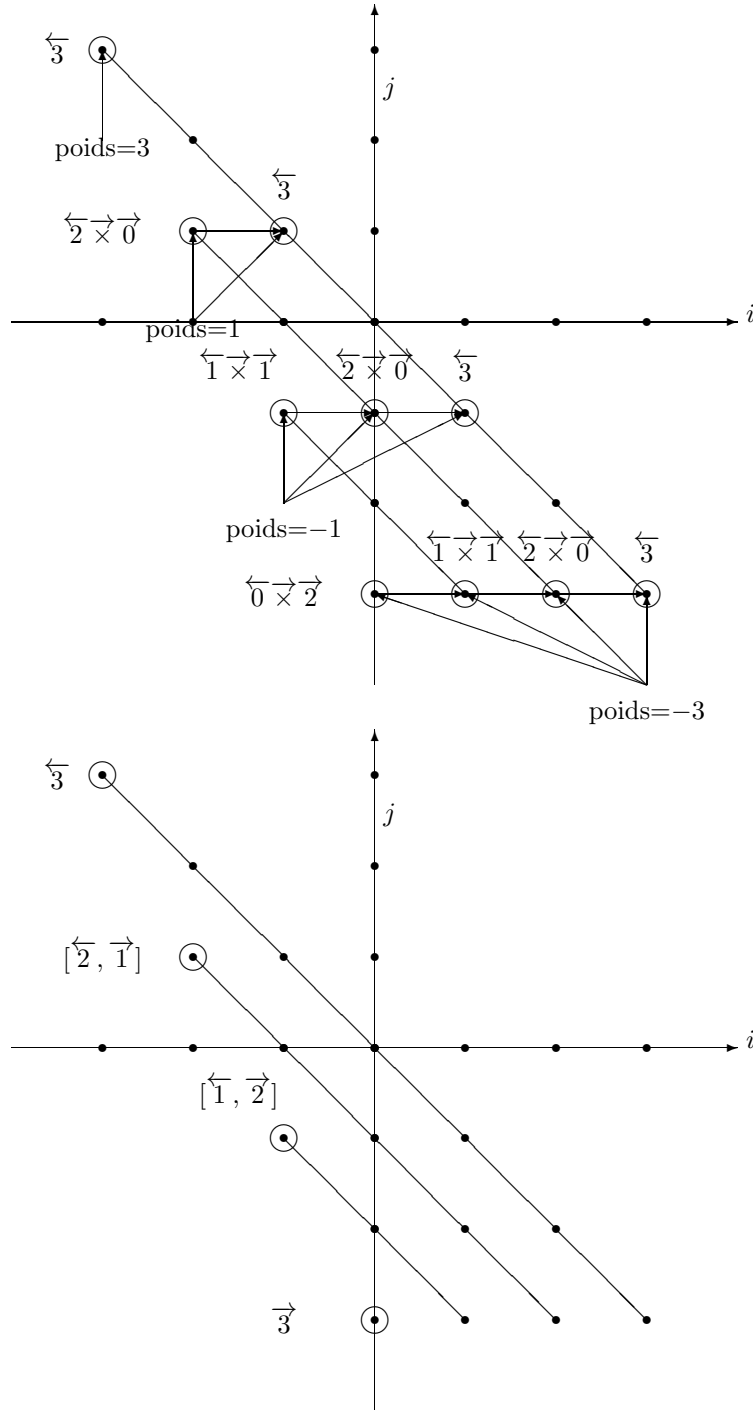


FIGURE 10. Termes $E_{\mathbb{Z}_l, 1}$ et $E_{\mathbb{Z}_l, \infty} = E_{\mathbb{Z}_l, 2}$ de la suite spectrale de monodromie-locale pour $s = 4$

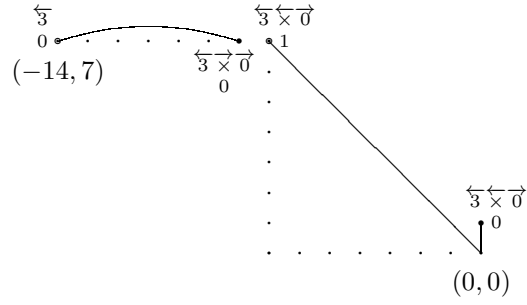


FIGURE 11. $g = 7, s = 5; E_2^{p,q}$ de la suite spectrale (5.4.1) pour $t = 4$

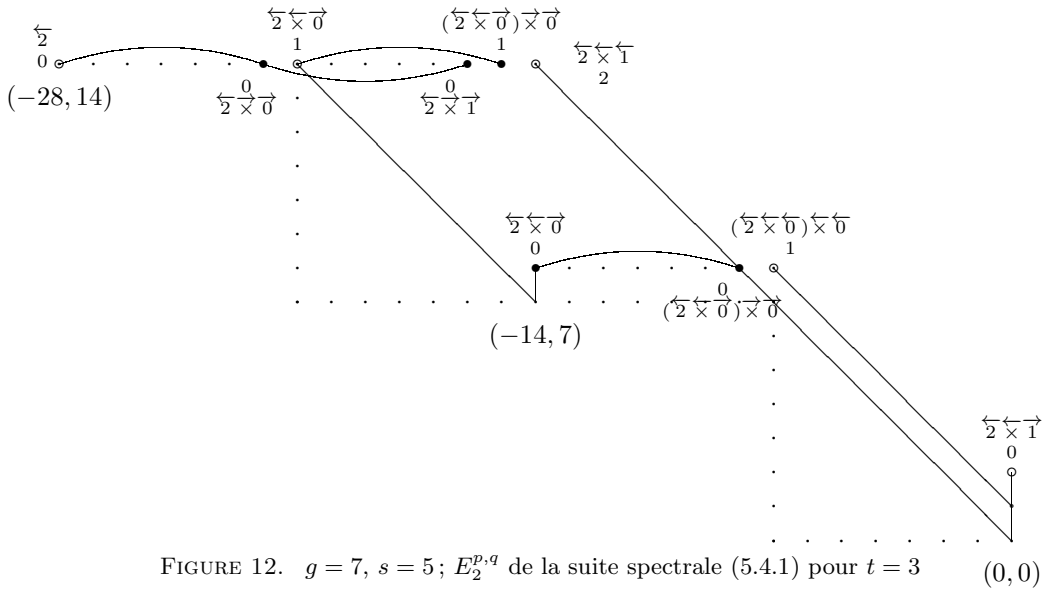


FIGURE 12. $g = 7, s = 5; E_2^{p,q}$ de la suite spectrale (5.4.1) pour $t = 3$

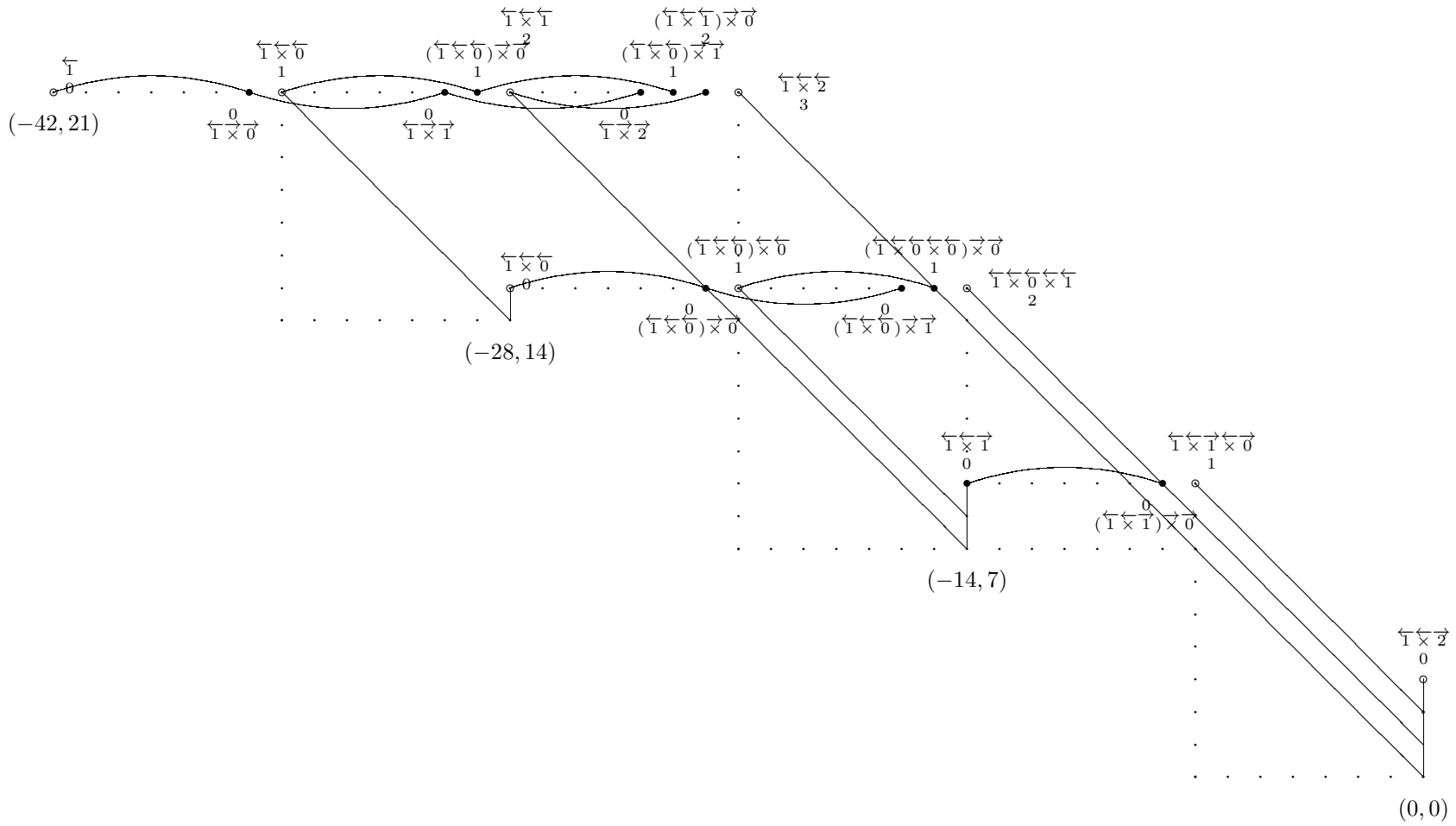


FIGURE 13. $g = 7, s = 5$; $E_2^{p,q}$ de la suite spectrale (5.4.1) pour $l = 2$

Références

- [1] P. Boyer. Cohomologie des systèmes locaux de Harris-Taylor et applications. *soumis 29 pages*, 2006.
- [2] P. Boyer. Monodromie du faisceau pervers des cycles évanescents de quelques variétés de Shimura simples et applications. *soumis 30 pages*, 2006.
- [3] J.-F. Dat. v -tempered representations of p -adic groups. I. l -adic case. *Duke Math. J.*, 126(3) :397–469, 2005.
- [4] L. Fargues. Dualité de Poincaré et involution de Zelevinsky dans la cohomologie étale équivariante des espaces analytiques rigides. *à paraître*, 2006.
- [5] W. Fulton and J. Harris. *Representation theory*, volume 129 of *Graduate Texts in Mathematics*. Springer-Verlag, New York, 1991. A first course, Readings in Mathematics.
- [6] M. Harris, R. Taylor. *The geometry and cohomology of some simple Shimura varieties*, volume 151 of *Annals of Mathematics Studies*. Princeton University Press, Princeton, NJ, 2001.
- [7] Tetsushi Ito. Hasse invariants for somme unitary shimura varieties. *Math. Forsch. Oberwolfach report 28/2005*, pages 1565–1568, 2005.
- [8] B. Leclerc, J.-Y. Thibon, and E. Vasserot. Zelevinsky’s involution at roots of unity. *J. Reine Angew. Math.*, 513 :33–51, 1999.
- [9] P. Schneider, U. Stuhler. Representation theory and sheaves on the Bruhat-Tits building. *Inst. Hautes Études Sci. Publ. Math.*, 85 :97–191, 1997.
- [10] M.-F. Vignéras. *Représentations l -modulaires d’un groupe réductif p -adique avec $l \neq p$* , volume 137 of *Progress in Mathematics*. Birkhäuser Boston Inc., Boston, MA, 1996.
- [11] M.-F. Vignéras. Cohomology of sheaves on the building and R -representations. *Invent. Math.*, 127(2) :349–373, 1997.
- [12] M.-F. Vignéras. Induced R -representations of p -adic reductive groups. *Selecta Math. (N.S.)*, 4(4) :549–623, 1998.
- [13] M.-F. Vignéras. Correspondance de Langlands semi-simple pour $GL(n, F)$ modulo $l \neq p$. *Invent. Math.*, 144(1) :177–223, 2001.
- [14] Marie-France Vignéras. À propos d’une conjecture de Langlands modulaire. In *Finite reductive groups (Luminy, 1994)*, volume 141 of *Progr. Math.*, pages 415–452. Birkhäuser Boston, Boston, MA, 1997.
- [15] A. V. Zelevinsky. Induced representations of reductive p -adic groups. II. On irreducible representations of $GL(n)$. *Ann. Sci. École Norm. Sup. (4)*, 13(2) :165–210, 1980.